

JAERI-M

5991

GGC-4 コードによる多群群定数作成と
その検討

1975年2月

筒井 恒夫・伊勢 武治

日本原子力研究所
Japan Atomic Energy Research Institute

この報告書は、日本原子力研究所が JAERI-M レポートとして、不定期に刊行している研究報告書です。入手、複製などのお問合せは、日本原子力研究所技術情報部（茨城県那珂郡東海村）あて、お申しこしください。

JAERI-M reports, issued irregularly, describe the results of research works carried out in JAERI. Inquiries about the availability of reports and their reproduction should be addressed to Division of Technical Information, Japan Atomic Energy Research Institute, Tokai-mura, Naka-gun, Ibaraki-ken, Japan.

G G C - 4 コードによる多群群定数作成とその検討

日本原子力研究所東海研究所原子炉工学部

筒井恒夫・伊勢武治

(1 9 7 5 年 1 月 2 8 日受理)

G G C - 4 コードの U N I V A C 版から F A C O M 版への変換が済んだので、その内容の検討と使用法についてまとめた。G G C - 4 は、GAで開発した熱中性子炉用の群定数作成コードである。 B_N 近似によって解かれた、高速中性子領域 (G A M コード) と熱中性子領域 (G A T H E R コード) を連結 (C O M B O コード) して、ひとつのプログラムパッケイジとし、原子炉設計計算の為の群定数をカード出力させる。この群定数は、標準的な輸送計算コードおよび拡散計算コードの入力形式と同じである。一般の原子炉計算に必要な核種を含む断面積ライブラリーが一緒に用意されている。代表的ないくつかの使用例も付けておいた。ここに紹介されている全てのプログラムは R · B D I S K (永久) に登録されている。

JAERI-M5991

Multigroup Cross Section Production by the GGC-4 Computer Code

Tsuneo TSUTSUI and Takeharu ISE

Division of Reactor Engineering, Tokai, JAERI

(Received January 28, 1975)

Usage of the GGC-4 multigroup cross section code is described, which has recently been converted from the UNIVAC version to the FACOM. The GGC-4 is a computer code for producing the multigroup cross sections for use in the nuclear design calculations of thermal reactors. This program package consists of the GAM code to deal with fast neutron transport in the B_N approximation, the GATHER code for thermal neutrons and the COMBO code for combining these two codes.

The multigroup cross sections are produced by the GGC-4 code in the same format as required for the inputs of standard transport and diffusion computer codes. In addition, the cross section library is ready for use of a sufficient number of nuclei for normal nuclear reactor calculations.

Some typical examples are given for easy access to the present GGC-4 code. All the programs explained in this report are registered in the permanent RB disks of JAERI for users.

目 次

1はじめに	1
2中性子スペクトラムの方程式	5
2.1 輸送方程式	5
2.2 P_N 近似	6
2.3 B_N 近似	6
2.4 B_N 近似と P_N 近似について	7
2.5 GAMにおけるスペクトラム方程式の解法	7
2.6 GATHERへの減速中性子源	9
2.7 GATHERにおけるスペクトラム方程式の解法	12
2.8 GAMとGATHERの連結	14
2.9 空間モーメント	15
2.10 時間モーメント	16
3縮約断面積の計算	19
3.1 輸送断面積の定義	19
3.2 GAMの縮約断面積	19
3.3 GATHERの縮約断面積	22
3.4 散乱マトリックスの連結	24
4共鳴断面積の計算	26
4.1 Doppler共鳴の計算	26
4.2 分離共鳴の計算	27
4.2.1 共鳴積分に対する主な寄与の計算	27
4.2.2 共鳴レベルの裾の補正	30
4.2.3 エネルギーグループ毎の共鳴断面積および実効共鳴積分	31
4.3 非分離共鳴の計算	32
4.3.1 非分離共鳴の共鳴積分	32
4.3.2 エネルギーグループ毎の共鳴断面積	34
5GGC-4コードの入力	36
5.1 GAMとGATHERにおけるエネルギー構造	36

5.2 GGC-4 コードの特徴と制限範囲	37
5.3 断面積ライブラリー	40
5.4 入力形式と使用例	40
5.5 出力カードと群定数セット作成上の注意	42
5.5.1 拡散コードに対する出力断面積形式	42
5.5.2 輸送コードに対する出力断面積形式	44
5.6 フローチャートの概要とエラーメッセイジ	45
6 補助プログラム	88
6.1 GAM用補助プログラム	88
6.1.1 入力に関する注意事項	88
6.1.2 マスターデータテープの作成; MAKE コード	92
6.1.3 ワーキングデータテープの作成; M S T コード	92
6.1.4 合金物質の作成; M I X E R コード	92
6.1.5 データテープの内容のプリント; F P R I N T コード	93
6.2 GATHER用補助プログラム	94
6.2.1 入力に関する注意事項	94
6.2.2 マスターデータテープの作成; W T F G コード	96
6.2.3 ワーキングデータテープの作成; M G T コード	100
6.2.4 合金物質の作成; C O M B I N コード	100
6.2.5 データテープの内容のプリント; S P R I N T コード	100
6.2.6 共鳴断面積の計算; D O P コード	100
7 あとがき	135
8 文 献	136
付録A Dancoff 系数の計算コード	139
付録B GGC コードの出力カードから GURNET および EXTERMINATOR-2 コード用の入力カードへ変換するプログラム	141

Contents

1.	Introduction	1
2.	Equations for Neutron Spectra	5
2.1	Transport Equation	5
2.2	P_N Approximation	6
2.3	B_N Approximation	6
2.4	Discussions about B_N and P_N Approximations	7
2.5	Algorithm for Slowing Down Equation in GAM Code	7
2.6	Slowing Down Sources to GATHER Code	9
2.7	Algorithm for Spectrum Equation in GATHER Code	12
2.8	Matching between GAM and GATHER Spectrum	14
2.9	Spatial Moment Calculations	15
2.10	Time Moment Calculations	16
3.	Condensations of Multigroup Cross Sections	19
3.1	Definitions of Transport Cross Sections	19
3.2	Collapsed Cross Sections in GAM Code	19
3.3	Collapsed Cross Sections in GATHER Code	22
3.4	Connection of Scattering Matrices	24
4.	Calculations of Resonance Cross Sections	26
4.1	Doppler Resonance Calculations	26
4.2	Resolved Resonance Calculations	27
4.2.1	Algorithm for Main Part of Resonance Integrals	27
4.2.2	Wing Correction	30
4.2.3	Multigroup Resonance Cross Sections and Effective Resonance Integrals	31

4.3	Unresolved Resonance Calculations	3 2
4.3.1	Resonance Integrals for Unresolved Resonances	3 2
4.3.2	Multigroup Resonance Cross Sections	3 4
5.	Input of GGC-4 Code	3 6
5.1	Energy-Group Structures for GAM and GATHER Codes	3 6
5.2	Characteristics and Limitations of GGC-4 Code	3 7
5.3	Cross Section Libraries	4 0
5.4	Input Formats and Examples	4 0
5.5	Output Cards and Remarks	4 2
5.5.1	Output Cross Section Formats for Diffusion Codes	4 2
5.5.2	Output Cross Section Formats for Transport Codes	4 4
5.6	Program Flow Charts and Error Messages	4 5
6.	Auxiliary Computer Programs	8 8
6.1	Auxiliary Programs for GAM Code	8 8
6.1.1	Notes on Input Data	8 8
6.1.2	MAKE Code for Production of Master Data Tapes	9 2
6.1.3	MST Code for Production of Working Data Tapes	9 2
6.1.4	MIXER Code for Creation of Alloy Mixtures	9 2
6.1.5	FPRINT Code for Print Output of Data Tapes	9 3
6.2	Auxiliary Programs for GATHER Code	9 4
6.2.1	Notes on Input Data	9 4
6.2.2	WTFG Code for Production of Master Data Tapes	9 6
6.2.3	MGT Code for Production of Working Data Tapes	100
6.2.4	COMBIN Code for Creation of Alloy Mixtures	100
6.2.5	SPRINT Code for Print Output of Data Tapes	100
6.2.6	DOP Code for Computation of Resonance Cross Sections	100

7. General Remarks on GGC-4 Code	135
8. References	136
Appendix A Computer Code for Dancoff Correction Factors	139
Appendix B Computer Code for Creation of GURNET and EXTERMINATOR-2 Input Cards from GGC-4 Diffusion Cards	141

1 は じ め に

プログラム GGC-4¹⁾は、拡散および輸送コードの為の多群群定数を作成するコード群のパッケージである。

多群断面積セットの計算は、核種 (isotopes) および混合物質 (compounds) に対するエネルギー依存のミクロ断面積の計算から始まる。0~14.9 MeV のエネルギー範囲で、必要とされる断面積、 $\sigma(n, \gamma)$, $\sigma(n, \text{fission})$, $\sigma(n, n')$, $\sigma(n, 2p)$, $\sigma(n, p)$, $\sigma(n, \alpha)$, $\sigma(n, 2\alpha)$, $\sigma(n, 2n)$, 弹性散乱断面積, ν , などが用意されている。これらの核データは、豊富な実験結果および理論計算から、評価され、まとめられたものである。一般には、これらのデータは、微細エネルギー群 (熱中性子領域 (GATHERコード) として、0~238 eV 間の 101 エネルギー点、および、高速中性子領域 (GAM コード) として、238 eV~14.9 MeV 間の 99 エネルギー点) に対して、用意されている。上に述べた断面積のいくつかは、顕著な微細構造を示し、微細エネルギー群に対しては、平均断面積として、まとめられている。普通は、共鳴断面積は共鳴パラメータを用いて求められる。

高速中性子および熱中性子領域では、断面積ライブラリーデータテーブ^{*1)}として、微細エネルギー群の核データを持っている。我々が、実際に GGC-4 を用いるときに、これらのライブラリーテーブを直接用いることは、得策なことではないので、解析すべき原子炉が定まるとき、核種の数が定まるので、簡便用の短かいワーキングデータテーブ (working data tapes) を補助プログラムを用いて作成するとよい。これらのプログラムは、他のいくつかの目的をも持っている。すなわち、新しいデータを取り替えたり、データをプリントしたり、合金のデータを作ったりすることである。微細エネルギー群断面積のワーキングデータテーブが、原子炉設計に必要な核種全てを含むものとして準備されると、次は、原子炉に対するエネルギー依存の中性子束計算が必要となる。このスペクトル計算の入力としては、核種濃度、バックリング、共鳴積分の計算のときに用いられる温度、自己遮蔽因子および体系の種類などが必要である。

スペクトラム計算は次の 2 つのステップに分けられる：高速スペクトラム計算は、GGC-4 の高速中性子領域 (GAM section) で行われ、熱中性子スペクトラム計算は、GGC-4 の熱中性子領域 (GATHER section) で行われる。共鳴吸収計算は、GAM セクションでのみ取り扱われ、上方散乱は、GATHER セクションでのみ取り扱われる。中性子のエネルギー変化を求めるには、Boltzmann 中性子輸送方程式を解くことが必要であるが、こゝでは、この方程式に対して、簡単で経済的な近似解法を採用していて、それは次の主な仮定から成っている。

- (1) 空間依存は、エネルギー依存のないバックリングのみを入力することによって考慮される。
- (2) 角度依存 (非等方性) 中性子スペクトラムは、 P_N あるいは B_N 近似で表示される。

*1) GGA で作成した本来のマスターライブラリーは公開されていない。

これら空間および角度に対する近似がなされると、Boltzmann 方程式は、エネルギーに関する連立積分型方程式となる。

GGC-4 コードの高速中性子領域は、一般に GAM と呼ばれていて、共鳴積分の計算で始まる。共鳴積分の結果は、詳細エネルギー群の吸収および核分裂断面積を補正する。次に、微視断面積に自己遮蔽因子を適用して高速スペクトラム計算に対する詳細エネルギー巨視断面積が作られる。核分裂スペクトラムは Fast data tape から読み込まれる。そして、高速中性子スペクトラムが P_1 , B_1 , B_2 , あるいは B_3 近似を用いて計算される。この計算は、上方散乱が含まれてないので、高いエネルギーグループから低いエネルギーグループへと非反復的に解かれる。縮約エネルギーグループについて、中性子束あるいは中性子流で平均化されたミクロ断面積およびマクロ断面積が求められ、これらは、Fast results tape に書かれて、次の COMBO セクションで用いられる。これらの結果もまたプリントされる。熱中性子スペクトラム計算に対する中性子源は、スクラッチテープに保存されるかカードパンチされる。スペクトラム計算を行う替りに、中性子束および中性子流を入力して、平均断面積を求めることもできる。GAM セクションで行われた連続ケース^{*2)} の結果は、その順に Fast results tape に書かれる。核種濃度のみ、あるいは、縮約エネルギーグループ構造のみ、の変更をしての計算も可能である。

GGC-4 コードの熱中性子領域は、一般に GATHER セクションと呼ばれていて、熱エネルギー領域の上限からゼロエネルギーまでのスペクトラム計算を行う。計算は次の手順で行われる。まず、熱中性子スペクトラム計算に対して、微細エネルギー巨視断面積が計算される（その際、自己遮蔽因子を考慮することもある）。中性子源は、GAM セクションで計算して、テープか、またはカードになっているものから読み込むか、あるいは、この GATHER セクションの中で計算して求めるか、いずれかである。スペクトラム計算は、 P_0 , P_1 , B_0 , あるいは B_1 近似によって行われる。この計算は、上方散乱および下方散乱を含むので、反復法が適用されている。微細エネルギーのミクロ断面積とマクロ断面積は、縮約エネルギーグループについて、中性子束および、中性子流による平均操作で求められる。縮約エネルギーグループ平均の断面積と散乱マトリックスは、核種濃度等と共に、Thermal results tape に書き込まれる。スペクトラム計算をしないで、コード使用者が、中性子束と中性子流を読み込ませるか、あるいは、Maxwell スペクトラムを用いるか、のいずれかの選択もできる。連続ケース^{*2)} の計算の結果は、その順番に、Thermal results tape に書き込まれる。粒種濃度のみ、あるいは、縮約エネルギーグループ構造のみ等の変更をしてのスペクトラム計算も可能である。

COMBO セクション (Combining section) は、既に用意された Fast results tape を用いて、高速中性子グループと熱中性子グループとの連結 (matching) を行うプログラムである。この結果、縮約エネルギーグループのミクロ断面積あるいはマクロ断面積が標準的な輸送コードおよび拡散コードの入力形式として、カードパンチされる。また、ミクロ断面積を

*2) 現在の FACOM では計算機の機能上連続ケースはできないが、Fartan-H が使えるようになれば、連続ケースが可能となる。

合成して、混合物質のマクロ断面積をつくることができる。しかし、一般には、物質が異なれば、異った中性子スペクトラムとなるので、この合成には充分注意すべきであろう。尙 GGO-4 の大体の流れを Fig. 1.1 に示しておいた。

初めて、GGO-4 コードを使用する読者は、まず、GGO-4 本体の概要（第 2 章～第 4 章）を読んでから、次に補助コード群についての知識（第 6 章）を得た後、入力の準備（第 5 章）をするとよい。すぐ GGO-4 コードを用いたい読者は、第 6 章、第 5 章の順で読むとよい。既にワーキングデータの申意ができている読者は第 5 章のみ読むことで、入力の準備ができると思う。

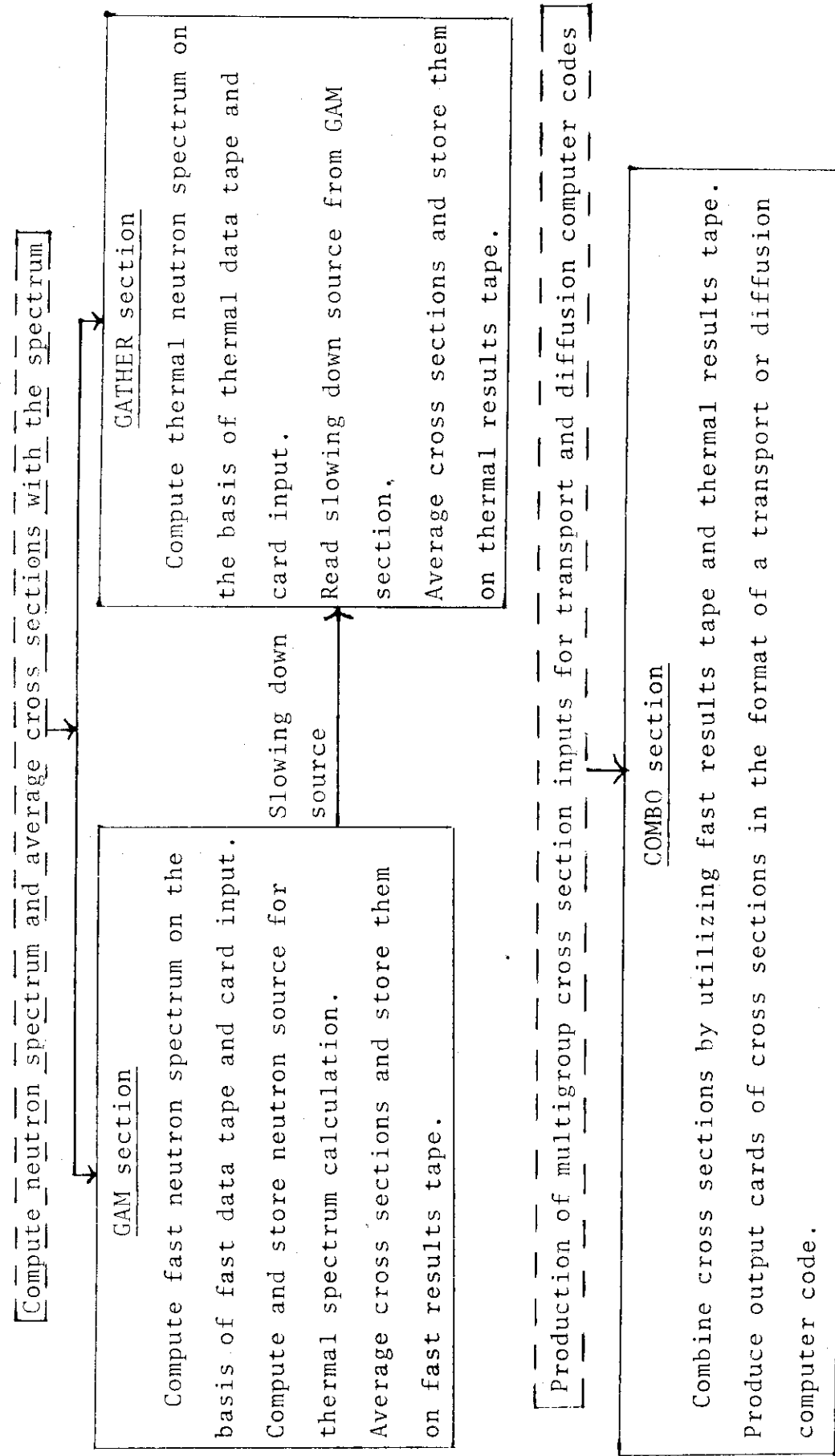


Fig. 1.1 Overall flow chart of GGC-4 code

2 中性子スペクトラムの方程式¹⁾

G G C - 4 コードの中では、 B_N 近似あるいは P_N 近似によって、 角度中性子束のエネルギー依存性を求める。また、 中性子束の空間モーメントおよび時間モーメントを計算することもできる。この節では、 これらについて述べることにする。

2.1 輸送方程式

こゝでは、 P_N 近似および B_N 近似に共通な説明をしておく。どちらの方法も角度依存性およびエネルギー依存性は考慮する。空間依存性は、 バックリング (B^2) によってのみ記述される。

時間に依存しない輸送方程式は：

$$\begin{aligned} & \Omega \cdot \nabla \phi (\mathbf{r}, E, \Omega) + \Sigma_t (\mathbf{r}, E) \phi (\mathbf{r}, E, \Omega) \\ & = \int_0^\infty dE' \int_0^{4\pi} d\Omega' \Sigma_s (\mathbf{r}, E' \rightarrow E, \Omega' \rightarrow \Omega) \phi (\mathbf{r}, E', \Omega') + S (\mathbf{r}, E, \Omega) \end{aligned} \quad (2.1)$$

こゝで、 $\phi (\mathbf{r}, E, \Omega)$ は、 E のまわりの単位エネルギー当り、 \mathbf{r} での単位体積当り、 Ω での単位立体角当り、 の角度依存中性子束であり、 $\Sigma_t (\mathbf{r}, E)$ は、 マクロ全反応断面積であり、 $\Sigma_s (\mathbf{r}, E' \rightarrow E, \Omega' \rightarrow \Omega)$ は、 マクロ断面積表示で、 $dE' d\Omega'$ の位相空間体積から $dE d\Omega$ の位相空間への散乱を表わす。 $S (\mathbf{r}, E, \Omega)$ は、 中性子源を示している。

こゝでは議論を簡単化する為に板状体系で説明して行く。(2.1) 式は次の形に書ける：

$$\begin{aligned} & \mu \frac{\partial}{\partial x} \phi (x, E, \mu) + \Sigma_t (E) \phi (x, E, \mu) \\ & = \sum_{n=0}^{\infty} \frac{2n+1}{2} P_n (\mu) \int_0^\infty dE' \Sigma_s^{(n)} (E' \rightarrow E) \int_{-1}^1 d\mu' P_n (\mu') \phi (x, E', \mu') \\ & + \frac{S_o (x, E)}{2} \end{aligned} \quad (2.2)$$

こゝで、 μ は、 Ω の x 軸に沿っての成分であるとし、 断面積は空間に依存しないとし、 中性子源は等方成分のみであるとした。 $P_n (\mu)$ は Legendre 関数である。また、

$$\Sigma_s (E' \rightarrow E, \Omega' \rightarrow \Omega) = \sum_{n=0}^{\infty} \frac{2n+1}{4\pi} P_n (\mu_0) \Sigma_s^{(n)} (E' \rightarrow E) \quad (2.3)$$

こゝで、 $\mu_0 = \cos (\Omega' \cdot \Omega)$ 。

今、 (2.2) 式で示されている中性子束および中性子源は、 空間依存性を体系からの洩れ（すなわち、 バックリング）のみで表示できると考えると、 次式で表わすことができる：

$$\begin{aligned} \phi (x, E, \mu) & = \text{Re} [\phi (E, \mu) e^{-iBx}] \\ S (x, E) & = \text{Re} [S_o (E) e^{-iBx}] \end{aligned} \quad (2.4)$$

ここで、 Re は実数部を示す。この式を(2.2)式に代入して次式が得られる。

$$\begin{aligned} & [\Sigma_t(E) - iB\mu] \phi(E, \mu) \\ &= \sum_{n=0}^{\infty} \frac{2n+1}{2} P_n(\mu) \int_0^{\infty} dE' \Sigma_s^{(n)}(E' \rightarrow E) \int_{-1}^1 d\mu' P_n(\mu') \phi(E', \mu') \end{aligned} \quad (2.5)$$

この式で用いたBは、結局、中性子束および中性子源のフーリエ変換の変数とみなすことができる。 B^2 は、次式で示される幾何学的バックリングを示している：

$$B^2 = \frac{-\int \int dE d\tau \Delta \phi_0(\tau, E)}{\int \int dE d\tau \phi_0(\tau, E)} \quad (2.6)$$

ここで、 ϕ_0 は、等方成分中性子束を示し、積分は、全空間についてである。

P_N 近似および B_N 近似については2.2節および2.3節で述べるが、 $B^2 > 0$ のときのみで、記述の展開には充分と思われる所以、 $B^2 < 0$ のときは割愛する。

2.2 P_N 近似

(2.5)式に $i^{-n}P_n(\mu)$ を掛けて μ について積分すると、中性子のLegendre成分に対する輸送方程式を得る：

$$\begin{aligned} & B(n+1) \phi_{n+1}(E) - B_n \phi_{n-1}(E) + (2n+1) \Sigma_t(E) \phi_n(E) \\ &= (2n+1) \int_0^{\infty} dE' \Sigma_s^{(n)}(E' \rightarrow E) \phi_n(E') + S_0(E) \delta_{n0} \\ & , n = 0, 1, 2, \dots, N \end{aligned} \quad (2.7)$$

ここで、

$$\phi_n(E) = (i)^{-n} \int_{-1}^{+1} P_n(\mu) \phi(E, \mu) d\mu \quad (2.8)$$

(2.7)式をみると、 $N+1$ 個の方程式に対して $N+2$ 個の未知数を含んでいる。そこで、 $\phi_{N+1}=0$ と置いて、これらの方程式を解く方法が、 P_N 近似である。 N が大きいところでは、 ϕ_N が小さくなり P_N 近似がより正確な近似となる。また、散乱マトリックスについては特別の仮定はないが、 N が大きい高いオーダーの散乱は物理的に重要でなくなってくる。

P_1 近似は B_1 近似より簡単に導かれるので、 B_1 近似の説明のときに述べる。

2.3 B_N 近似

(2.5)式を $1 - iy\mu$ ($y = B / \Sigma_t(E)$ とおいて)で割って、 $i^{-m}P_m(\mu)$ を掛けて、 μ について積分すると次の輸送方程式が得られる：

$$\begin{aligned} \Sigma_t(E) \phi_m(E) &= \sum_{n=0}^{\infty} (2n+1) A_{mn}(y) \int_0^{\infty} dE' \Sigma_s^{(n)}(E' \rightarrow E) \phi_n(E') + A_{m0}(y) S_0(E) \\ & , m = 0, 1, 2, \dots \end{aligned} \quad (2.9)$$

ここで、 $A_{mn}(y)$ は：

$$A_{mn}(y) = \frac{i^{n-m}}{2} \int_{-1}^{+1} \frac{P_m(\mu) P_n(iy\mu)}{1 - i y \mu} d\mu \quad (2.10)$$

そして、 $\phi_n(E)$ は、(2.8)式で既に定義されているものである。

(2.9)式は、 m が大きくなると急速に収束するので、 $m > N$ に対して $\phi_m = 0$ とおくことによって、数値的に式を解くことができる。これが B_N 近似である。

(2.9)式と(2.10)式から $N = 1$ とおいて B_1 近似の式が得られる：

$$B \phi_1(E) + \sum_t (E) \phi_0(E) = \int_0^\infty \Sigma_s^{(0)} (E' \rightarrow E) \phi_0(E') dE' + S_0(E) \quad (2.11)$$

$$-B \phi_0(E) + 3 r(E) \sum_t (E) \phi_1(E) = 3 \int_0^\infty \Sigma_s^{(1)} (E' \rightarrow E) \phi_1(E') dE' \quad (2.12)$$

ここで、

$$r(E) = y^2 \frac{A_{00}}{3(1-A_{00})} \quad (2.13)$$

P_t 近似の式は、 B_1 近似の式で、 $r(E) = 1$ と置いて得られるものと一致する。

2.4 B_N 近似と P_N 近似について

B_N 近似と P_N 近似との基本的な差は、 P_N 近似は、 $N + 1$ の方程式で打ち切って、中性子束、散乱マトリックスおよび中性子源を近似し、一方、 B_N 近似は散乱マトリックスと中性子源のみを打ち切り、中性子束は一応厳密に取り扱われている。散乱は一般に重心系では、等方に近いし、中性子源が核分裂によるものとすれば、これも等方的であるので、 B_N 近似は収束が早い。しかしながら、 P_N 近似では、実際的な（真空のような）境界条件への拡張が可能であるのに対し、 B_N 近似では、(2.10)式でみるように特異点を有し、また、バックリングで有限体系を考慮する。

一般には、空間とエネルギーとの分離性が良ければ、 B_N 近似の方が正確である。特に小型な体系であったり吸収があったりするときには適切である。体系が大きいときや、吸収が小さい体系では P_1 近似などで充分と思われる⁷⁾。 P_3 近似をとっても、 B_1 近似には及ばないときもあり、体系の大きさとの関係も調べられている¹⁰⁾。

2.5 GAMにおけるスペクトラム方程式の解法

(2.7)式および(2.9)式を解くときには、エネルギーに関する連続な式より、エネルギー点（GAMでは、100エネルギー点で99エネルギーグループ、GATHERでは101エネルギー点）の離散的な式が必要である。 B_1 近似の式では次の形となる：

$$\left. \begin{aligned} B\phi_i^1 + \sum_{t,i} \phi_i^0 &= \sum_j \Sigma_{ij}^{(0)} \phi_j^0 \Delta_j + S_i^0 \\ -1/B \phi_i^0 + 3\gamma_i \sum_{t,i} \phi_i^1 &= 3 \sum_j \Sigma_{ij}^{(1)} \phi_j^1 \Delta_j \end{aligned} \right\} \quad (2.14)$$

ここで、エネルギーグループ i の中性子束の m 成分は^{*}、次式で与えられる：

$$\left. \begin{aligned} \phi_i^{(m)} &= \frac{\int_{E_i}^{E_{i+1}} \phi_m(E) dE}{\Delta_i}, \\ \Delta_i &= E_{i+1} - E_i, \\ i &= 1, 2, \dots, 99 \end{aligned} \right\} \quad (2.15)$$

断面積は、 $1/E$ 中性子束を仮定して得られた次式のものを用いる。これらは、データテーブから読み込まれる。

$$\Sigma_{t,i} = \frac{\int_{E_i}^{E_{i+1}} \frac{\Sigma_t(E)}{E} dE}{\int_{E_i}^{E_{i+1}} \frac{dE}{E}}, \quad i = 1, 2, \dots, 99 \quad (2.16)$$

$$\Sigma_{i,j}^{(m)} = \frac{\int_{E_{j+1}}^{E_j} \frac{dE'}{E'} \int_{E_{i+1}}^{E_i} \Sigma^{(m)}(E' \rightarrow E) dE}{\int_{E_j}^{E_{j+1}} \frac{dE'}{E'}} \quad \begin{matrix} i = 1, 2, \dots, 100 \\ j = 1, 2, \dots, 99 \end{matrix} \quad (2.17)$$

$S_i^{(0)}$ は、核分裂中性子源のときは、一般にはデータテーブから読み込まれ、エネルギー積分で 1 に規格化されている。一方 i 番目のグループのみが 1 であるとしての入力もできる。

(2.14) 式は B_1 近似のエネルギーに関して離散的な式であるが、GAM では上方散乱がないとしているので、一番高いエネルギーグループから逐次解くことができる。また ϕ^0 と ϕ^1 に関しては、連立一次方程式となっているので直接解くことができる。 B_3 近似になっても、4 個の式の連立方程式なので、行列の Cramer 公式を用いて直接解くことができる。尚、GAM では P_1 近似と B_1 , B_2 , B_3 近似が取り扱うことができる。

*) 今後は、中性子束および断面積の m 成分を示す指標は、中性子束に対しては、離散的表現（エネルギーグループの指標は別に付くので）のときのみ右下に付け、断面積には、一般に右肩に付けることとする。

2.6 GATHERへの減速中性子源

GAMからGATHERへの減速中性子源は次のように定義する。

$$q_0(E) = \int_{E_c}^{\infty} \sigma_s^{(0)}(E' \rightarrow E) \phi_0(E') dE' \quad (2.18)$$

$$q_1(E) = 3 \int_{E_c}^{\infty} \sigma_s^{(1)}(E' \rightarrow E) \phi_1(E') dE' \quad (2.19)$$

ここで、 E_c は、GAM領域とGATHER領域との境界エネルギーである。 $q_0(E)$ および $q_1(E)$ の計算には、次の2通りの方法があり、それぞれ、漸近的中性子源(asymptotic source)および非漸近的中性子源(non-asymptotic source)と呼ばれ、どちらを選ぶかは入力で決められる。

漸近的中性子源

このときは、次の仮定が前提となる：

1. GAM領域での中性子束は

$$\phi_0(E) = \frac{1}{E} \quad (2.20)$$

2. 中性子束と中性子流は、Fickの法則の関係にある、

すなわち

$$\phi_1(E) = D |B| \phi_0(E) \quad (2.21)$$

ここで、Dは拡散係数である。

3. 中性子散乱は、重心系で等方散乱とする：

$$\sigma_s^{(0)}(E' \rightarrow E) = \frac{\sigma_p}{E'(1-\alpha)} \quad (2.22)$$

$$\sigma_s^{(1)}(E' \rightarrow E) = \frac{\sigma_p}{E'(1-\alpha)} \left(\frac{A+1}{2} \sqrt{\frac{E}{E'}} - \frac{A-1}{2} \sqrt{\frac{E'}{E}} \right) \quad (2.23)$$

ここで、 σ_p は標的核のポテンシャル散乱断面積（エネルギーに依存しない）、Aは、その質量、 $\alpha = [(A-1)/(A+1)]^2$ 。

ここで、指標kは、核種kを示すことにする。（2.18）式および（2.19）式の積分の上限は、1回の衝突による散乱範囲を考えると E/α_k で置き換えられる。そして、上の仮定を代入して整頓すると次式が得られる。

$$q_0^k(E) = \frac{\sigma_p^k}{1-\alpha_k} \left(\frac{1}{E_c} - \frac{\alpha_k}{E} \right) \quad (2.24)$$

$$q_1^k(E) = 3D \left\{ B \left[\frac{\sigma_p^k}{1-\alpha_k} \left[\frac{A_k+1}{2} \sqrt{E} \left(\frac{1}{E_c^{3/2}} - \frac{\alpha_k^{3/2}}{E^2} \right) \right. \right. \right. \\ \left. \left. \left. - \frac{A_k-1}{E} \left(\frac{1}{\sqrt{E_c}} - \frac{\sqrt{\alpha_k}}{\sqrt{E}} \right) \right] \right] \right\} \quad (2.25)$$

$E_d = \alpha_k E_c$ とおくと, $q_1^k(E)$ は,

$E \geq E_d$ のときに, $q_1^k(E) > 0$

$E < E_d$ のとき, $q_1^k(E) = 0$

一方,

$$x_k = \frac{\sqrt{\alpha_k}}{3} \frac{1 - (\frac{E_d}{E})^{3/2}}{1 - (\frac{E_d}{E})^{1/2}} - \frac{E_d}{E}$$

とおくと, $q_1^k(E)$ は,

$x_k > 0$ のときに, $q_1^k(E) > 0$

$x_k < 0$ のときに, $q_1^k(E) < 0$

$E \leq E_d$ のとき, $q_1^k(E) = 0$

現在の GATHER では, エネルギー点 E は, 101 点から成り, $E_c = 2.38$ eV である。

非漸近的中性子源

こゝでは, $1/E$ 中性子束の代りに, 予め計算された GAM での中性子束が用いられる。したがって, E_j , GATHER での j 番目のエネルギー点, $E_d = \alpha_k E_c$, $E_c = 2.38$ eV とすると,

$$\left. \begin{array}{l} q_0^k(E_j) \neq 0 \\ q_1^k(E_j) \neq 0 \end{array} \right\}, \quad E_d \leq E_j \leq E_c \quad (2.26)$$

GAM 領域では, g 番目のエネルギーグループは, エネルギー EN_g および EN_{g+1} で狭まる巾を持っているので, 高速中性子束 $\phi_{(m)}^g$ ($m=0, 1$) は,

$$\phi_{(m)}^g = \int_{EN_{g+1}}^{EN_g} \phi_{(m)}(E) dE, \quad g=1, 2, \dots, 99 \quad (2.27)$$

で表わされる。そして, 92 エネルギーグループが GAM 領域で残りの 7 エネルギーグループが, GATHER 領域と重ね合わさっている例が Fig. 2.1 に示されている。GATHER 領域では, エネルギー点として表示されるので, GAM のエネルギーグループ表示との対応は, 次

式によって定まる：

$$\phi_0(E) = \frac{\phi_0^g}{\Delta U_g} - \frac{1}{E} \quad (2.28)$$

ここで、 ΔU_g は、g番目のエネルギーグループの巾のレサージ表示であり、また、エネルギーグループ内での中性子束は、 $1/E$ と仮定された。

(2.18), (2.19)式の関係と、重心系で、中性子が等方散乱するという仮定を用いて、 q_0 および q_1 を整頓すると、 $q_0(E_j)$ は、

$$q_0^k(E_j) = \sum_g q_0^k(g \rightarrow E_j) + q_0^k, \text{END}, \quad g = h, h+1, h+2, \dots, 92 \quad (2.29)$$

ここで、 h は E_{up} ($= E_j / \alpha$: 1回の衝突での散乱範囲の高い側のエネルギー) が含まれるエネルギーグループで、また、

$$q_0^k(g \rightarrow E_j) = \frac{\sigma_p^k}{1-\alpha_k} \frac{\phi_0^g}{\Delta U_g} \left[\frac{1}{EN_{g+1}} - \frac{1}{EN_g} \right] \quad (2.30)$$

$$q_0^k, \text{END} = \frac{\sigma_p^k}{1-\alpha_k} \frac{\phi_0^{h-1}}{\Delta U_{h-1}} \left[\frac{1}{EN_h} - \frac{1}{E_{up}} \right] \quad (2.31)$$

E_{up} は必ずしもエネルギーグループ境界 EN_h と一致するとは限らないので、補正項として (2.31) 式が (2.29) 式内の第2項として存在している。 $q_1(E)$ についても同様にして得られる。

$$q_1^k(E_j) = \sum_g q_1^k(g \rightarrow E_j) + q_1^k, \text{END}, \quad g = h, h+1, \dots, 92 \quad (2.32)$$

GAM領域とGATHER領域との境界が E_c でないとき

今、こゝでは、 $E_c = 2.38 \text{ eV}$ として記述してきたが、実際には、GAM領域とGATHER領域との境界は、コード使用者が与えるので(今、それを $E_{OGE} < E_c$ で与えたとする)、中性子源としては、その分を補正追加しなければならない。その補正分は、 $q_0(E)$ に対しては、

$$\int_{E_{OGE}}^{E_c} \sigma_s^{(0)}(E' \rightarrow E) \phi_0(E') dE' \quad (2.33)$$

$q_1(E)$ に対しては、

$$3 \int_{E_{OGE}}^{E_c} \sigma_s^{(1)}(E' \rightarrow E) \phi_1(E') dE' \quad (2.34)$$

こゝでは、未だ熱中性子スペクトルが計算されていないので、 $\phi_0(E)$ としては $1/E$ 、 $\phi_1(E)$ としては $D|B|\phi_0(E)$ が用いられる。

全減速中性子源

上に述べた q_0^k と q_1^k とから実際に熱中性子スペクトラムの計算に用いられる全減速中性子源は

$$Q_0(E) = \sum_{k=1}^{MAT} N_k q_0^k(E) \quad (2.35)$$

$$Q_1(E) = \sum_{k=1}^{MAT} N_k q_1^k(E) \quad (2.36)$$

N_k は、核種 k の原子数密度で、MAT は核種の総数である。

非漸近的中性子源の場合は、(2.35)式および(2.36)式の値がそのまま高速中性子スペクトラムの計算とともに計算され、スクラッチテープまたはカードに保存される。漸近的中性子源の場合は、 $q_0^k(E)$ および $q_1^k(E)/D|B|$ の計算に必要なデータが、GATHER 領域のデータテーブルから読み込まれ、熱中性子スペクトルの計算に先立って、(2.35)式および(2.36)式の値が計算される。

2.7 GATHER におけるスペクトラム方程式の解法

GATHER 領域では、エネルギーがゼロから E_0 ($= 2.38 \text{ eV}$) の範囲に亘って 101 微細エネルギー点を持っていて、それらは、それぞれのエネルギーグループの上側境界のエネルギーで定義されている。そして、 P_0 、 P_1 近似および B_0 、 B_1 近似で取り扱うことができる。以下では B_1 近似のみについて説明するが P_1 近似も殆んど同様である。

B_1 近似

GAM 領域の B_1 近似とは(2.11)式および(2.12)式の右辺の、第一項の積分範囲が

$$\int_0^\infty dE' \rightarrow \int_0^{E_0} dE'$$

に代わるので、第2項 $S_0(E)$ が減速中性子源となつて：

$$Q_0(E) = \int_{E_0}^\infty \Sigma_s^{(0)}(E' \rightarrow E) \phi_0(E') dE' \quad (2.37)$$

$$Q_1(E) = 3 \int_{E_0}^\infty \Sigma_s^{(1)}(E' \rightarrow E) \phi_1(E') dE' \quad (2.38)$$

となる。これについては、2.6 節で既に述べた。

したがって、エネルギーに関して離散的表現で B_1 近似を示すと、

$$\left. \begin{aligned} B\phi_i^{(1)} + \sum_{t,i} \phi_i^{(0)} &= \sum_j \sum_{i,j}^{(0)} \phi_j^{(0)} \Delta_j + Q_i^{(0)} \\ -B\phi_i^{(0)} + 3r_i \sum_{t,i} \phi_i^{(1)} &= 3 \sum_j \sum_{i,j}^{(1)} \phi_i^{(1)} \Delta_j + Q_i^{(1)} \end{aligned} \right\} \quad (2.39)$$

ここで

$$\sum_{i,j}^{(m)} = \sum^{(m)} (E_i \leftarrow E_j) \quad m=0, 1 \quad (2.40)$$

エネルギー メッシュは

$$\left. \begin{aligned} \Delta_1 &= \frac{E_2}{2} \\ \Delta_i &= \frac{E_{i+1} - E_{i-1}}{2} \quad , \quad i=2, 3, 4, \dots, 100 \\ \Delta_{101} &= E_{101} - E_{100} \end{aligned} \right\} \quad (2.41)$$

GATHERでは、上方散乱が含まれているので、(2.39)式は反復法で解かなければならぬ。すなわち、(2.39)式を書き直して：

$$\left. \begin{aligned} \phi_i^{(0)} &= \frac{\sum_{j \neq i} \sum_{i,j}^{(0)} \phi_j^{(0)} \Delta_j + Q_i^{(0)} - B\phi_i^{(1)}}{\sum_{t,i} - \sum_{i,i}^{(0)} \Delta_i} \\ \phi_i^{(1)} &= \frac{3 \sum_{j \neq i} \sum_{i,j}^{(1)} \phi_j^{(1)} \Delta_j + Q_i^{(1)} + B\phi_i^{(0)}}{3 (\sum_{t,i} r_i - \sum_{i,i}^{(1)} \Delta_i)} \end{aligned} \right\} \quad (2.42)$$

右辺の $\phi_i^{(0)}$ および $\phi_i^{(1)}$ は、反復法において、最初の値は、人入するか、前回の計算結果を用いるかいづれかである。これらの $\phi^{(0)}$ および $\phi^{(1)}$ を用いて、すぐ、次式による規格化因子が計算され、

$$\alpha = \frac{\sum_j Q_j^{(0)} \Delta_j}{\sum_j [(\sum_{a,j} + \sum_{up,j}^{(0)}) \phi_j^{(0)} + B\phi_j^{(1)}] \Delta_j} \quad (2.43)$$

*) Normalized extrapolation Gaussian iteration method とか point successive overrelaxation iterative method と呼ばれている方法。⁸⁾

この α を用いて、反復法の次回の $\phi^{(0)}$, $\phi^{(1)}$ が次式によって求められる：

$$\phi_i^{k+1} = \lambda \alpha_{k+\frac{1}{2}} \phi_i^{k+\frac{1}{2}} + (1-\lambda) \phi_i^k \quad (2.44)$$

ここで、 λ は緩和因子であり、付号 k , $k + \frac{1}{2}$, $k + 1$ は、それぞれ、前回、今回、次回を表わす。(2.42)式から(2.44)式は、 $\phi^{(0)}$ および $\phi^{(1)}$ が収束するまで反復される。最大反復回数、収束範囲、緩和因子は、入力しないときは、コード内で、それぞれ300, 1×10^{-5} , 1.2として与えられる。

(2.43)式および(2.42)式で用いられた $\Sigma_{up,j}^{(0)}$ および $\Sigma_{t,i}$ は、それぞれ次式で与えられる。

$$\Sigma_{up,j}^{(0)} = \int_{E_0}^{\infty} \Sigma^{(0)}(E_j \rightarrow E') dE' \quad (2.45)$$

$$\Sigma_{t,i} = \Sigma_{a,i} + \sum_j \Sigma_{ij}^{(0)} \Delta_j + \Sigma_{up,i}^{(0)} \quad (2.46)$$

2.8 GAMとGATHERの連結

GATHER領域では、2.38 eV以下、GAM領域では、14.9 MeVから0.414 eVまで取り扱うが、GGC-4コードでは、14.9 MeV以下の全領域に亘っての群定数を作成するので、上のふたつの領域を連結する手続きを持っています。2.38 eVは両領域の交叉しているところのエネルギーで、2.38 eVから0.414 eVまでは、両領域の重ね合わさっているところで、こゝでは、中性子束および中性子流が等しいことが望まれる。

イ) 2.7節で述べたように、2.38 eVは、GATHER領域の101番目のエネルギー点で、また、GAM領域の92番目のエネルギーグループに接続している(微細グループでは、GATHERとGAMとでは、エネルギー点の番号付けは逆向きにしている)。連続性の式は、エネルギー点とエネルギーグループとで行うのであるから、次式で与えられる。

$$\phi^T(E_{101}) = \frac{\phi_{92}^F}{\Delta U_{92}} \cdot \frac{1}{E_{101}} \quad (2.47)$$

ここで、右肩の指標で、TはGATHER領域に属することを示し、FはGAM領域に属することを示す。 Δ は、レサージー巾を示している。

ロ) 縮約されたエネルギーグループの連続性について調べる。Fig.2.2に示してあるような場合を考えると、GAM領域の最後のグループ($N_F + 1$ 番目)とGATHER領域の初めのグループ(1番目)の中性子束あるいは中性子流が接続していると考えると

$$\phi_{N_F + 1}^F = \phi_1^T \quad (2.48)$$

逆に云えば、(2.48)式満足するような両領域のエネルギー範囲を定めるべきであろう。

(2.48)式はコードの中では考慮されていない。こゝにグループの中性子束(中性子流)は、次式で定義されているものとする。

$$\phi_g^{(n)} = \int \phi_g^{(n)}(E) dE \quad (2.49)$$

積分は、g番目の縮約グループのエネルギー範囲である。

減速中性子源の連結については、既に2.6節で述べた。

2.9 空間モーメント

(2.2)式に、 $P_m(\mu)$ を掛けて、 μ について積分すると次式が得られる：

$$\begin{aligned} & (n+1) \frac{\partial \phi_{n+1}}{\partial x} + n \frac{\partial \phi_{n-1}}{\partial x} + (2n+1) \sum_t (B\phi_n(E, x)) \\ & = (2n+1) \int_0^\infty \sum_s^{(n)} (E' \rightarrow E) \phi_n(E', x) dE' + S(E, x) \delta_{no} \\ & , \quad n = 0, 1, 2, \dots \end{aligned} \quad (2.50)$$

こゝで、

$$\phi_n(E, x) = \int_{-1}^{+1} P_n(\mu) \phi(E, \mu, x) d\mu \quad (2.51)$$

(2.50)式で、 $x = 0$ に板状中性子源があると仮定して、空間モーメントをとると、

$$\begin{aligned} & -[(n+1)\phi_{m-1, n+1}(E) + n\phi_{m-1, n-1}(E)] + (2n+1)\sum_t (E) \phi_{m, n}(E) \\ & = (2n+1) \int_0^\infty \sum_s^{(n)} (E \leftarrow E) \phi_{m, n}(E') dE' + S_0(E) \delta_{no} \delta_{mo}, \\ & n = 0, 1, 2, \dots \end{aligned} \quad (2.52)$$

こゝで、

$$\phi_{m, n}(E) = \int_{-\infty}^{+\infty} \frac{x^m}{m!} \phi_n(E, x) dx, \quad n, m = 0, 1, \dots, M.$$

そして、 $\phi_{-1, -1}, \phi_{-1, 1}$ のような負の指標を持つモーメントはゼロととる。これらの $\phi_{m, n}$ のエネルギーグループ平均の値は、GGC-4のGAMセクションで計算される。そのとき、 $m+n$ は偶数で、Mは2又は6の値のときが求められる。エネルギーグループ番号gでの空間モーメントを $\phi_{m, n}^g$ と置くと、次式で定義される τ_g が、エネルギーグループg番目の年令(A_{ge})である：

$$\tau_g = \frac{\phi_{2g}^g}{\phi_{0g}^g} \quad (2.53)$$

2.10 時間モーメント

G G C - 4 の G A T H E R セクションでは、中性子束の時間モーメントも計算できる。時間依存の拡散方程式は、一般に次式で与えられる：

$$\begin{aligned} & \frac{1}{v} \frac{\partial}{\partial t} \phi_0(E, t) + DB^2 \phi_0(E, t) + \Sigma_t(E) \phi_0(E, t) \\ & = \int_0^\infty \Sigma_s^{(0)}(E' \rightarrow E) \phi_0(E', t) dE' \end{aligned} \quad (2.54)$$

ここで、 ϕ_0 は P_0 近似の中性子束であり、空間依存性は、バックリングで考慮される。今、時間モーメントを

$$\phi_{m,0}(E) = \int_0^\infty \frac{t^m}{m!} \phi_0(E, t) dt \quad (2.55)$$

と定義して、(2.54)式の時間モーメントをとると、

$$\begin{aligned} [DB^2 + \Sigma_t(E)] \phi_{m,0}(E) &= \int_0^\infty \Sigma_s^{(0)}(E' \rightarrow E) \phi_{m,0}(E') dE' + \frac{1}{v} \phi_{m-1,0}(E) \\ ; m &= 0, 1, 2, \dots \end{aligned} \quad (2.56)$$

ここで、 $\phi_{-1,0}$ は、最初の仮定した中性子 $\phi_0(E, 0)$ ととる。

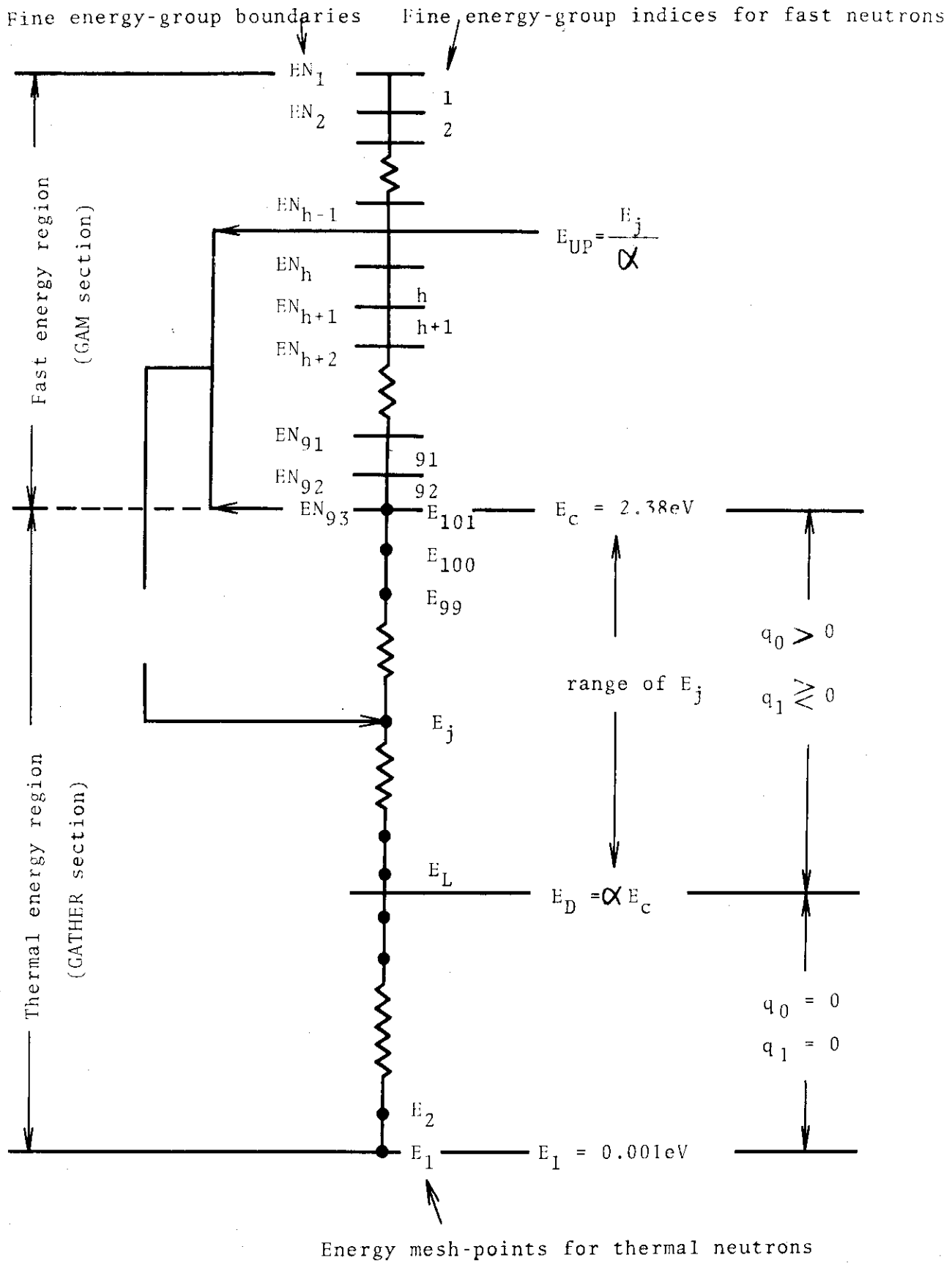


Fig. 2.1 Energy-group structure for calculating slowing-down sources

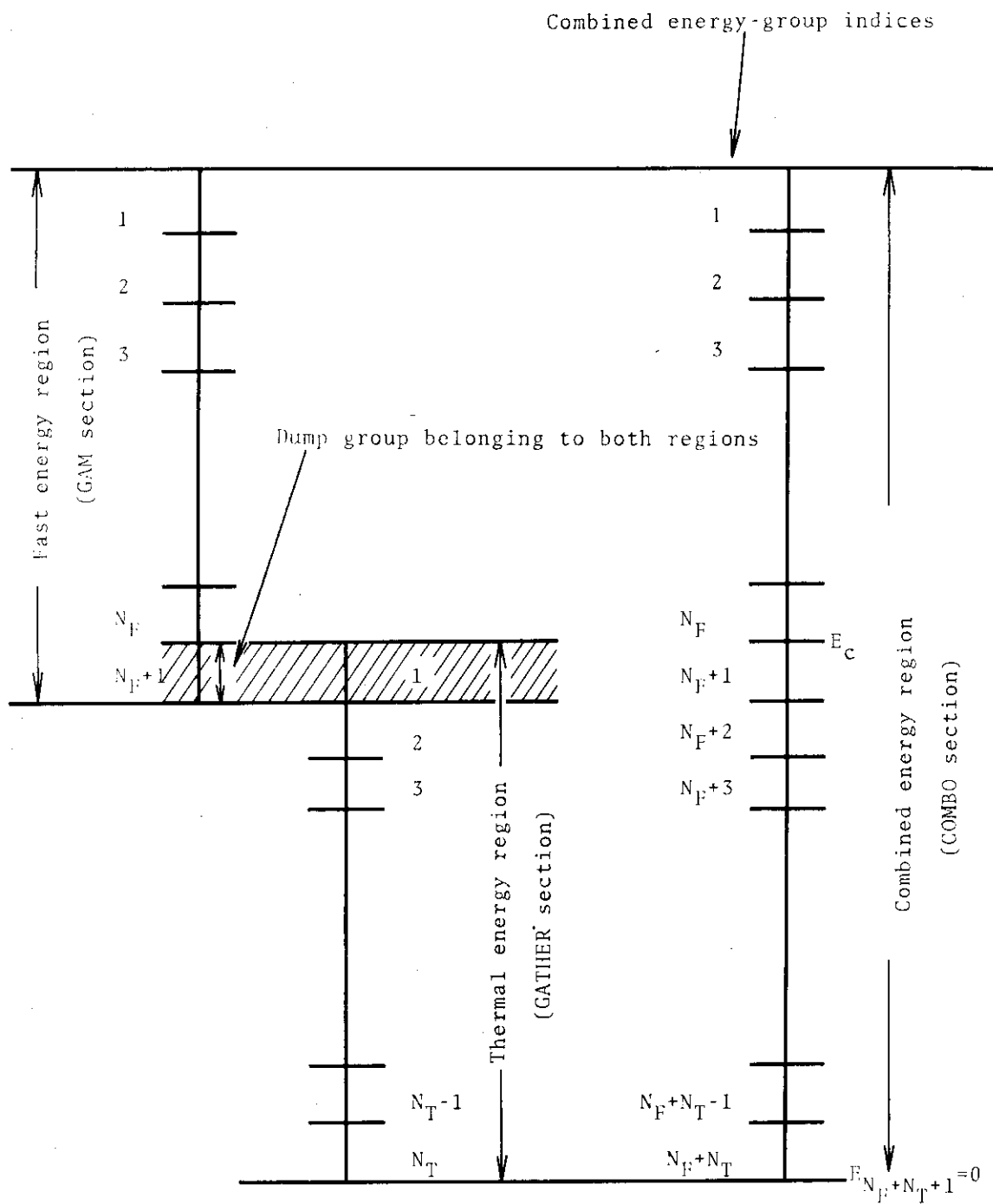


Fig. 2.2 Collapsed energy-group structure combining fast and thermal energy regions.

3 縮約断面積の計算

中性子スペクトラムの計算が終ると、与えられたエネルギー範囲について、断面積の平均化が行われる。こゝでは、平均化の公式を示す。もし、自己遮蔽因子を与えたときには、断面積にこれを掛けねばよい。GAMおよびGATH用で用意された縮約断面積は、GGC-4のCOMBOで、輸送コードおよび拡散コードの入力形式に書き換えられ、カードとして出力される。輸送コードはDTF-N¹²⁾の入力と殆んど同じ形式である。

3.1 輸送断面積の定義

GGC-4の中では、ミクロ輸送断面積に二つの定義がなされている。この両方の定義は、 $B \rightarrow 1$ 近似から導かれる：

$$\frac{B^2}{|B|} \phi_1(E) + \Sigma_t(E) \phi_0(E) = \int_0^\infty \Sigma_s^{(0)}(E' \rightarrow E) \phi_0(E') dE' + S_0(E) \quad (3.1)$$

$$= |B| \phi_0(E) + 3r(E) \Sigma_t(E) \phi_1(E) = 3 \int_0^\infty \Sigma_s^{(1)}(E' \rightarrow E) \phi_1(E') dE' \quad (3.2)$$

こゝで、空間依存性は、パックリング(B^2)のみによって記述される。

ミクロ輸送断面積の定義は

$$[\text{definition-1}] : \sigma_{tr}(E) = r(E) \sigma_t(E) - \frac{\int_0^\infty \sigma_s^{(1)}(E' \rightarrow E) \phi_1(E') dE'}{\phi_1(E)} \quad (3.3)$$

$$[\text{definition-2}] : \sigma_{tr}(E) = r(E) \sigma_t(E) - \mu_0(E) \quad (3.4)$$

こゝで、

$$\mu_0(E) = \int \sigma_s^{(1)}(E \rightarrow E') dE' \quad (3.5)$$

混合物質のマクロ断面積の定義は、次式で与えられる。

$$\Sigma_{tr}(E) = \frac{|B|}{3} \frac{\phi_0(E)}{\phi_1(E)} \quad (3.6)$$

(3.3)式と(3.4)式は、本来内容的に一致しているのであるが、スペクトラムは(3.2)式から求めるので、若干の不一致がある。一般には、非等方性散乱を考慮した等方輸送計算をするときには、[definition-2]の(3.4)式を用いる。

3.2 GAMの縮約断面積

縮約エネルギーグループの境界が、微細エネルギーグループの境界と一致してないときは、近い方の境界が用いられる。これらの式の中で、iおよびjは、微細グループを表わし、k

および 1 は、縮約グループを示すものとする。

縮約された中性子束および中性子流

$$(\phi^{(m)})_k = \sum_{i \in k} \phi_i^{(m)} \Delta_i \quad (3.7)$$

ここで、 $m = 0$ が中性子束、 $m = 1$ が中性子流に対する符号である。 Δ_i は (2.15) に既に定義されている。

散乱マトリックス (グループ 1 からグループ k へ)

$$(\sigma^{(m)})_{kl} = \frac{\sum_{j \in l} \phi_j^{(m)} \Delta_j \sum_{i \in k} \sigma_{ij}^{(m)} \Delta_i}{\sum_{j \in l} \phi_j^{(m)} \Delta_j} \quad (3.8)$$

全等方成分散マトリックス

$$(\sigma^{(0)})_{kl} = (\sigma^{(0), el})_{kl} + (\sigma^{(0), inel})_{kl} + 2(\sigma^{(0), (n, 2n)})_{kl} \quad (3.9)$$

外散乱 (outscatter) 断面積

$$(\sigma_{out})_k = \sum_{l > k} [(\sigma^{(0), el})_{lk} + (\sigma^{(0), inel})_{lk} + (\sigma^{(0), (n, 2n)})_{lk}] \quad (3.10)$$

ミクロ輸送断面積

縮約されたミクロ輸送断面積には、各核種に対して、次のふたつの定義があり、いずれか、入力で選ばれる。これについては第 3.1 節に説明がなされている。

[definition-1]

$$(\sigma_{tr})_k = (r\sigma_t)_k - \frac{\sum_{l=1}^k (\sigma^{(1)})_{kl} \sum_{j \in l} \phi_j^{(1)} \Delta_j}{\sum_{i \in k} \phi_i^{(1)} \Delta_i} \quad (3.11)$$

[definition-2]

$$(\sigma_{tr})_k = (r\sigma_t)_k - \sum_{l=k}^{N_F} (\sigma^{(1)})_{lk} \quad (3.12)$$

ここで、 N_F は GAM 領域における縮約エネルギーグループの数である。

マクロ輸送断面積

混合物質に対する拡散係数は次式で計算される。

$$(D)_k = \frac{(\phi^{(1)})_k}{|B|(\phi^{(0)})_k} \quad (3.13)$$

この拡散係数から輸送断面積が求められる。すなわち、

$$(\Sigma_{tr})_k = \frac{1}{3(D)_k} \quad (3.14)$$

反応断面積

反応断面積は、中性子束を用いた平均操作によって、求められる：

$$(\sigma)_k = \frac{\sum_{i \in k} \sigma_i \phi_i^{(0)} \Delta_i}{\sum_{i \in k} \phi_i^{(0)} \Delta_i} \quad (3.15)$$

ここで、 σ は、吸収、全散乱、核分裂、等の断面積を示す。

共鳴断面積

共鳴吸収物質の捕獲吸収断面積 $(\sigma_c)_k$ は、3つの成分からなっている。すなわち、

$$(\sigma_c)_k = (\sigma_c)_k^{\text{resolved}} + (\sigma_c)_k^{\text{unresolved}} + (\sigma_c)_k^{\text{background}} \quad (3.16)$$

ここで、resolvedは、分離共鳴、unresolvedは非分離共鳴、backgroundは滑らかな成分を表わし、このバックグラウンド断面積は、データテーブルから読み込まれ、共鳴計算の結果に追加するのに用いられる。分離共鳴領域において、実効捕獲吸収積分は、次式で計算される。

$$(I_{eff})_k = \frac{(\sigma_c)_k^{\text{resolved}} (\phi^{(0)})_k}{\phi_R} \quad (3.17)$$

ここで ϕ_R は、次式で定義される規格化因子である：

$$\phi_R = \frac{\int_{E_R}^{E_1} \phi(E) dE}{\ln \frac{E_1}{E_R}} \quad (3.18)$$

ここで、 E_R は分離共鳴計算の下限境界エネルギーを示し、 E_1 ($E_1 > E_R$)は、GAMコードの中での最も高いエネルギーである。この式でわかるように、もし、 $\phi(E) = 1/E$ ならば、 $\phi_R = 1$ であり、 $\phi(E)$ が $1/E$ よりずれれば、 ϕ_R は1でなくなる。全実効捕獲吸収共鳴積分は、次式から得られる：

$$I_{\text{eff}} = \sum_k (I_{\text{eff}})_k \quad (3.19)$$

核分裂断面積

$\nu \sigma_f$ に対しては

$$(\nu \sigma_f)_k = \frac{\sum_{i \in k} \nu \sigma_{f,i} \phi_i^{(0)} \Delta_i}{\sum_{i \in k} \phi_i^{(0)} \Delta_i} \quad (3.20)$$

$$(\nu)_k = \frac{(\nu \sigma_f)_k}{(\sigma_f)_k} \quad (3.21)$$

エネルギーグループ k における核分裂スペクトラム割合は、

$$(\chi)_k = \sum_{i \in k} \chi_i \Delta_i \quad (3.22)$$

マクロ断面積

混合物質の輸送断面積を除いては、どのマクロ断面積も、ミクロ断面積と同じ平均操作で、縮約される。

3.3 GATHER の縮約断面積

エネルギーグループの縮約に際して、GATHERにおけるエネルギーメッシュを次のように定義し、積分を行うときは台形公式が用いられる。 i, j, k, l, m の意味は、3.2節と同様である。

$$\left. \begin{aligned} h_1 &= \frac{E}{2} \\ h_i &= \frac{E_i - E_{i-1}}{2} \end{aligned} \right\}, \quad i = 2, 3, \dots, 101 \quad (3.23)$$

と定義しておく。

縮約された中性子束および中性子流

$$(\phi^{(m)})_k = \sum_{i \in k} (\phi_i^{(m)} + \phi_{i-1}^{(m)}) h_i, \quad m = 0, 1 \quad (3.24)$$

ここで、 $m = 0$ のときが、中性子束、 $m = 1$ が中性子流を示す。

反応断面積

吸収、捕獲吸収、核分裂、散乱、等の反応断面積を求める式は次式で与えられる。

$$(\sigma)_k = \frac{\sum_{i \in k} (\sigma_i \phi_i^{(0)} + \sigma_{i-1} \phi_{i-1}^{(0)}) h_i}{\sum_{i \in k} (\phi_i^{(0)} + \phi_{i-1}^{(0)}) h_i} \quad (3.25)$$

散乱マトリックス（グループ l からグループ k へ）

エネルギーグループ，l から k への縮約散乱マトリックスは、次式で求められる。

$$(\sigma^{(m)})_{k,l} = \frac{\sum_{j \in l} \sum_{i \in k} [(\sigma_{ij}^{(m)} + \sigma_{i-1,j}^{(m)}) \phi_j^{(m)} + (\sigma_{i,j+1}^{(m)} + \sigma_{i-1,j+1}^{(m)}) \phi_{j+1}^{(m)}] h_i h_j}{\sum_{j \in l} (\phi_j^{(m)} + \phi_{j+1}^{(m)}) h_j} \quad (3.26)$$

ここで， $m = 0, 1$

エネルギー E_c より高いエネルギーへの上方散乱断面積

微細エネルギーグループの散乱マトリックスを持つ核種に対して、次式による上方散乱断面積が計算される：

$$\sigma_{up}^{(0)}(E) = \sigma_s(E) - \int_{E'=0}^{E_c} \sigma^{(0)}(E \rightarrow E') dE' \quad (3.27)$$

$$\sigma_{up}^{(1)}(E) = 3 [\sigma_t(E) - \int_{E'=0}^{E_c} \sigma^{(1)}(E \rightarrow E') dE'] \quad (3.28)$$

ここで， $\alpha E_c < E \leq E_c$ 。

E_c は、GATHER の中の微細エネルギーグループメッシュの最も高い上限メッシュポイントである。縮約計算のときには、 E_c は、最も高い縮約グループの上限境界エネルギーとする。縮約された、 $\sigma_{up}^{(0)}$ および $\sigma_{up}^{(1)}$ は、それぞれ、微細エネルギーについて、中性子束および中性子流を重みとした台形積分による平均操作で求められる。

減速源（slowing down source）

$q_i^{(0)} = q^{(0)}(E_i)$, $q_i^{(1)} = q^{(1)}(E_i)$ と置くと、縮約された減速源は次式から求められる：

$$(q^{(n)})_k = \sum_{i \in k} (q_i^{(n)} + q_{i-1}^{(n)}) h_i \quad (3.29)$$

ここで、 $m = 0, 1$

ミクロ輸送断面積

コード使用者は、平均操作する際に、重み関数として中性子束 ($\phi_i = \phi_i^{(0)}$) を用いるか、中性子流 ($\phi_i = \phi_i^{(1)}$) を用いるか、を選択する。平均操作の式については、以下に示すが、重み関数は ϕ として示される。普通は、平均操作は、中性子流で行われる。

吸収物質について

これらの核種は、散乱マトリックスを持たない。このときの縮約ミクロ輸送断面積は、次式の微細グループ輸送断面積を平均化することによって求められる。

$$\sigma_{tr,i} = \sigma_{a,i} + \left(1 - \frac{2}{3A}\right) \sigma_{s,i} \quad (3.30)$$

$$(\sigma_{tr})_k = \frac{\sum_{i \in k} (\sigma_{tr,i} \phi_i + \sigma_{tr,i-1} \phi_{i-1}) h_i}{\sum_{i \in k} (\phi_i + \phi_{i-1}) h_i} \quad (3.31)$$

ここで、 $\sigma_{a,i}$ は吸収断面積を示し、 $\sigma_{s,i}$ は散乱断面積を示す。A は吸収核種の質量である。ミクロ輸送断面積 $\sigma_{tr,i}$ は、GATHER のデータテーブルから読み込まれる。

減速物質について

これらの核種は、散乱マトリックスを持っている。したがって、縮約輸送断面積は、次のふたつのいづれかの定義で求められる：

[definition-1]

$$(\sigma_{tr})_k = (\nu \sigma_t)_k - \frac{\sum_{l=1}^{N_T} (\sigma^{(1)})_{k,l} \phi_l^{(1)} + (q^{(1)})_k}{\phi_k^{(1)}} \quad (3.32)$$

ここで、 N_T は、GATHER の縮約グループの数である。(3.32)式の第2項は、k番目の縮約グループに（高いエネルギーからも、低いエネルギーからも）散乱して入ってくる中性子の総数を意味している。

[definition-2]

$$(\sigma_{tr})_k = (r \sigma_t)_k - [\sum_{l=1}^{N_T} (\sigma^{(1)})_{l,k} + (\sigma_{up}^{(1)})_k] \quad (3.33)$$

マクロ輸送断面積

$$(\Sigma_{tr})_k = \frac{|B| (\phi^{(0)})_k}{3 (\phi^{(1)})_k} \quad (3.34)$$

3.4 散乱マトリックスの連結

GGC-4 の GAM 領域の中では、散乱マトリックス $(\sigma^{(0)})_{1k}$ および $(\sigma^{(1)})_{1k}$ が、各核種に対して、与えられている。ここで、 $k = 1, 2, \dots, N_F$ および $l = 1, 2, \dots, N_F, N_F + 1$ である (Fig. 2.2 参照)。 N_F は GAM 縮約グループの一一番下のグループで、 $N_F + 1$ は、GATHER 領域の縮約グループで、ダンプグループとして用いられる。GATHER 領域では $(\sigma^{(0)})_{k1}$ および $(\sigma^{(1)})_{k1}, l = 1, 2, \dots, N_T$ および $k = 1, 2, \dots, N_T$ (N_T は GATHER グループの一一番低い縮約グループ) が与えられている。これらの散乱マトリ

マトリックスは、 GAM グループ数 N_F および GATHER 領域グループ数 N_T からなる全エネルギー グループ ($l = 1, 2, \dots, N_F + N_T$, および $k = 1, 2, \dots, N_F + N_T$) に亘って連結され、 単一の散乱マトリックスにまとめられる。

GATHER 領域から GAM 領域への全ての上方散乱は、 N_F へ散乱して行くと仮定する。 すなわち、

$$\left(\sigma^{(0)} \right)_{N_F, k} = \left(\sigma_{up}^{(0)} \right)_k$$

$$\left(\sigma^{(1)} \right)_{N_F, k} = \left(\sigma_{up}^{(1)} \right)_k$$

$$k = N_F + 1, N_F + 2, \dots, N_F + N_T$$
(3.35)

この方法は、水素を含む全ての核種に対して同じである。

GAM 領域から GATHER 領域への下方散乱は、水素を除く全ての核種に対しては、 GATHER 領域の第 1 グループへ散乱して行くと仮定する。すなわち、 GAM 領域のダンプ グループは、 GATHER 領域の第 1 グループに相当する。

水素に対しては、別な取り扱いをする。この減速材は非常に強い減速効果を持っているので、 全ての熱中性子グループに散乱して行くと考えられる。このときの GATHER 領域への散乱マトリックスは、次式によって計算される：

$$\left(\sigma^{(0)} \right)_{1, k} = \left(\sigma^{(0)} \right)_{N_F + 1, k} \left(\frac{E_1 - E_{1+1}}{E_0} \right),$$

$$\left(\sigma^{(1)} \right)_{1, k} = \left(\sigma^{(1)} \right)_{N_F + 1, k} \left(\frac{\frac{3}{2} - \frac{3}{2}}{E_0^2} \right), \quad k = 1, 2, \dots, N_F$$

$$1 = N_F + 1, N_F + 2, \dots, N_F + N_T$$
(3.36)

ここで、 E_0 は GAM 領域と GATHER 領域との境界エネルギーであり、 E_1 は、1番目の 热エネルギー縮約グループの上側境界である。また、 $E_{N_F + 1} = E_0$, $E_1 > E_{1+1}$, $E_{N_F + N_T + 1} = 0$ である。

4 共鳴断面積の計算⁹⁾

GGC-4 の GAM 領域の微細エネルギーグループにおける平均共鳴断面積は、このエネルギー グループ内でも、エネルギーに対して変化するので、更に細かい（超微細）エネルギー メッシュで解いて、平均微細グループ共鳴断面積を計算しなければならない。また、共鳴領域は分離領域と非分離領域とに分けられる。分離共鳴では、この超微細エネルギー グループで解かれて Doppler 共鳴が計算され、このとき得られた中性子束を用いて実効共鳴積分が求められ、バックグラウンド断面積に加えられる。この分離共鳴計算は各共鳴レベルに対して適用されるが、主な寄与をする部分は厳密に、少ない寄与である共鳴の裾の部分は解析的に、求められる。一方、非分離共鳴計算では、共鳴レベルが統計的に分布していると仮定して行われる。ライブラリーオン中に既に用意されている微細エネルギー グループの共鳴断面積を用いるときは、上記の共鳴計算はせず、ライブラリーから直接読み込まれる。

4.1 Doppler 共鳴の計算

中心にエネルギー E_0 を持つひとつの共鳴（捕獲）吸収断面積は、Breit-Wigner の公式で与えられる：

$$\sigma_{n,\gamma}(E) = \pi \lambda_0^2 g \sqrt{\frac{E_0}{E}} \frac{\Gamma_n \Gamma_\gamma}{(E-E_0)^2 + \frac{\Gamma^2}{4}} \quad (4.1)$$

ここで、 Γ_n 、 Γ_γ および Γ は、それぞれ、中性子散乱巾、捕獲吸収巾、全巾を示し、 $\lambda_0 = \pi / \sqrt{2\mu E_0}$ で、 μ は換算質量、 $\pi = h / 2\pi$ 、 h はプランクの定数であり、 $g = (2J+1) / [2(2I+1)]$ で、統計因子と呼ばれる。J は、複合核のスピン、I は標的核のスピンである。入力された温度 T (°K) に従って、ドップラー吸収断面積は実際には次式で計算される。

$$\sigma_a(E) = \frac{\Gamma_\gamma + \Gamma_f}{\Gamma} \sqrt{\frac{E_0}{E}} \sigma_0 \psi(\xi, x), \quad (4.2)$$

ここで、 Γ_f は、核分裂巾で、

$$\sigma_0 = 4\pi g \lambda_0^2 \frac{\Gamma_n}{\Gamma} \quad (4.3)$$

および

$$\psi(\xi, x) = \frac{\xi^2 (x-y)^2}{\sqrt{4\pi}} \int_{-\infty}^{\infty} \frac{e^{-\frac{(y-x)^2}{4}}}{1+y^2} dy \quad (4.4)$$

(4.4) 式の中で

$$x = \frac{2(E-E_0)}{\Gamma} \quad (4.5)$$

$$y = \frac{2(E_{CM} - E_0)}{\Gamma} \quad (4.6)$$

$$\xi = \frac{\Gamma}{\Gamma_D} \quad (4.7)$$

$$\Gamma_D = \sqrt{\frac{4E_0 kT}{A}} \quad (4.8)$$

E_{CM} は重心系での中性子と標的核の運動エネルギーの和であり、 Γ_D は Doppler 帯と呼ばれているものである。k は Boltzmann 定数である。

Doppler 共鳴散乱は、軽い核および中程度の重さの核の散乱断面積に対しては普通は無視できるが、重い核の狭い共鳴に対しては無視できない。この共鳴散乱断面積は次式で与えられる：

$$\sigma_s(E) = \pi \lambda_0^2 g \frac{\Gamma_n^2}{(E-E_0)^2 + \frac{\Gamma^2}{4}} + \sigma_p + 4\pi R \lambda_0^2 g \frac{(E-E_0)\Gamma_n}{(E-E_0)^2 + \frac{\Gamma^2}{4}} \quad (4.9)$$

ここで、 $\sigma_p = 4\pi R^2$ で R は標的核の半径である。上の式の第 1 項は共鳴散乱、第 2 項はポテンシャル散乱、第 3 項は共鳴散乱とポテンシャル散乱の干渉を示す。実際には、上の式から、次式で計算される。

$$\sigma_s(E) = \sigma_0 \frac{\Gamma_n}{\Gamma} \psi(\xi, x) + \frac{\sigma_0 R}{\lambda_0} \chi(\xi, x) + \sigma_p \quad (4.10)$$

ここで

$$\chi(\xi, x) = \frac{\xi^2 (x-y)^2}{\sqrt{\pi}} \int_{-\infty}^{\infty} \frac{2y e^{-\frac{(x-y)^2}{4}}}{1+y^2} dy \quad (4.11)$$

4.2 分離共鳴の計算

分離共鳴では、3つの計算部分に分けられる。第 1 は、共鳴中心エネルギー E_0 の周りのある一定の範囲に対して、第 2 は、 E_0 から離れた処の、いわゆる翼 (Wing) の計算、第 3 は、 GGO-4 のエネルギー メッシュに対して、計算された共鳴積分が実効吸収断面積に変換され、その際バックグラウンド断面積が加えられる。

4.2.1 共鳴積分に対する主な寄与の計算

共鳴エネルギー E_0 での共鳴積分は、次式で定義される：

$$I(E_0) = E_1 \int_{-\infty}^{\infty} F(u) \frac{\sigma_{ao}}{\sigma_t} e^{-u} du \quad (4.12)$$

ここで、 $F(u)e^{-u}$ は衝突密度で、 u はレサージイ（次式）で、 E_1 は（4.15）式、あるいは（4.16）式が成り立つ範囲でとられるエネルギーである。

$$u = \ln \frac{E_1}{E} \quad (4.13)$$

そして、 σ_{ao} は共鳴の中心の吸収断面積である。この節では $I(E_0)$ に対する主な寄与 $I_p(E_0)$ を計算する：

$$I_p(E_0) = E_1 \int_0^{I_n(\frac{E_1}{2E_0 - E_1})} F(u) \frac{\sigma_{ao}}{\sigma_t} e^{-u} du \quad (4.14)$$

ここで E_1 は、共鳴計算する際の共鳴レベルの裾の広がり巾を示す切断エネルギーで、次式で示される：

$$E_1 = E_0 + \frac{1}{2} S \Gamma_p \quad (4.15)$$

あるいは

$$E_1 = E_0 + 10 \Gamma_D \quad (4.16)$$

ここで、 $\Gamma_p = \sqrt{\sigma_0/\sigma_p} \cdot \Gamma$ ($\sigma_p = 4\pi R^2$) で、 S は入力する量であるが、 ^{238}U と ^{232}Th に対しては、値 5 が用いられる。

減速方程式を解くときの為に、燃料セルを 2 つの領域に分けて考える（Fig. 4.1 参照）。第 1 の領域は指標 0 で示される吸収体で、1 つの吸収物質（指標 0）と 2 つの減速物質（指標 : m1, m2）を持っている。第 2 の領域は指標 1 で示され、一般には減速体である。今、吸収体内の全すべての減速物質の散乱断面積は吸収原子 1 ケ当たりに換算する。すなわち、

$$\sigma_{mi} = \frac{N_i \sigma_{m,i}^s}{N_0} \quad (4.17)$$

ここで、 N は原子数密度 (10^{24} atoms/cc) を示す。

非均質セル体系を考えると、吸収体の衝突密度 $F_0(u)$ 、および減速体の衝突密度 $F_1(u)$ は、次の Nordheim の積分型減速方程式を解いて得られる：

$$F_0(u) = (1 - P_0) \left[\frac{1}{\alpha'_0} \int_{u-\Delta_0}^u F_0(u') \frac{\sigma_{so}}{\sigma_{t0}} du' + \frac{1}{\alpha'_{m1}} \int_{u-\Delta_{m1}}^u F_0(u') \frac{\sigma_{m1}}{\sigma_{t0}} du' \right. \\ \left. + \frac{1}{\alpha'_{m2}} \int_{u-\Delta_{m2}}^u F_0(u') \frac{\sigma_{m2}}{\sigma_{t0}} du' \right] + \frac{P_1}{\alpha'_{m3}} \int_{u-\Delta_{m3}}^u F_1(u') \frac{\sigma_{m3}}{\sigma_{t1}} du' \quad (4.18)$$

ここで

$$\alpha' = 4 A / (A + 1)^2 \quad (4.19)$$

$$\Delta = \ln (1 / (1 - \alpha')) \quad (4.20)$$

ここで、 P_0 は吸収体から減速体へ中性子が逃げる確率、 P_1 は減速体から吸収体へ中性子が逃げる確率を示し、 P_1 は一般に次の相反定理によって P_0 から求められる。

$$P_1 = \frac{\Sigma_{t,0} V_0}{\Sigma_{t,1} V_1} P_0 \quad (4.21)$$

GGO-4では、 P_0 は、各々のセル体系（板状、円柱状、球状）に対する Case^{*1} の式のテーブル化したものから求められる。また、格子系の P_0 については、Dancoff の補正係数^{*2} が他で求められるならば、次式の Nordheim の近似式で求めてもよい。

$$P_0^a = \frac{1 - C}{1 - (1 - \frac{T}{\lambda} P_0) C} \quad (4.22)$$

ここで、 $T = 4 V_0 / S_0$ (V_0 は吸収体の体積、 S_0 はその表面積)、 $\lambda = 1 / (N_0 \sigma_{t,0})$ 。また、他で求めた P_0 を入力できるようになっている。

実際には、領域2の減速体は軽い（Aが小さい）物質なので、減速体での衝突密度は漸近（asymptotic）形が用いられる。今、減速体の吸収は無く、散乱断面積は一定と仮定し、また Rothenstein の相反定理^{*3} を用いると、

$$\frac{P_1}{\alpha'_{m3}} \int_{u-\Delta m^3}^u F_1(u') \frac{\sigma_{m3}}{\sigma_{t1}} du' = P_0 \sigma_{t0} \frac{e^u}{E_1} \quad (4.23)$$

となる。この式が(4.18)式の最後の項の代りに用いられる。

領域0の内に存在する減速物質(m_1, m_2)に対しては、厳密な Nordheim 形(4.18)式がそのまま解かれるか、または、次式の漸近(asymptotic)形が用いられる：

$$\frac{1}{\alpha'_{mk}} \int_{u-\Delta mk}^u F(u') \frac{\sigma_{mk}}{\sigma_{t0}} du' = \sigma_{mk} \frac{e^u}{E_1}, \quad k=1, 2 \quad (4.24)$$

り O_2 ような酸化燃料ならば、この漸近形で充分である。

吸収体に対しては、コード使用者が次の方法のいずれかを指定する：

1) (4.18)式の中の第1項の積分はそのまま（Nordheim 積分方程式）；

$$T_a = \frac{1}{\alpha'_0} \int_{u-\Delta 0}^u F_0(u') \frac{\sigma_{s0}}{\sigma_{t0}} du' \quad (4.25)$$

*1) 文献1)の appendix-II 参照

*2) 附録A参照

*3) 文献1)の appendix-II 参照

2) 狹共鳴 (narrow resonance, NR) 近似：

$$T_a = \sigma_{p_0} \frac{e^u}{E_1} \quad (4.26)$$

3) 狹共鳴無限大質量 (narrow resonance infinite mass, NRIM) 近似：

$$T_a = \frac{\sigma_{s_0}}{\sigma_{t_0}} F_0(u) \quad (4.27)$$

均質セルのような場合に対しては、 $P_0 = 0$ として計算される。

4.2.2 共鳴レベルの裾の補正

共鳴レベルの裾 (Wing) の寄与は、4.2.1節の寄与とは違つて数%以内と小さいので、厳密に求める必要はない。一般には、裾の寄与の共鳴積分は次式で与えられる。

$$I_{\text{wing}} = E_1 \int_{-\infty}^0 F(u') e^{-u'} \frac{\sigma_{a_0}}{\sigma_{t_0}} du' + E_1 \int_0^\infty F(u') e^{-u'} \frac{\sigma_{a_0}}{\sigma_{t_0}} du \quad (4.28)$$

ここで、 $a = \ln [E_1 / (2E_0 - E_1)]$

$$Z_1 = \frac{E_1 - E_0}{E_0} \quad (4.29)$$

$$\sigma_m = \sigma_{m1} + \sigma_{m2} \quad (\text{均質系}) \quad (4.30)$$

および

$$\sigma_m = \sigma_{m1} + \sigma_{m2} + \frac{1-C}{N_0 T} \quad (\text{非均質系}) \quad (4.31)$$

とおくと、 Z_1 の 4 つの分割に従つて次のように近似ができる。但し、 A_0 は、吸収体原子の質量である。

(1) $2/A_0 < Z_1 < 0.1$; N 近似で、

$$\beta = \frac{\sigma_{p_0} + \sigma_m}{\sigma_0} \quad (4.32)$$

$$r = \sqrt{\frac{I_n \sigma_{p_0}}{g \Gamma \sigma_0}} \quad (4.33)$$

*4) 格子間隔が充分に離れているときは $C=0$ に近いと考えられる。

とおくと、

$$I_{\text{wing}} = \frac{\sigma_0 \beta (\Gamma_\gamma + \Gamma_f)}{2 E_0 \sqrt{\beta(1+\beta) - \gamma^2}} [\pi - \tan^{-1} \frac{\beta \chi_1 + \gamma}{\sqrt{\beta(1+\beta) - \gamma^2}} - \tan^{-1} \frac{\beta \chi_1 - \gamma}{\sqrt{\beta(1+\beta) - \gamma^2}}] \quad (4.34)$$

(2) $Z_1 < 0.1$ および $Z_1 \leq 2/A_0$; N R I M 近似で

$$\beta' = \frac{\Gamma}{\Gamma_\gamma + \Gamma_f} - \frac{\sigma_m}{\sigma_0} \quad (4.35)$$

とおくと

$$I_{\text{wing}} = \frac{\beta' (\Gamma_\gamma + \Gamma_f) \sigma_0}{2 E_0 \sqrt{\beta'(1+\beta')}} [\pi - 2 \tan^{-1} \frac{\beta' \chi_1}{\sqrt{\beta'(1+\beta')}}] \quad (4.36)$$

(3) $0.1 \leq Z_1 < 4/7$

$$I_{\text{wing}} = \sigma_0 \frac{\Gamma (\Gamma_\gamma + \Gamma_f)}{4 E_0^2} [I_+ + I_-] \quad (4.37)$$

ここで、

$$I_- = \frac{1 - 3Z_1}{Z_1 \sqrt{1 - Z_1}} + \frac{3}{2} \ln \frac{1 + \sqrt{1 + Z_1}}{1 - \sqrt{1 - Z_1}} - 0.4405 \quad (4.38)$$

$$I_+ = \frac{1 + 3Z_1}{Z_1 \sqrt{1 + Z_1}} - \frac{3}{2} \ln \frac{\sqrt{1 + Z_1} + 1}{\sqrt{1 + Z_1} - 1} \quad (4.39)$$

(4) $Z_1 \geq 4/7$.

$$I_{\text{wing}} = \sigma_0 \frac{\Gamma (\Gamma_\gamma + \Gamma_f)}{4 E_0^2} \left[\frac{1 + 3Z_1}{Z_1 + \sqrt{1 + Z_1}} - \frac{3}{2} \ln \frac{\sqrt{1 + Z_1} + 1}{\sqrt{1 + Z_1} - 1} \right] \quad (4.40)$$

4.2.3 エネルギーグループ毎の共鳴断面積および実効共鳴積分

共鳴計算によって求められた断面積は、微細グループ毎の断面積にまとめられる。今、エネルギー グループ K (レザージー U_k と U_{k+1} の範囲)における共鳴吸収断面積は、

$$\sigma_a^r(K) = \frac{I_k}{U_{k+1} - U_k} \quad (4.41)$$

共鳴分裂断面積は

$$\sigma_f^r(K) = \sigma_a^r(K) \frac{\Gamma_f}{\Gamma_\gamma + \Gamma_f} \quad (4.42)$$

実効共鳴積分は一般に次式で定義される

$$I_{\text{eff}} = \frac{\int \sigma_c(E) \phi(E) dE}{\phi_R} \quad (4.43)$$

ここで、 $\phi(E)$ は共鳴領域の中性子束である。 ϕ_R は規格因子で、共鳴領域の上側境界の中性子束 $1/E$ に接続するように規格化されている：

$$\phi_R = \frac{\int_{E_R}^{E_1} \phi(E) dE}{\ln \frac{E_1}{E_R}} \quad (4.44)$$

E_R は分離共鳴領域の下側の境界で、 E_1 ($E_1 > E_R$) は、GAM領域の上側エネルギー境界 (14.9 MeV) である。

実効共鳴積分 I_{eff} は温度 T (°K) の関数であるので、次式により手計算で Doppler 係数 $\alpha(T_0)$ を求めることができる：

$$\alpha(T_0) = \left. \frac{1}{I_{\text{eff}}(T_0)} \frac{dI_{\text{eff}}}{dT} \right|_{T=T_0} \quad (4.45)$$

4.3 非分離共鳴の計算

1 KeV 以上のエネルギーになると、共鳴レベルは個々に観測できなくなる（非分離、unresolved）ので、平均化された共鳴パラメータとして取扱われる。従って統計的を取り扱いが必要となる。

4.3.1 非分離共鳴の共鳴積分

S-波の中性子のみを考えて、狭共鳴近似を適用すると、中性子束は

$$\phi(E) = \frac{\sigma_u}{E \sigma_t(E)} \quad (4.46)$$

ここで、 σ_u は吸収原子当りの実効吸収散乱断面積で、次式によって与えられる：

$$\sigma_u = \sigma_{m1} + \sigma_{m2} + \frac{1-C}{T N_0} + \sigma_{p_0} \quad (4.47)$$

ひとつの共鳴レベルに対する共鳴積分は次式で示される。

$$I_x = \int \sigma_x(E) \phi(E) dE \quad (x = \text{吸収, 分裂などを表わす}) \quad (4.48)$$

そして、

$$X = \frac{2}{\Gamma} (E - E_0) \quad (4.49)$$

$$\sigma_x(X) = \sigma_0 \frac{\Gamma_x}{\Gamma} \psi(\xi, x) \quad (4.50)$$

$$\sigma_t(X) = \sigma_a(X) + \sigma_s(X) + \sigma_u \quad (4.51)$$

ここで

$$\sigma_x = \sigma_c \text{ のときは } \Gamma_x = \Gamma_r$$

$$\sigma_x = \sigma_s \text{ のときは } \Gamma_x = \Gamma_n$$

のよう示すと、共鳴積分（例えは、捕獲吸収）は次式で示される。

$$I = \sigma_u \frac{\Gamma_r}{E_0} J(\xi, \beta) \quad (4.52)$$

ここで、

$$J(\xi, \beta) = \int_0^\infty \frac{\psi(\xi, x)}{\psi(\xi, x) + \beta} dx, \quad (4.53)$$

$$\xi = \frac{\Gamma}{\Gamma_D}, \text{ 但し, } \Gamma = \sqrt{E} - \Gamma_{no} + \Gamma_r + \Gamma_f, \quad (4.54)$$

$$\beta = \frac{\sigma_u}{\sigma_0}, \quad (4.55)$$

Γ_{no} は中性子換算巾 (reduced width) である。

ここで、共鳴レベルの中性子巾が Porter - Thomas の分布に従っていると考えると、そのときの共鳴積分は、次式のようになる。すなわち、

$$I_{uR} = \sigma_u \frac{\Gamma_r}{D} \int_{E_C}^{E_{max}} \langle J(E) \rangle \frac{dE}{E} \quad (4.56)$$

ここで

$$\langle J(E) \rangle = \frac{1}{\sqrt{2\pi G}} \int_B^\infty \frac{J(\xi, \beta) e^{-\frac{|\xi-B|}{2G}}}{\sqrt{\xi-B}} d\xi \quad (4.57)$$

$$G = \langle \Gamma_{no} \rangle \sqrt{\frac{A}{4kT}} \quad (4.58)$$

$$B = \frac{\Gamma_r + \Gamma_f}{\Gamma_n} \quad (4.59)$$

Dは、平均レベル間隔を示し、 $\langle \rangle$ はPorter-Thomas分布で平均されたことを示す。エネルギーの積分範囲(E_c , E_{max})は、全非分離共鳴領域に対してである。

4.3.2 エネルギーグループ毎の共鳴断面積

エネルギーグループKの捕獲吸収断面積は次式で与えられる。

$$\sigma_c^{u_R}(K) = \sigma_u \frac{\Gamma_r}{D(u_{k+1} - u_k)} \int_{E_k}^{E_{k+1}} \langle J(E) \rangle \frac{dE}{E} \quad (4.60)$$

尚、エネルギーグループ毎に自己遮蔽因子(self shielding factor)が用意されていれば、カード入力することもできる。

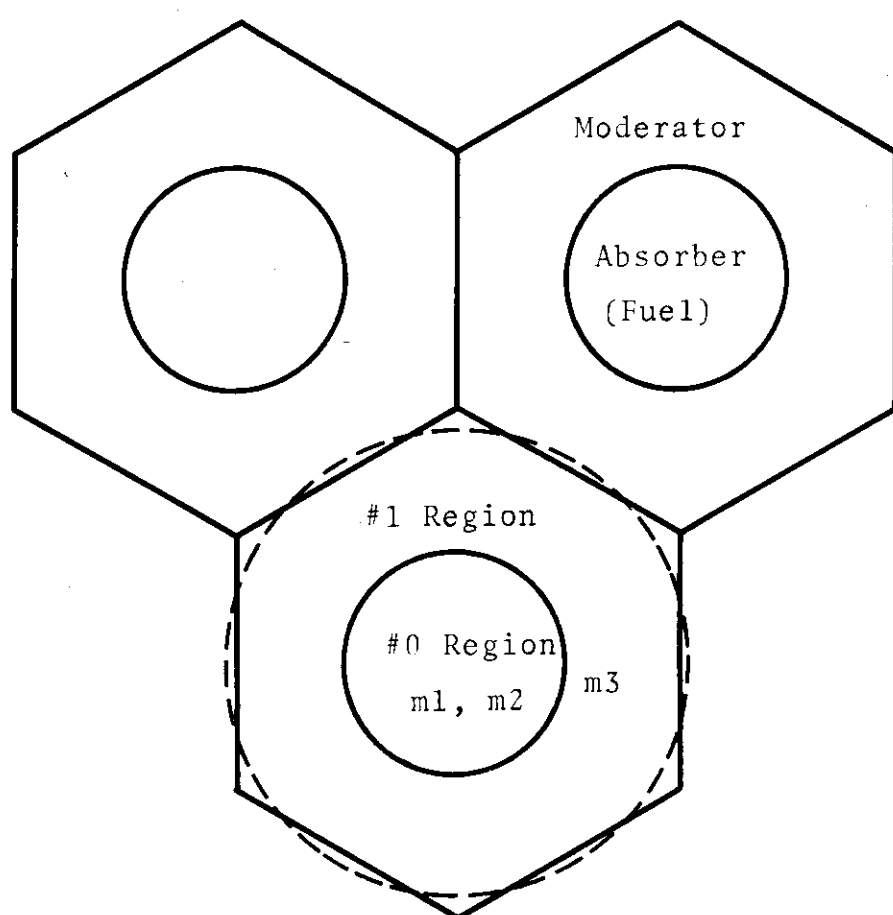


Fig. 4.1 Unit fuel cell

5 GGC-4 コードの入力

この章では、実際に GGC-4 本体を用いる際の注意事項と、入力形式およびその使用例を示す。最後にエラーメッセイジについて記す。

5.1 GAMとGATHERにおけるエネルギー構造

こゝでは、GGC-4 を使用する前に、心得ておくべき事を述べる。最初に、エネルギー構造について示し、次に、GGC の制限事項と、断面積ライブラリーを示す。

GGC-4 の GAM 領域および GATHER 領域の中では、微細エネルギーグループおよび縮約エネルギーグループが取り扱われている。

i) 微細エネルギーグループ構造

高速中性子および熱中性子の全エネルギー範囲は微細エネルギーグループ (fine groups) と呼ばれるエネルギー間隔に分割されている (Fig. 2.1 参照)。

GAM 領域では、[NEP+1] のエネルギー境界を持つ [NEP] の微細エネルギーグループに分割されている。エネルギーの高い方から数えて、これらのグループのうちで [NEP-1] は高速エネルギーとして、残りの [1] グループが、ダンプとして熱エネルギーとして取り扱われる。このエネルギー構造を持つミクロ断面積データが、Fast data tape に入っている。ダンプとしての熱エネルギーグループは、微細エネルギー境界 [GEN (すなわち, NEP)] より下の熱エネルギー範囲の全ての散乱を含んでいる。

Fast data tape には、また、GATHER 領域の微細エネルギー構造が書かれていて、熱中性子スペクトラム計算の為の中性子源を計算するのに用いられる。GAM コード内におけるエネルギー構造は Table. 5.1 に示してある。

GATHER 領域は、NRG の微細エネルギー点から成っている。NRG は、それぞれのグループの高い側のエネルギー境界の数でもある。エネルギーの低い方から数えるので最初のエネルギー点の低い側のエネルギー境界 (E_0) はゼロである。

これらの熱エネルギーグループ境界 (エネルギー点) それぞれと、それに関するエネルギーデータは、それらに対応するミクロ断面積とともに、Thermal data tape に書き込まれている。エネルギー構造については Table. 5.2 に示してある。

ii) 縮約エネルギーグループ構造

問題を解くにあたって、GGC-4 コードの使用者は、一般に GAM 領域、GATHER 領域ともに、エネルギーについての縮約をしなければならない。縮約エネルギーグループに対するそれぞれのエネルギー境界は、入力で指定される。微細エネルギーグループのミクロ断面積およびマクロ断面積が、この縮約エネルギーグループについて縮約されて、縮約されたミクロおよびマクロ断面積となる。

GAM 領域の縮約グループ数 ENBG が、縮約グループの低い側のエネルギー境界を入力することによって定められる。このエネルギー境界は、必ずしも、微細エネルギー境界と一致してなくてもよい。もし、一致していないければ、最も近い微細エネルギー境界にとつて替わる。最初の (最も高いエネルギーの) 縮約グループの高い側の境界は、最初の微細エネルギーグル

ープの高い側の境界に等しくなければならない。最後の（最も低いエネルギーの）縮約グループの低い側の境界は、最も低い微細エネルギーグループの境界（N E P番目のエネルギーグループ）を越えてはならない。99グループまでの（こゝでは、縮約しないと同じことだが）縮約グループ数が許される。

Z N B GケのG A T H E R領域の縮約グループは、縮約グループの高い側エネルギー境界を入力することによって定められる。これらのエネルギー境界は、微細エネルギー境界と一致していなければならない。最初の（一番高いエネルギーの）縮約グループの高い側の境界は、最初の微細エネルギーグループ（N R G番目のエネルギーグループ）の境界に等しくなくてもよい。Z N B G番目の縮約グループの低い側の境界は、ゼロに等しくセットされる。50グループ数までの縮約が許される。

III) 縮約1エネルギーグループ

G A M領域およびG A T H E R領域とも、それぞれ、エネルギーグループ数1に縮約されたマクロ断面積が計算される。G A M領域では、この断面積が全エネルギー範囲を縮約して、得られる。しかしながら、G A T H E R領域では、このエネルギーグループ数1に縮約される範囲の高い側、O G Eを入力によって指定しなければならない。もし、指定しきれれば、G A T H E Rの第1縮約エネルギーグループの範囲の高い側の境界に等しくとられる。このときのエネルギーグループの低い側の境界はゼロにセットされる。

IV) G A M領域とG A T H E R領域との縮約エネルギーグループにおける連結（Fig. 2.2 参照）

G A M領域およびG A T H E R領域で計算された縮約断面積は、それぞれのResults tapeに書き込まれる（Fig. 1.1参照）。C O M B O領域では、G A M領域の一番低い縮約エネルギーグループの低い側の境界と、G A T H E R領域の一番高い縮約エネルギーグループの高い側の境界とを0.005 eVの誤差範囲内で、結び付ける作業を行う。この作業が旨く行かなかった（多くは、カード入力の際の間違であるが）ときは、エラーメッセイジがプリントされ、こゝでの計算はストップする。このsectionを用いるときの縮約グループ数は、G A M領域およびG A T H E R領域両方合わせて、50を越えてはならない。

5.2 G G C - 4 の特徴と制限範囲

G A M (高速中性子) セクション

- a) 微細エネルギーグループ数は、現在99である。
- b) 縮約エネルギーグループ数は、99まで許される。ただし、C O M B Oを用いたときは、G A MおよびG A T H E R合わせて、50までしか許されない。
- c) バックリングは、正の実数でなければならない。
- d) 中性子スペクトラムは、P₁, B₁, B₂, あるいはB₃近似を用いて計算される。
- e) 6次までの空間モーメントが計算できる。その際、Fermi 年令が算出される。
- f) 一般的の、原子炉設計計算に充分な量の核種が、ライブラリーデータベースに納められている。
- g) 自己遮蔽因子は、微細エネルギーグループ、あるいは縮約エネルギーグループに対し

て入力することができる。

h) 連続ケース^{*1)}は、原理的には、いくらでも可能であるが、Results tape を用いて、COMBO (GAM と GATHER の連絡) の計算を行うときは、50 ケースを越えてはならない。

i) 中性子スペクトラムを計算する替りに、中性子束および中性子流を入力で読み込んで、これらで平均した縮約断面積を求めることもできる^{*2)}。

j) 共鳴計算では、温度を入力することによって、Doppler 吸収および Doppler 散乱が甲いられている。

k) 共鳴の取り扱いで、燃料セルの吸収体（普通は燃料棒）の中に 2 つまでの減速物質が含まれることを許す。この吸収体における吸収の取り扱い方として、狭共鳴 (narrow resonance) 近似、狭共鳴無限大質量 (narrow resonance infinite mass) 近似、あるいは共鳴領域の衝突密度を計算する Nordheim の積分型減速方程式のいずれかが用いられる。吸収体中の 2 つの減速物質に対しては、衝突密度に漸近形を用いるか、あるいは、厳密に積分型減速方程式を解くか、のいずれかが指定される。

l) 自己遮蔽因子を持つ核種に対しては、ミクロ断面積の平均のときに、自己遮蔽因子を掛けるか掛けないかの選択ができる。

m) 出力プリントには、必ず 1 グループに縮約されたマクロ断面積が書かれる。

GATHER (熱中性子) セクション

a) 微細エネルギーグループ数は、現在 101 である。

b) 緩約エネルギーグループ数は、50 まで許される。ただし、COMBO を用いたときは、GAM および GATHER 合わせて、50 までしか許されない。

c) バッククリングは、正の実数でなければならない。

d) 中性子スペクトラム計算は、 P_0 , P_1 , B_0 , あるいは B_1 近似で行われる。

e) 中性子束の時間モーメントの計算ができる。この計算は、 P_0 近似の中性子を用いて行われる。

f) 1 つの問題で、50 核種まで取扱うことができる。

g) 自己遮蔽因子は、微細エネルギーグループ、あるいは縮約エネルギーグループの断面積に適用することができる。

h) 連続ケース^{*3)}が可能である。しかし、GATHER に対する Results tape を COMBO で用いるときには、50 ケースを越えてはならない。

i) スペクトラム計算をする替りに、Maxwell スペクトラムを仮定して、あるいはスペクトラムを外から入力して、平均断面積を求めることもできる。

j) P_N 近似および B_N 近似を反復法で解くときの最初の中性子束は、次のいずれかから選ばれる。

*1) 現在の FACOM 版では、連続ケースはできない。間もなく Fortran -H が使えるので、そうしたら可能である。

*2) 拡散係数は (3.13) 式によって、入力したスペクトラムから算出される。しかし本来の物質の拡散係数は、(3.11) 又は (3.12) 式から求めなければならない。

*3) *1) 参照。

イ) Maxwell 型中性子束

ロ) 定数中性子束

ハ) 前回の問題で得られた中性子束および中性子流

ニ) カードで入力された中性子束および中性子流

ここで、イ)とロ)の場合は、 P_1 および B_1 近似に対しての中性子流は、中性子束から計算される。

カ) 中性子束および中性子流を求めるときに、正規化補外 Gauss 反復法 (Normalized extrapolated Gaussian iteration)が用いられる。このときの外挿パラメータは、入力で指定できるが、入力しないときは 1.2 ととられる。中性子束および中性子流の収束因子は、入力もできるが、入力しないときは、0.00001 が用いられる。最大反復回数も入力で指定できるが、入力しないときは、300 回が用いられる。指定された条件内で、収束しなかったならば、そのときの状況がプリントされる。しかし、旨く行っているときは、そのまま、次の問題まで進む。

丁) 自己遮蔽因子を持つ核種に対しては、ミクロ断面積の平均のときに、自己遮蔽因子を掛けるか、掛けないかの選択ができる。

ム) 縮約 1 グループのマクロ断面積が、ゼロエネルギーから、入力された上限エネルギーの範囲に対して得られる。

ン) 問題を解くときには、少くともひとつの減速物質（核種）……すなわち、散乱マトリックスを持った物質 ……が存在しなければならない。

COMBO (GAM と GATHER の連結) セクション

ア) こゝでは三つのタイプの問題が取り扱われる。縮約断面積データは、GAMのみからか、または GATHER のみから得られるか、あるいは GAM と GATHER の結果を連結することによって得られる。これら 3 つのタイプの問題が、GGC-4 の中で、別々に取り扱うことができる。

ヒ) 縮約されたミクロ断面積やマクロ断面積は、標準的な拡散計算コード^{*4)} および輸送計算コード^{*5)} の為の入力形式で、パンチカードとして出力される。

カ) ミクロ断面積データは、核種に対するものとして、カードパンチされる。

ド) GAM あるいは GATHER の問題から解いて得られた断面積データが、ひとつの問題に対して COMBO で用いられて、その後で同じデータを他の問題へ再び用いることも可能である。例えば、或る GAM の問題から得られた断面積データをいくつかの GATHER の問題から得られた断面積データと連結することができる。同様にして、或る GATHER からの断面積データを他で再び用いることもできる。

エ) GAM および GATHER の縮約エネルギーグループ数の合計は 50 を越えてはならない。

*4) GURNET (一次元拡散)¹⁵⁾ および EXTERMINATOR 2 (二次元拡散)¹⁴⁾ の入力へは変換プログラムが必要である。付録B参照。

*5) DTF-N¹²⁾ および TWO TRAN¹³⁾ の入力形式と同じであるが、両者には若干の相異がある。第 5.5.2 節参照。

f) GAM領域の一一番低い縮約エネルギーグループの低い側の境界とGATHER領域の一一番高い縮約エネルギーグループの高い側の境界は一致（その差0.005 eV以内で）していなければならない。この条件が満たされていないときは、エラーメッセイジが出て、計算は中止される。

g) 水素を除く全ての減速物質に対して、COMBOでは、GATHERの一番高い縮約エネルギーグループのみへGAMから下方散乱が入り込むように充分広いエネルギー巾を持つことを仮定している。水素に対しては、GAMからの下方散乱が、GATHERの縮約エネルギーグループの全てに亘るよう、振り分けられる（Fig. 2.2 参照）。

GAM領域の一一番低い縮約エネルギーグループは、GATHER領域からの上方散乱が、そこへ入ってこれるように充分広いエネルギー巾を持つていることを仮定している（Fig. 2.2 参照）。GAM領域への上方散乱をゼロにするかどうかは、入力で指定される。

5.3 断面積ライブラリー

マスターデータライブラリー（約200核種）^{*)}から、現存の原子炉の核計算に必要と思われる核種を選び出して、ワーキングデータテーブを作ったので、こゝに紹介しておく。

GAM用のデータテーブは、54核種からなっておりその内容はTable. 5.3に示してある。GATHER用のデータテーブは75核種からなっており、その内容はTable. 5.4に示してある。核種は、これらのデータテーブから、I.D.NUMBERを指定することによって呼び出される。

5.4 入力形式と使用例

この章の前節までにGGCコードの使用上の注意については述べてあるので、こゝでは、入力形式と使用例を記す。入力形式はTable. 5.5 Aに、GAMセクション（Fast section）、Table. 5.5 BにGATHERセクション（Thermal section）およびTable. 5.5 CにCOMBOセクション（Combining section）の順に示してあるので、エネルギー構造のテーブル（Table 5.1と5.2）や断面積ライブラリー（Table 5.3と5.4）を参照して入力カードを作成して頂きたい。

使用例は通常我々が使用すると思われる代表例を4つ掲げてある。これらのTableは例えばTable 5.6 AとTable 5.6 Bがひと組となっていて、Aが付いているのはコントロールカードを含めた入力カードのFACOMにおけるセットアップデータを示し、Bが付いているのは出力カードのリストである。出力プリントは非常に明解であるので省略したが出力カードについて説明の必要があると思われる所以次節で述べる。GGC-4の特徴は今までの節で述べてきたように、GAMセクションとGATHERセクションを別別に計算して、それぞれのResults tapeに、計算結果の群定数断面積をストアしておき、COMBOセクションで、これらのテーブから断面積を呼び込んで、再編成した後、臨界計算用の群定数セットを作

^{*)} GGAで作成した元のマスターライブラリーからZrH炉系のデータを削除したのが現在原研にあるマスター ライブラリーのようである。

ることにある。したがって、何回も使うときにはこれらの特徴を利用すれば便利なことが多いので使用例にはこのことが考慮されている。

Table 5.6 は、非炉心の例（軽水）で、GAM, GATHER, COMBOとひと息に全セクションを計算して群定数セットを求めている。Table 5.7 から Table 5.9 は炉心（JP2 2.6 %濃縮炉心）計算の例である。Table 5.7 は Table 5.6 と同様に全セクションを通して計算した例で、Table 5.8 は GATHER セクションは計算しないで、既に作成されている Results tape からのデータを用いた例で、Table 5.9 は GAM セクションを計算しないで、既に作成されている Results tape からのデータを用いた例である。これら使用例の計算時間は、Table 5.10 にまとめてある。尚、既に GAM および GATHER に対する Results tape が存在すれば COMBO セクションのみ実行して群定数セットを得ることもできる。そのときは、GAM および GATHER セクションを実行しない指定（card 1 および card 20 参照）にして、COMBO セクションのみ実行させればよい。

出力プリントの中で、GAM セクションの中で中性子分布のすぐ後に出てくる縮約グループの FISSION SOURCE は核分裂スペクトラム (χ) のことであり、中性子速度は、GAM セクション、GATHER セクション共、m/sec の単位で示されている。

5.5 出力カードと群定数セット作成上の注意

出力カードは GAMセクション, GATHERセクション, COMBOセクションの順で 6 E 1 2 5 のフォーマットで出てくる。大体, 各データにはコメントカードも付いているので, 出力プリントと合わせて眺めればデータの内容は理解できる。しかし, コメントのないものもあり, また, 群定数セットのように更に説明の要すると思われるものもある。

出力カードは, まづ GAMセクションからは, 中性子束, 中性子流, P_0 成分および P_1 成分の GATHERセクションの為の中性子源の順で, 続いて GATHERセクションからは, 中性子束, 中性子流の順で出力される。最後に, COMBOセクションからは拡散コード用群定数セット, 輸送コード用群定数セットの順に出力されるが, 若干説明を加える。

これらの群定数は, ミクロあるいはマクロ断面積でパンチ出力されるが, 拡散コードに対する形式の方が COMBO の入力の際において汎用性に富んでいる。

以下に, これら断面積セットの内容について述べるがついでにこの断面積セット作成上の注意についても述べる。説明の中で, 「card [] の word [] は COMBO セクションに対する入力パラメータであるので, 入力形式の項 (Table 5.5 C) を参照されたい。
2) 16)

5.5.1 拡散コードに対する出力断面積形式

記号の定義を次のようにしておく (σ はマクロ断面積) :

G	エネルギーグループの数 (GAM領域と GATHER領域の和)
F	GAM領域のエネルギーグループの数
$G - F$	GATHER領域のエネルギーグループの数
g	エネルギーグループの指標 ($g = 1$ が最も高いエネルギーグループ, $g = G$ が最も低いエネルギーグループ)
νg	エネルギーグループ g の中性子による核分裂放出中性子の平均数
σ_f^g	エネルギーグループ g に対する核分裂断面積
σ_c^g	エネルギーグループ g に対する捕獲吸収断面積, card 44 の word 3=0 のときは
$\sigma_c^g = \sigma_c^g(n, \gamma) + \sigma_c^g(n, \alpha) + \sigma_c^g(n, p)$	(5.1)
card 44 の word 3=1 のときは	
$\sigma_c^g = \sigma_c^g(n, \gamma)$	(5.2)
σ_{tr}^g	エネルギーグループ g に対する輸送断面積
D^g	エネルギーグループ g に対する拡散係数 = $\frac{1}{3\sigma_{tr}^g}$
$\sigma^g(n, \gamma)$	エネルギーグループ g に対する (n, γ) 断面積
$\sigma^g(n, \alpha)$	エネルギーグループ g に対する (n, α) 断面積
$\sigma^g(n, p)$	エネルギーグループ g に対する (n, p) 断面積

$\sigma_{s, \text{elastic}}^{g \rightarrow g'}$ エネルギーグループ g から g' への弾性散乱断面積

$\sigma_{s, \text{inel}}^{g \rightarrow g'}$ エネルギーグループ g から g' への非弾性散乱断面積

$\sigma_s^{g \rightarrow g'}$ エネルギーグループ g から g' への散乱断面積

$$\sigma_s^{g \rightarrow g'} = \sigma_{s, \text{elastic}}^{g \rightarrow g'} + \sigma_{s, \text{inel}}^{g \rightarrow g'}$$

$\sigma_{(n, 2n)}^{g \rightarrow g'}$ エネルギーグループ g から g' への $(n, 2n)$ 断面積

$\sigma^{g \rightarrow g'}$ エネルギーグループ g から g' への全散乱断面積

card 44 の word 3=0 のときは,

$$\sigma^{g \rightarrow g'} = \sigma_s^{g \rightarrow g'} + 2\sigma_{(n, 2n)}^{g \rightarrow g'} \quad (5.3)$$

card 44 の word 3=1 のときは

$$\sigma^{g \rightarrow g'} = \sigma_s^{g \rightarrow g'} \quad (5.4)$$

$\sigma_{\text{tot}(n, 2n)}^g$ エネルギーグループ g に対する全 $(n, 2n)$ 断面積

$$\sigma_{\text{tot}(n, 2n)}^g = \sum_{g' \neq g}^G \sigma_{(n, 2n)}^{g \rightarrow g'} \quad (5.5)$$

したがって、多群の拡散方程式は、次式で与えられるとして:

$$-\nabla D^g \nabla \phi^g + \sigma^g \phi^g - \sum_{\substack{g'=1 \\ (g' \neq g)}}^G \sigma^{g' \rightarrow g} \phi^{g'} = \frac{1}{k} \sum_{\substack{f \\ g'=1}}^G f^{g' \rightarrow g} \phi^{g'} \quad (5.6)$$

$g=1, 2, \dots, G$

このとき、 σ^g は次式で計算される:

card 44 の word 3=0 のときは,

$$\sigma^g = \sigma_c^g + \sigma_f^g + \sum_{\substack{g'=1 \\ (g' \neq g)}}^G \sigma^{g \rightarrow g'} - \sigma_{\text{tot}(n, 2n)}^g \quad (5.7)$$

card 44 の word 3=1 のときは

$$\sigma^g = \sigma_c^g + \sigma_f^g + \sigma_{(n, \alpha)}^g + \sigma_{(n, p)}^g + \sum_{\substack{q'=1 \\ (q' \neq g)}}^G \sigma^{g \rightarrow g'} - \sigma_{\text{tot}(n, 2n)}^g \quad (5.8)$$

また、 $f^{g' \rightarrow g}$ は次式で計算される

card 44 の word 3=0 のときは

$$f^{g' \rightarrow g} = \chi^g \nu^{g'} \sigma_f^{g'} \quad (5.9)$$

card 44 の word 3 = 1 のときは

$$f^{g' \rightarrow g} = \chi^{g \nu} g_f^g \sigma_{(n, 2n)}^{g' \rightarrow g} + 2 \sigma_{(n, 2n)}^{g' \rightarrow g} \quad (5.10)$$

云いかえれば、(n, 2n) 反応は、散乱マトリックスの中に取り入れるか、あるいは核分裂マトリックスの中に取り入れるかである。臨界原子炉 (k = 1) に対しては、このふたつの方法は、同じ基本モードを与える点において同等である。出力カードの断面積の内容は、Table 5.11 に示してある。この断面積形式は G A M B L E - 5 コード¹⁶⁾ の入力形式と一致している。

5.5.2 輸送コードに対する出力断面積形式^{2) 12) 13)}

記号の定義を次のようにしておく (0 はマクロ核断面積) :

G エネルギーグループの数 (GAM 領域と GATHER 領域の和)

g エネルギーグループの指標 (g = 1 が最も高いエネルギーグループ, g = G が最も低いエネルギーグループ)

NUP 上方散乱のエネルギーグループの最大数

NDOWN 下方散乱のエネルギーグループの最大数

NUP および NDOWN は、g, 1 (下に示す), 核種に対して、共通に用いられる。

σ_{tr}^g エネルギーグループ g に対する輸送断面積

σ_a^g エネルギーグループ g に対する吸収断面積

$$\sigma_a^g = \sigma_{(n, r)}^g + \sigma_{(n, \alpha)}^g + \sigma_{(n, p)}^g + \sigma_f^g \quad (5.11)$$

$\sigma_{s, \ell}^{g' \rightarrow g}$ エネルギーグループ g' から g への散乱マトリックスの展開係数 (ℓ は、ルジャンドル多項式展開係数の次数)

$$\sigma_{s, o}^{g' \rightarrow g} = \sigma_{scatter, o}^{g' \rightarrow g} + 2 \sigma_{(n, 2n)}^{g' \rightarrow g} \quad (5.12)$$

σ_{tot}^g エネルギーグループ g に対する全断面積

$$\sigma_{tot}^g = \sigma_a^g + \sum_{g'=1}^G \sigma_{s, o}^{g \rightarrow g'} - \sum_{g'=1}^G \sigma_{(n, 2n)}^{g \rightarrow g'} \quad (5.13)$$

ここで、板状形を例にとると輸送方程式は次式で与えられる:

$$\mu \frac{\partial \psi^g}{\partial x} + \sigma_{tot}^g \psi^g = S^g$$

$$S^g = \sum_{\ell=0}^L \frac{2\ell+1}{2} P_\ell(\mu) \sum_{g'=1}^G \sigma_{s, \ell}^{g' \rightarrow g} \int_{-1}^{+1} P_\ell(\mu') \psi^{g'}(x, \mu') d\mu' \quad (5.14)$$

$$+ \frac{1}{k} \chi^g \sum_{g'=1}^G \nu \sigma_f^{g'} \cdot \frac{1}{2} \int_{-1}^{+1} \psi^{g'}(x, \mu') d\mu'$$

輸送コードによつては、上方散乱断面積の取り扱いが若干異なる。一般に輸送コードでは、拡散コードと違つて散乱断面積は、自己散乱 ($\sigma_s^{g \rightarrow g}$)を中心いて、そのグループに入射していく配列になつてゐる。 $D T F - N^{(12)}$ では、上方散乱配列の前に $\sigma_{up}^{g \rightarrow g}$ を入力しなければならぬが、 $T W O T R A N^{(13)}$ では $\sigma_{up}^{g \rightarrow g}$ の入力は不要で、 $\sigma_{up}^{g \rightarrow g}$ はコード内で計算してくれる。ここで、 $\sigma_{up}^{g \rightarrow g}$ は、次式で定義されるものであるが、上方散乱が存在したときの外側収束の加速に用いられる量である：

$$\sigma_{up}^{g \rightarrow g} = \sum_{g'=1}^{g-1} \sigma_{s,o}^{g \rightarrow g'} \quad (5.15)$$

したがつて、 $D T F - N$ 型断面積が必要なときは、card 47 の word 1 に [N U P (上方散乱の数) + 1] を入力する。その結果得られた出力カードの I H T + 1 の欄に、(5.15) 式に従つて手計算なりで計算した $\sigma_{up}^{g \rightarrow g}$ をパンチしなければならない。 $D T F - N$ 型と $T W O T R A N$ 型の相違を Fig. 5.1 に図示してある。

尚、出力カードの断面積の内容は、Table 5.1.2 に示してある。

5.6 フローチャートの概要とエラーメッセイジ⁽²⁾

我々の経験では、GGC-4コードで現われてくるエラーメッセイジは非常にわかりやすかつたので、エラーメッセイジのTableは参照せずに済んだが、参考の為に、Fig. 5.2にフローチャートの概要をTable 5.1.3にエラーメッセイジ表を付けておいたので参照されたい。

Table 5.1 Fine energy-group structure for GAM code

FINE GROUP STRUCTURE

GROUP	ENERGY INTERVAL (E.V.)	LETHARGY INTERVAL	MID-POINT ENERGY
1	1.491825E 07 TC 1.349859E 07	-4.00000E-01 TO -3.00000E-01	1.420842E 07
2	1.349859E 07 TO 1.221403E 07	-3.00000E-01 TO -2.00000E-01	1.285631E 07
3	1.221403E 07 TO 1.105171E 07	-2.00000E-01 TO -1.00000E-01	1.163287E 07
4	1.105171E 07 TO 1.000000E 07	-1.00000E-01 TO 0.0	1.052585E 07
5	1.000000E 07 TO 9.048374E 06	0.0 TO 1.00000E-01	9.524187E 06
6	9.048374E 06 TO 8.187307E 06	1.00000E-01 TO 2.00000E-01	8.617841E 06
7	8.187307E 06 TO 7.408182E 06	2.00000E-01 TO 3.00000E-01	7.797745E 06
8	7.408182E 06 TO 6.703200E 06	3.00000E-01 TO 4.00000E-01	7.055691E 06
9	6.703200E 06 TO 6.065307E 06	4.00000E-01 TO 5.00000E-01	6.384253E 06
10	6.065307E 06 TO 5.488116E 06	5.00000E-01 TO 6.00000E-01	5.776711E 06
11	5.488116E 06 TO 4.965853E 06	6.00000E-01 TO 7.00000E-01	5.226985E 06
12	4.965853E 06 TO 4.493290E 06	7.00000E-01 TO 8.00000E-01	4.729571E 06
13	4.493290E 06 TO 4.065697E 06	8.00000E-01 TO 9.00000E-01	4.279493E 06
14	4.065697E 06 TO 3.678795E 06	9.00000E-01 TO 1.00000E 00	3.872246E 06
15	3.678795E 06 TO 3.328711E 06	1.00000E 00 TO 1.10000E 00	3.503753E 06
16	3.328711E 06 TO 3.011942E 06	1.10000E 00 TO 1.20000E 00	3.170327E 06
17	3.011942E 06 TO 2.725318E 06	1.20000E 00 TO 1.30000E 00	2.868630E 06
18	2.725318E 06 TO 2.465970E 06	1.30000E 00 TO 1.40000E 00	2.595644E 06
19	2.465970E 06 TO 2.231302E 06	1.40000E 00 TO 1.50000E 00	2.348636E 06
20	2.231302E 06 TO 2.018965E 06	1.50000E 00 TO 1.60000E 00	2.125133E 06
21	2.018965E 06 TO 1.826835E 06	1.60000E 00 TO 1.70000E 00	1.922900E 06
22	1.826835E 06 TO 1.652989E 06	1.70000E 00 TO 1.80000E 00	1.739912E 06
23	1.652989E 06 TO 1.445686E 06	1.80000E 00 TO 1.90000E 00	1.574338E 06
24	1.445686E 06 TO 1.353353E 06	1.90000E 00 TO 2.00000E 00	1.424520E 06
25	1.353353E 06 TO 1.224564E 06	2.00000E 00 TO 2.10000E 00	1.288959E 06
26	1.224564E 06 TO 1.108032E 06	2.10000E 00 TO 2.20000E 00	1.166298E 06
27	1.108032E 06 TO 1.002589E 06	2.20000E 00 TO 2.30000E 00	1.055310E 06
28	1.002589E 06 TO 9.071796E 05	2.30000E 00 TO 2.40000E 00	9.548841E 05
29	9.071796E 05 TO 8.208501E 05	2.40000E 00 TO 2.50000E 00	8.640149E 05
30	8.208501E 05 TO 7.427359E 05	2.50000E 00 TO 2.60000E 00	7.817930E 05
31	7.427359E 05 TO 6.720552E 05	2.60000E 00 TO 2.70000E 00	7.073955E 05
32	6.720552E 05 TO 6.081007E 05	2.70000E 00 TO 2.80000E 00	6.400780E 05
33	6.081007E 05 TO 5.502323E 05	2.80000E 00 TO 2.90000E 00	5.791665E 05
34	5.502323E 05 TO 4.978708E 05	2.90000E 00 TO 3.00000E 00	5.240515E 05
35	4.978708E 05 TO 4.504921E 05	3.00000E 00 TO 3.10000E 00	4.741814E 05
36	4.504921E 05 TO 4.076221E 05	3.10000E 00 TO 3.20000E 00	4.290571E 05
37	4.076221E 05 TO 3.688317E 05	3.20000E 00 TO 3.30000E 00	3.882269E 05
38	3.688317E 05 TO 3.337327E 05	3.30000E 00 TO 3.40000E 00	3.512822E 05
39	3.337327E 05 TO 3.019739E 05	3.40000E 00 TO 3.50000E 00	3.178533E 05
40	3.019739E 05 TO 2.732373E 05	3.50000E 00 TO 3.60000E 00	2.876056E 05
41	2.732373E 05 TO 2.472353E 05	3.60000E 00 TO 3.70000E 00	2.602363E 05
42	2.472353E 05 TO 2.237078E 05	3.70000E 00 TO 3.80000E 00	2.354715E 05
43	2.237078E 05 TO 2.024192E 05	3.80000E 00 TO 3.90000E 00	2.130635E 05
44	2.024192E 05 TO 1.831564E 05	3.90000E 00 TO 4.00000E 00	1.927878E 05
45	1.831564E 05 TO 1.657268E 05	4.00000E 00 TO 4.10000E 00	1.744416E 05
46	1.657268E 05 TO 1.499558E 05	4.10000E 00 TO 4.20000E 00	1.578413E 05
47	1.499558E 05 TO 1.356856E 05	4.20000E 00 TO 4.30000E 00	1.428207E 05
48	1.356856E 05 TO 1.227734E 05	4.30000E 00 TO 4.40000E 00	1.292295E 05
49	1.227734E 05 TO 1.110900E 05	4.40000E 00 TO 4.50000E 00	1.169317E 05
50	1.110900E 05 TO 8.651698E 04	4.50000E 00 TO 4.75000E 00	9.880349E 04

Table 5.1 (Continued)

FINE GROUP STRUCTURE

GROUP	ENERGY INTERVAL (E.V.)	LETHARGY INTERVAL	MID-POINT ENERGY
51	8.651698E 04 TO 6.737949E 04	4.75000E 00 TO 5.00000E 00	7.694824E 04
52	6.737949E 04 TO 5.247520E 04	5.00000E 00 TO 5.25000E 00	5.992735E 04
53	5.247520E 04 TO 4.086773E 04	5.25000E 00 TO 5.50000E 00	4.667147E 04
54	4.086773E 04 TO 3.182782E 04	5.50000E 00 TO 5.75000E 00	3.634777E 04
55	3.182782E 04 TO 2.478753E 04	5.75000E 00 TO 6.00000E 00	2.830768E 04
56	2.478753E 04 TO 1.930455E 04	6.00000E 00 TO 6.25000E 00	2.204604E 04
57	1.930455E 04 TO 1.503440E 04	6.25000E 00 TO 6.50000E 00	1.716947E 04
58	1.503440E 04 TO 1.170880E 04	6.50000E 00 TO 6.75000E 00	1.337160E 04
59	1.170880E 04 TO 9.118823E 03	6.75000E 00 TO 7.00000E 00	1.041381E 04
60	9.118823E 03 TO 7.101746E 03	7.00000E 00 TO 7.25000E 00	8.110285E 03
61	7.101746E 03 TO 5.530846E 03	7.25000E 00 TO 7.50000E 00	6.316296E 03
62	5.530846E 03 TO 4.307427E 03	7.50000E 00 TO 7.75000E 00	4.919136E 03
63	4.307427E 03 TO 3.354627E 03	7.75000E 00 TO 8.00000E 00	3.831027E 03
64	3.354627E 03 TO 2.612586E 03	8.00000E 00 TO 8.25000E 00	2.983607E 03
65	2.612586E 03 TO 2.034684E 03	8.25000E 00 TO 8.50000E 00	2.323635E 03
66	2.034684E 03 TO 1.584614E 03	8.50000E 00 TO 8.75000E 00	1.809649E 03
67	1.584614E 03 TO 1.234098E 03	8.75000E 00 TO 9.00000E 00	1.409356E 03
68	1.234098E 03 TO 9.611169E 02	9.00000E 00 TO 9.25000E 00	1.097608E 03
69	9.611169E 02 TO 7.485186E 02	9.25000E 00 TO 9.50000E 00	8.548177E 02
70	7.485186E 02 TO 5.829468E 02	9.50000E 00 TO 9.75000E 00	6.657327E 02
71	5.829468E 02 TO 4.539995E 02	9.75000E 00 TO 1.00000E 01	5.184731E 02
72	4.539995E 02 TO 3.535751E 02	1.00000E 01 TO 1.02500E 01	4.037873E 02
73	3.535751E 02 TO 2.753646E 02	1.02500E 01 TO 1.05000E 01	3.144699E 02
74	2.753646E 02 TO 2.144542E 02	1.05000E 01 TO 1.07500E 01	2.449094E 02
75	2.144542E 02 TO 1.670171E 02	1.07500E 01 TO 1.10000E 01	1.907356E 02
76	1.670171E 02 TO 1.300730E 02	1.10000E 01 TO 1.12500E 01	1.485450E 02
77	1.300730E 02 TO 1.013010E 02	1.12500E 01 TO 1.15000E 01	1.156870E 02
78	1.013010E 02 TO 7.889328E 01	1.15000E 01 TO 1.17500E 01	9.009712E 01
79	7.889328E 01 TO 6.144215E 01	1.17500E 01 TO 1.20000E 01	7.016771E 01
80	6.144215E 01 TO 4.785119E 01	1.20000E 01 TO 1.22500E 01	5.464667E 01
81	4.785119E 01 TO 3.726655E 01	1.22500E 01 TO 1.25000E 01	4.255887E 01
82	3.726655E 01 TO 2.902321E 01	1.25000E 01 TO 1.27500E 01	3.314488E 01
83	2.902321E 01 TO 2.260330E 01	1.27500E 01 TO 1.30000E 01	2.581326E 01
84	2.260330E 01 TO 1.760347E 01	1.30000E 01 TO 1.32500E 01	2.010339E 01
85	1.760347E 01 TO 1.370960E 01	1.32500E 01 TO 1.35000E 01	1.565653E 01
86	1.370960E 01 TO 1.067704E 01	1.35000E 01 TO 1.37500E 01	1.219332E 01
87	1.067704E 01 TO 8.315290E 00	1.37500E 01 TO 1.40000E 01	9.496167E 00
88	8.315290E 00 TO 6.475955E 00	1.40000E 01 TO 1.42500E 01	7.395622E 00
89	6.475955E 00 TO 5.043478E 00	1.42500E 01 TO 1.45000E 01	5.759717E 00
90	5.043478E 00 TO 3.927865E 00	1.45000E 01 TO 1.47500E 01	4.485672E 00
91	3.927865E 00 TO 3.059024E 00	1.47500E 01 TO 1.50000E 01	3.493445E 00
92	3.059024E 00 TO 2.382371E 00	1.50000E 01 TO 1.52500E 01	2.720697E 00
93	2.382371E 00 TO 1.855392E 00	1.52500E 01 TO 1.55000E 01	2.118881E 00
94	1.855392E 00 TO 1.444981E 00	1.55000E 01 TO 1.57500E 01	1.650186E 00
95	1.444981E 00 TO 1.125352E 00	1.57500E 01 TO 1.60000E 01	1.285166E 00
96	1.125352E 00 TO 8.764252E-01	1.60000E 01 TO 1.62500E 01	1.000889E 00
97	8.764252E-01 TO 6.825607E-01	1.62500E 01 TO 1.65000E 01	7.794930E-01
98	6.825607E-01 TO 5.315788E-01	1.65000E 01 TO 1.67500E 01	6.070697E-01
99	5.315788E-01 TO 4.139940E-01	1.67500E 01 TO 1.70000E 01	4.727864E-01

Table 5.2 Fine energy-group structure for GATHER code

DATA TAPE LABEL IS = NEW THERMAL SHORT TAPE JAN.15 1975

NUMBER OF NUCLIDES = 15

NUMBER OF ENERGY POINTS= 101

POINT	ENERGY-EV	POINT	ENERGY-EV	POINT	ENERGY-EV
1	0.0010	4	0.0020	3	0.0040
4	0.0050	5	0.0070	6	0.0080
7	0.0100	8	0.0150	9	0.0200
10	0.0253	11	0.0300	12	0.0400
13	0.0500	14	0.0600	15	0.0650
16	0.0700	17	0.0750	18	0.0800
19	0.0950	20	0.0900	21	0.0950
22	0.1000	23	0.1200	24	0.1400
25	0.1600	26	0.1800	27	0.2000
28	0.2400	29	0.2300	30	0.2400
31	0.2500	32	0.2600	33	0.2700
34	0.2800	35	0.2900	36	0.3000
37	0.3100	38	0.3200	39	0.3300
40	0.3400	41	0.3500	42	0.3600
43	0.3600	44	0.4140	45	0.4200
46	0.4200	47	0.4500	48	0.4600
49	0.4700	50	0.4750	51	0.4800
52	0.4900	53	0.5000	54	0.5320
55	0.5500	56	0.5750	57	0.5400
58	0.6000	59	0.6250	60	0.6500
61	0.6830	62	0.7000	63	0.7500
64	0.8000	65	0.8500	66	0.8760
67	0.8900	68	0.9100	69	0.9300
70	0.9500	71	0.9700	72	0.9800
73	0.9900	74	1.0000	75	1.0250
76	1.0500	77	1.0600	78	1.0700
79	1.0800	80	1.0900	81	1.1100
82	1.1250	83	1.1300	84	1.1500
85	1.2000	86	1.2500	87	1.3000
88	1.3500	89	1.4400	90	1.5000
91	1.6000	92	1.7000	93	1.7800
94	1.8600	95	1.9000	96	2.0000
97	2.1000	98	2.2000	99	2.2900
100	2.3300	101	2.3800		

Table 5.3 Working data tape for GAM code

GGC-4 FAST TAPE CONTAINS
 I.D. NUMBER= 1973
 NUMBER OF FAST ENERGY BOUNDARIES= 100
 NUMBER OF THERMAL ENERGY POINTS = 101

TAPE DESCRIPTION
 NEW 1973
 FAST
 SHORT
 TAPE NO. 1973
 NOV. 21 1973
 NUMBER OF NUCLIDES ON THIS TAPE = 54

NUMBER OF NUCLIDES = 54

NUCLEIDE I.D. NUMBER NUCLEIDE DESCRIPTION

49,00000	INDIUM	49
50,00000	TIN	50
54,13500	XENON	135
54,61800	SUS 304	FROM AGN TM-407
54,65800	SUS 321	FROM AGN TM-407
54,68400	SUS 347	FROM AGN TM-407
55,28900	SUS 316	FROM AGN TM-407
58,46100	INCONEL	FROM AGN TM-407
58,62700	HASTELLOY-X	FROM AGN TM-407
59,13200	INCONEX-X	FROM AGN TM-407
62,14900	SAMARIUM	149
64,00000	GADOLINIUM	NATURAL
72,00000	HAFNIUM	NATURAL DECEMBER 1966
73,00000	TANTALUM	NATURAL APRIL 1966
74,00000	TUNGSTEN	GA-5885
90,23200	THORIUM	232 EVAL APRIL 1965
91,23300	PROTACTINIUM	233 FEBRUARY 1965
91,33690	ZRY-4	FROM JAERI-M 4881
91,34960	ZRY-2	FROM JAERI-M 4881
92,23330	URANIUM	235 GA BEST FIT FEB 1965
92,23500	URANIUM	235 NASA REPORT
92,23800	URANIUM	238 NASA REPORT JAN 1965
92,23810	URANIUM	238 RESONANCE NASA REPORT JAN 1965
94,23900	PLUTONIUM	239 GA 6576
94,24000	PLUTONIUM	240 GA 6576

JAERI-M 5991

Table 5.3 (Continued)

NUMBER OF NUCLIDES = 54

NUCLIDE I.D. NUMBER	NUCLIDE DESCRIPTION
------------------------	------------------------

1.000000	HYDROGEN
1.200000	DEUTERIUM
3.000000	LITHIUM
4.000000	BERYLLIUM GA-5905
5.000000	BORON NATURAL
5.010000	BORON 10
6.000000	CARBON
8.000000	OXYGEN
11.000000	SODIUM
13.000000	ALUMINUM GA-5884
14.000000	SILICON
15.000000	PHOSPHORUS
16.000000	SULFUR
22.000000	TITANIUM
24.000000	CHROMIUM
25.000000	MANGANESE
26.000000	IRON
27.000000	COBALT
28.000000	NICKEL
29.000000	COPPER
40.000000	ZIRCONIUM
41.09300	NIOBIUM EVAL APRIL 1965
42.000000	MOLYBDENUM
47.000000	SILVER
48.000000	CADMIUM

NUMBER OF NUCLIDES = 54

NUCLIDE I.D. NUMBER	NUCLIDE DESCRIPTION
------------------------	------------------------

94.24010	PLUTONIUM 240 RESONANCE GA 6576
94.24100	PLUTONIUM 241 GA 6576
94.24120	PLUTONIUM 241 ENDF/B DATA JANUARY 1967
94.24200	PLUTONIUM 242 GA 6576

***** TAPE LISTING COMPLETED

* END OF FORTRAN *

Table 5.4 Working data tape for GATHER code

DATA TAPE LABEL = NEW THERMAL SHURT TAPE JAN.15 1975
 NUMBER OF NUCLIDES = 75

NUCLIDE I.D. NUMBER	NUCLIDE DESCRIPTION
1.003021	HYDROGEN IN H ₂ O 300K(27C)P0+P1 GAKER TO 2.38EV BOUND SOURCE 1/V(.332B)
1.003030	HYDROGEN IN POLYETHYLENE 300K P0+P1 SUMMIT(TO 1EV)+GAS(1267.15K) 1/V
1.003041	HYDROGEN IN ZRH 300K GAKER + GAS+ BOUND SOURCE, 1/V (.332 B)
1.003421	HYDROGEN IN H ₂ O 343K(70C)P0+P1 GAKER TO 2.38EV BOUND SOURCE 1/V(.332B)
1.003721	HYDROGEN IN H ₂ O 373K(100C)P0+P1 GAKER TO 2.38EV BOUND SOURCE 1/V(.332B)
1.004721	HYDROGEN IN H ₂ O 473K(200C)P0+P1 GAKER TO 2.38EV BOUND SOURCE 1/V(.332B)
1.005821	HYDROGEN IN H ₂ O 583K(310C)P0+P1 GAKER TO 2.38EV BOUND SOURCE 1/V(.332B)
1.005920	HYDROGEN IN H ₂ O 589K (600F) P0+P1 GAKER(TO 1EV)+GAS(1269.37K)1/V(.332B)
1.012010	HYDROGEN 1200K P0+P1 GAS KERNEL (1/V SIGMA0=.332B)
1.203020	DEUTERIUM IN D ₂ O 300K P0+P1 GAKER(TO 1EV)+GAS(389.19K),1/V(.46MB)012963
3.000000	LITHIUM (NATURAL)
4.003010	BERYLLIUM 300K P0+P1 GAS KERNEL (1/V SIGMA0=10 MB)
4.003020	BERYLLIUM (METAL) 300K (27C) P0 + P1 SUMMIT TO 2.38EV, 1/V (10 MB)
4.012010	BERYLLIUM 1200K P0 + P1 GAS KERNEL 1/V (SIGMA0=.01 B)
5.000000	BORON (NATURAL) 1/V (759.3 B), CONST SCAT (4.0 B)
5.010000	BORON - 10 1/V (3835.0 B), CONST SCAT (4.0 B)
6.003020	CARBON 300K P0 + P1 SUMMIT(TO 1EV) + GAS(739.32K), 1/V (3.88MB)
6.004020	CARBON 400K P0 + P1 SUMMIT(TO 1EV) + GAS(779.29K), 1/V (3.88 MB)
6.006020	CARBON 600K P0 + P1 SUMMIT(TO 1EV) + GAS(890.98K), 1/V (3.88MB)
6.009020	CARBON 900K P0 + P1 SUMMIT(TO 1EV) + GAS(1110.51K), 1/V(3.88MB)
6.012020	CARBON 1200K P0 + P1 SUMMIT(TO 1EV) + GAS(1363.14K), 1/V(3.88MB)
6.015000	CARBON 1500K P0 + P1 GAS KERNEL, 1/V ABSORPTION (SIGMA0=3.88MB)
6.018000	CARBON 1800K P0 + P1 GAS KERNEL, 1/V ABSORPTION (SIGMA0=3.88MB)
8.003010	OXYGEN 300K P0+P1 GAS KERNEL
8.005890	OXYGEN 589K P0+P1 GAS KERNEL (600F)

Table 5.4 (Continued)

DATA TAPE LABEL = NEW THERMAL SHUNT TAPE JAN.15 1975
 NUMBER OF NUCLIDES = 75

NUCLIDE I.D. NUMBER	NUCLIDE DESCRIPTION					
6.01201V	OXYGEN 120VK PU+P1 GAS KERNEL					
11.00000	SODIUM	1/v (.525 B), CONST SCAT (4.0 B)				
12.00000	MAGNESIUM	1/v (.069 B), CONST SCAT (3.6 B)				
13.00000	ALUMINUM	1/v (.233 n), CONST SCAT(1.41B) GA 2884 12-64				
14.00000	SILICON	1/v (.16 B), CONST SCAT (1.7 B)				
15.00000	PHOSPHORUS	1/v (.2 B), CONST SCAT (5.0 B)				
16.00000	SULFUR	1/v (.52 B), CONST SCAT (1.1 B)				
22.00000	TITANIUM	1/v (5.8 B), CONST SCAT (4.0 B)				
24.00000	CHROMIUM	1/v (3.1 B), CONST SCAT (3.0 B)				
25.00000	MANGANESE (NATURAL)	1/v (13.2 B), CONST SCAT (2.3 B)				
26.00000	IRON (NATURAL)	1/v (2.62 B), CONST SCAT (11.0 B)				
27.00000	COBALT (NATURAL)	1/v (38.0 B), CONST SCAT (7.0 B)				
28.00000	NICKEL (NATURAL)	1/v (4.6 B), CONST SCAT (17.5 B)				
29.00000	COPPER (NATURAL)	1/v (3.65 B), CONST SCAT (7.2 B)				
40.00000	ZIRCONIUM (NATURAL)	1/v (.185 B), CONST SCAT (8.0 B)				
41.09300	NIOBIUM-93 (NATURAL)					
42.00000	MOLYBDENUM (NATURAL)	1/v (2.7 B), CONST SCAT (7.0 B)				
47.10900	SILVER-109	BASED ON BNL 325 RES PAR				
48.00000	CADMIUM (NATURAL)					
49.00000	INDIUM (NATURAL)					
50.00000	TIN (NATURAL)	1/v (.625 B), CONST SCAT (4.0 B)				
54.13500 (1R)	XENON-135	BASED ON NUREM. (2.72+06 B) DOP BROAD OF .084 EV RES				
54.61800	SUS 304	FROM AGN TM-407				
54.65800	SUS 321	FROM AGN TM-407				
54.66400	SUS 347	FROM AGN TM-407				

Table 5.4 (Continued)

DATA TAPE LABEL = NEW THERMAL SHUNT TAPE JAN. 15 1975
 NUMBER OF NUCLIDES = 75

NUCLIDE I.D. NUMBER	NUCLIDE DESCRIPTION
55.26900	SUS 316 FROM AGN TM-407
58.46100	INCONEL FROM AGN TM-407
58.62700	HASTELLOY-X FROM AGN TM-407
59.13200	INCONEL-X FROM AGN TM-407
62.14900 (10H)	SAMARIUM-149 BASED ON GA-2112 RES. PAR. + BNL 325
64.00000	GADOLINIUM NATURAL OCTOBER 1965
72.00000	HAFNIUM (NATURAL) BASED ON BNL 325 AND
73.00000	TANTALUM NATURAL APRIL 1966
74.00000	TUNGSTEN (NATURAL) GA-5885 12-64
90.20200	THORIUM-232
91.20300	PA233 DOR F D SIMPSON FLASH 1048 SEARCH FOR NEW E LEVEL
91.33690	ZRY-6 FROM JAERI-M 4881
91.34960	ZRY-2 FROM JAERI-M 4881
92.20300	URANIUM - 233 (12-20-62)
92.23330	URANIUM 233 BEST FIT THROUGH DIFFERENTIAL MEASUREMENTS OCT 64
92.23500	URANIUM 235 NASA REPORT DEC 1964
92.23800	URANIUM 238 NASA REPORT JANUARY 1965
94.20900	PLUTONIUM-239 GA 6576
94.24000 (2R)	PLUTONIUM-240 GA 6576
94.24100	PLUTONIUM-241 GA 6576
94.24120	PLUTONIUM 241 ENDFB DATA JANUARY 1967
94.24200 (2R)	PLUTONIUM-242 GA 6576
201.00000	HASTELLOY-X (MACROSCOPIC) BASED ON MGCR-RP-310 (#11/61)
202.00000	STAINLESS-STEEL (WEST) 1/V(3.198), CONST SCAT(10B), MUBAR=.0119
203.00000	STAINLESS STEEL TYPE 347 (MACRO) (ARCH)

JAERI-M 5991

Table 5.5A GGC-4 input for GAM section

WORD	1	2					Note:
COLUMN	1-12	13-24					
FORMAT	Integer	Integer					
CARD	Is a FAST problem (or series) to be run? 0 = No N = Yes (No. of 1st prob. added to results tape)	Will a previously written <u>FAST results tape</u> be used? 0 = No 1 = Yes					Value of N(word 1); If making new tape (i.e., word 2 = 0), then N = 1. If adding to tape (i.e., word 2 = 1), N = number of 1st problem to be added to tape (one more than number of previous problem being saved.)
SYMBOL	MGAM	MUSE					

Omit cards 2 through 19 if no FAST problems being run and no FAST results tape being mounted (i.e., words 1 and 2, card 1 = 0).

WORD	1						
COLUMN	1-12						
FORMAT	Alphanumeric						
CARD	Label for FAST <u>results tape</u> . (IF MUSE = 1, this must match label on tape mounted.)						
SYMBOL	ABEL(I), I=1, 3						

Omit cards 3 through 19 if no FAST problems being run (i.e., word 1, card 1 = 0)

WORD	1	2					
COLUMN	1-12	13-24					
FORMAT	Decimal	Decimal					
CARD	Identification number of <u>FAST data tape</u> .	Print list of nuclides on <u>FAST data tape</u> . 0. = No 1. = Yes					
SYMBOL	FNBT	FPL					

WORD	1-6						
COLUMN	1-72						
FORMAT	Alphanumeric						
CARD	FAST Problem Description						
SYMBOL	AW(I), I=1, 18						

Table 5.5A (Continued)

WORD	1	2	3	4	5	6	Note:
COLUMN	1-12	13-24	25-36	37-48	49-60	61-72	
FORMAT	Decimal	Decimal		Decimal	Decimal	Decimal	
CARD 5	Number of nuclides in this problem	Number of broad groups (≤ 99) If the COMBINING section is used, the total number of broad groups is limited by 50.		Type of B calculation: 0. = None 1. = B-1 2. = B-2 3. = B-3 (must be zero if P-1 calculation is specified)	Perform P-1 calculation? 0. = No 1. = Yes (must be 0. if B calculation is specified)	Read in spectrum? 0. = No 1. = read fluxes only 2. = read fluxes and currents	If spectrum input (word 6 \neq 0.), no B or P calculation will be performed and words 4 and 5 must be 0.
SYMBOL	FNUK	FNBG		BTY	PTY	RIS	

WORD	1	2	3	4	5	6	
COLUMN	1-12	13-24	25-36	37-48	49-60	61-72	
FORMAT	Decimal	Decimal	Decimal	Decimal	Decimal	Decimal	
CARD 6	Spatial moments calculations desired: 0. = None 1. = up to 2nd moment 2. = up to 6th moment	Fission spectrum desired: 0. = Unit Source 1. = U233 2. = U235 3. = Pu239 4. = Pu-241 5. = Cf-252	Fine group in which unit source occurs (if word 2=0.)	Calculate and punch source terms for THERMAL problem? 0. = No 1. = Yes	Definition of microscopic transport cross section: 1.0 = Def. 1 2.0 = Def. 2 (1,3) & (3,4) in report	Punch fluxes and currents? 0. = No 1. = Yes	
SYMBOL	TTYP	STYP	SGP	CSQ	DTUM(3)	DTUM(4)	

WORD	1	2	3	4	5	6	
COLUMN	1-12	13-24	25-36	37-48	49-60	61-72	
FORMAT	Decimal	Decimal	Decimal	Decimal	Decimal	Decimal	
CARD 7	Lower energy boundary of 1st broad group	Lower energy boundary of 2nd broad group	Lower energy boundary of 3rd broad group	etc.	etc.	etc.	
SYMBOL	GEN(2) >	GEN(3) >	GEN(4) >	etc.	etc.	etc.	

If fluxes input (card 5, word 6 = 1.0), cards 8 and 9 are required.

Note: For fluxes and current input (card 5, word 6 = 2.0), skip cards 8 and 9. (Cards 15D and 15E are required).

WORD	1	2	3	4	5	6	Note
COLUMN	1-12	13-24	25-36	37-48	49-60	61-72	
FORMAT	Decimal	Decimal	Decimal	Decimal	Decimal	Decimal	
CARD 8	Flux for fine group 1	Flux for fine group 2	Flux for fine group 3	etc.	etc.	etc.	Input flux value for each fine group.
SYMBOL	PHI(1)	PHI(2)	PHI(3)	etc.	etc.	etc.	

Table 5.5A (Continued)

Input card 9 if fluxes input (card 5, word 6 = 1.0 and card 8 is included)

WORD	1						
COLUMN	1-12						
FORMAT	Decimal						
CARD	Fission spectrum coefficient, a						
9							
SYMBOL	SPECA						

WORD	1						
COLUMN	1-12						
FORMAT	Decimal						
CARD	B^2 Buckling term may be positive negative or zero						
10							
SYMBOL	WAVE						

Repeat cards 11 through 15C for each nuclide.

WORD	1	2	3	4	5	6	
COLUMN	1-12	13-24	25-36	37-48	49-60	61-72	
FORMAT	Decimal	Decimal	Decimal	Decimal	Decimal	Decimal	
CARD	Nuclide identification number (on FAST data tape)	Atomic density of nuclide	Resonance calculation? 0. = No 1. = Yes 2. = Yes, and input collision probability tables	Does nuclide have self-shielding factors? 0. = No 1. = Yes	Group structure for self-shielding factors: 0. = broad groups 1. = fine groups	Apply self-shielding to microscopic, broad-group-averaged cross sections? 0. = No 1. = Yes	
11							
SYMBOL	TID	ADEN	REZ	SELES	A16	A17	

If self-shielding factors input (card 11, word 4 = 1.0), card 12 is required.

WORD	1	2	3	4	5	6	Note:
COLUMN	1-12	13-24	25-36	37-48	49-60	61-72	
FORMAT	Decimal	Decimal	Decimal	Decimal	Decimal	Decimal	
CARD	Self-shielding factor for 1st (highest) energy group	Self-shielding factor for 2nd energy group	Self-shielding factor for 3rd energy group	etc.	etc.	etc.	Contains the self-shielding factors by broad or fine groups as dictated by word 5 of card 11
12							
SYMBOL	AID(18)	AID(19)	AID(20)	etc.	etc.	etc.	

Table 5.5A (Continued)

Input cards 13 through 15C for resonance calculation (card 11, word 3 ≠ 0.)

WORD	1	2	3	4	5	6	
COLUMN	1-12	13-24	25-36	37-48	49-60	61-72	
FORMAT	Decimal	Decimal	Decimal	Decimal	Decimal	Decimal	
CARD 13	Temperature (°K) of absorber	Geometry: 0. = homo- geneous 1. = slab(1-D) 2. = cylinder (2-D) 3. = sphere (3-D)	Absorber lump dimension, a (1/2 thick- ness of slab, radius of cylinder or sphere)	Dancoff correction	$(\sigma_m)_{eff}$ for unresolved calculation $\sigma_m + \frac{1-C}{N \bar{a}} + \sigma_p$	Lumped nuclear density of absorber	\bar{a} is a mean chord length $\bar{a} = 2a$ slab $\bar{a} = 2a$ cylinder $\bar{a} = \frac{4}{3}a$ sphere
SYMBOL	TEMP	GEOM	ABAR	C	SMS	DZERO	

WORD	1	2	3	4	5	6	
COLUMN	1-12	13-24	25-36	37-48	49-60	61-72	
FORMAT	Decimal	Decimal	Decimal	Decimal	Decimal	Decimal	
CARD 14	Absorber method: 1. = Nordheim's integral 2. = Narrow resonance 3. = Infinite mass	Mass number of 1st mod- erator	Scattering per absorber $\sigma_{m1}, \sigma_{m1}^S$ N_{m1}, N_{m1}^S	Method for 1st moderator: 0. = not present 1. = Nordheim's integral 2. = Asymptotic approxima- tion	Mass number of 2nd modera- tor	Scattering per absorber atom for 2nd moderator $\sigma_{m2}, \sigma_{m2}^S$ N_{m2}	
SYMBOL	AIA	AMOD1	SIGM1	QMOD1	AMOD2	SIGM2	

WORD	1						
COLUMN	1-12						
FORMAT	Decimal						
CARD 15	Method for 2nd moderator: 0. = not present 1. = Nordheim's integral 2. = Asymptotic approx.						
SYMBOL	QMOD2						

If new collision probability tables input (card 11, word 3 = 2.0), cards 15A, 15B and 15C required.

WORD	1	2	3	4	Note:
COLUMN	1-12	13-24	25-36	37-48	
FORMAT	Decimal	Decimal	Decimal	Decimal	
CARD 15A	0. = Use tables for previous nuclide 1. = read new tables	Escape probability constant, c_1	Escape probability constant, c_2	Escape probability constant, c_3	Escape probability constants required, regardless of value of word 1 Use of constants: c_1, c_2, c_3 $P_o = \frac{c_1}{\Sigma a} + \frac{c_2}{(\Sigma a)^2} + \frac{c_3}{(\Sigma a)^3}$ for $\Sigma a > 6.0$
SYMBOL	FINK	CS1	CS2	CS3	

JAERI-M 5991

Table 5.5A (Continued)

If new tables input (card 15A, word 1 = 1.0), cards 15B and 15C required.

WORD	1-6					
COLUMN	1-72					
FORMAT	Alphanumeric					
CARD		Title for collision probability table to be input				
15B						
SYMBOL	RSN(I), I = 1, 18					

WORD	1	2	3	4	5	6	
COLUMN	1-12	13-24	25-36	37-48	49-60	61-72	
FORMAT	Decimal	Decimal	Decimal	Decimal	Decimal	Decimal	
CARD	Collision probability for $\Sigma\bar{a} = .02$	Collision probability for $\Sigma\bar{a} = .04$	Collision probability for $\Sigma\bar{a} = .06$	etc.	etc.	etc.	Collision probability table for $\Sigma\bar{a} = .02$ to 6.02 in steps of .02 (301 values)
15C							
SYMBOL	CYLT(2)	CYLT(3)	CYLT(4)	etc.	etc.	etc.	

If fluxes and currents input (card 5, word 6 = 2.0), cards 15D and 15E are required

WORD	1	2	3	4	5	6	Note
COLUMN	1-12	13-24	25-36	37-48	49-60	61-72	
FORMAT	Decimal	Dec.	Dec.	Dec.	Dec.	Dec.	
CARD	Flux for fine group 1	Flux for fine group 2	Flux for fine group 3	etc.	etc.	etc.	Input one flux value for each fine group
15D							
SYMBOL	PHI(1)	PHI(2)	PHI(3)	etc.	etc.	etc.	

WORD	1	2	3	4	5	6	Note
COLUMN	1-12	13-24	25-36	37-48	49-60	61-72	
FORMAT	Decimal	Dec.	Dec.	Dec.	Dec.	Dec.	
CARD	Current for fine group 1	Current for fine group 2	Current for fine group 3	etc.	etc.	etc.	Input one current value for each fine group
15E							
SYMBOL	Y(1)	Y(2)	Y(3)	etc.	etc.	etc.	

Table 5.5A (Continued)

WORD	1		
COLUMN	1-12		
FORMAT	Decimal		
CARD 16	Problem repeat index: 0. = No more FAST problems (skip to card 20) 1. = New FAST problem (repeat from card 4) 2. = Re-averaging problem (cards 17-19 required)		
SYMBOL	REPET		

If re-averaging problem specified (word 1, card 16 = 2.0), input cards 17 - 19 followed by card 16.

WORD	1-6		
COLUMN	1-72		
FORMAT	Alphabetic		
CARD 17	Re-averaging problem description		
SYMBOL	AW(I), I = 1, 18		

WORD	1			
COLUMN	1-12			
FORMAT	Decimal			
CARD 18	Number of broad groups (≤ 99)			If this COMBINING section is used, the total number of broad groups is limited by 50.
SYMBOL	FNBG			

WORD	1	2	3	4	5	6	
COLUMN	1-12	13-24	25-36	37-48	49-60	61-72	
FORMAT	Decimal	Decimal	Decimal	Decimal	Decimal	Decimal	
CARD 19	Lower energy boundary of 1st broad group	Lower energy boundary of 2nd broad group	Lower energy boundary of 3rd broad group	Etc.	Etc.	Etc.	Note: Return to Card 16
SYMBOL	GEN(2) >	GEN(3) >	GEN(4) >	Etc.	Etc.	Etc.	

JAERI-M 5991

Table 5.5B GGC-4 input for GATHER section

WORD	1	2	3			Note
COLUMN	1-12	13-24	25-36			
FORMAT	Integer	Integer	Integer			Value of N (word 1):
CARD 20	Is a THERMAL problem (or series) to be run? 0 = No N = Yes (No. of 1st prob. added to results tape.)	Will a previously written THERMAL results tape be used? 0 = No 1 = Yes	Print list of nuclides on THERMAL data tape? 0 = No 1 = Yes			If making new tape (i.e., word 2 = 0), then N = 1. If adding to tape (i.e., word 2 = 1), N = number of 1st problem to be added to tape (one more than number of previous problems being saved).
SYMBOL	MRUN	MUSE				

Omit cards 21 through 43 if no THERMAL problems being run and no THERMAL tape mounted (i.e., words 1 and 2, card 1 = 0).

WORD	1					
COLUMN	1-12					
FORMAT	Alphanumeric					
CARD 21	Label for THERMAL results tape. (If MUSE = 1, this must match label on tape mounted.)					
SYMBOL	ABEL(I), I=1,3					

Omit cards 22 through 43 if no THERMAL problems being run (i.e., word 1, card 1 = 0)

WORD	1-6				
COLUMN	1-72				
FORMAT	Alphanumeric				
CARD 22	THERMAL data tape label (must be identical to label on tape mounted.)				
SYMBOL	CLABEL(I), I = 1, 18				

WORD	1-6				
COLUMN	1-72				
FORMAT	Alphanumeric				
CARD 23	THERMAL PROBLEM DESCRIPTION				
SYMBOL	TITLE (I), I = 1, 18				

JAERI-M 5991

Table 5.5B (Continued)

WORD	1	2					
COLUMN	1-12	13-24					
FORMAT	Decimal	Decimal					
CARD	Number of broad groups (≤ 50)	Upper energy boundary for one group edit (if <u>not</u> upper boundary of 1st broad group) OGE must be an upper limit of a specified broad group.					
24	ZNBG	OGE					
SYMBOL							

WORD	1	2	3	4	5	6	
COLUMN	1-12	13-24	25-36	37-48	49-60	61-72	
FORMAT	Decimal	Decimal	Decimal	Decimal	Decimal	Decimal	
CARD	Upper energy boundary for 1st broad group	Upper energy boundary for 2nd broad group	Upper energy boundary for 3rd broad group	etc.	etc.	etc.	
25							
SYMBOL	BEG(1) >	BEG(2) >	BEG(3) >	etc.	etc.	etc.	

WORD	1					
COLUMN	1-12					
FORMAT	Decimal					
CARD	B^2 Buckling term. May be positive, negative or zero					
26						
SYMBOL	BSQ					

WORD	1	2	3	4	5	
COLUMN	1-12	13-24	25-36	37-48	49-60	
FORMAT	Decimal	Decimal	Decimal	Decimal	Decimal	
CARD	Problem type: -1. = fluxes and currents input 0. = Maxwellian flux used 1. = B1 approx. 2. = B0 approx. 3. = P1 approx. 4. = P0 approx. 5. = Time moments calculation	Definition of microscopic transport cross section 1.0 = Definition 1 2.0 = Definition 2	Temperature (ev or degrees K) for averaging over Maxwellian flux (word 1 = 0.)	Number of time moments to be calculated (word 1 = 5.0)	Punch flux and current? 0. = No 1. = Yes	
27						
SYMBOL	OPT1		DUM	TMS	PUNCH	

JAERI-M 5991

Table 5.5B (Continued)

For spectrum or time moments calculation (card 27, word 1 > 0.), cards 28 and 29 required.

WORD	1	2	3	4	Note
COLUMN	1-12	13-24	25-36	37-48	
FORMAT	Decimal	Decimal	Decimal	Decimal	
CARD 28	Flux and current guess: 0. Maxwellian $\phi, J = \frac{B}{3\epsilon_0} \frac{\phi}{tr}$ 1. $\phi = 1.0$, $J = \frac{B}{3\epsilon_0 tr}$ 2. ϕ & J from results of previous flux calculations 3. Input guesses	PO source terms: 0. from FAST (see note) 0. free atom slowing down model 1. 1/E flux 1. input from cards	P1 source terms: 0.= calculated by free atom slowing down model in 1/E flux 1.= input 2.= P1 source is zero	Temperature (ev or 0K) for Maxwellian flux guess (word 1 = 0.) DUM	-N. = sources used from Nth FAST problem (in this run) which calculated sources for THERMAL. * -N = The same with Maxwellian flux
SYMBOL	OPTPHI	OPTQ0	OPTQ1	DUM	

WORD	1	2	3	4	
COLUMN	1-12	13-24	25-36	37-48	
FORMAT	Decimal	Decimal	Decimal	Decimal	
CARD 29	Maximum number of iterations (if blank, 300 will be used)	Acceleration parameter λ (if blank, 1.2 will be used)	Convergence criterion for fluxes and currents (if blank, 10^{-5} will be used)	Microscopic transport option: 0.= use current for averaging 1.= use flux for averaging	
SYMBOL	COUNT	YAMBDA	ERRPHI	ERRJ	

WORD	1	2	3	4	
COLUMN	1-12	13-24	25-36	37-48	
FORMAT	Decimal	Decimal	Decimal	Decimal	
CARD 30	Number of nuclides or materials				
SYMBOL	ZMAT				

Repeat cards 31 (and 32, if needed) for each nuclide or material

WORD	1	2	3	4	
COLUMN	1-12	13-24	25-36	37-48	
FORMAT	Decimal	Decimal	Decimal	Decimal	
CARD 31	Nuclide I.D. number on THERMAL data tape	Atomic density of nuclide (atom/barn-cm)	Self-shielding factors? 0. = None 1. = broad group 2. = point wise	If S.S. factors given how is averaging done 0.= with self-shielding only 1.= without and with self-shielding	At least one kernel with non-zero atom density must be present. Otherwise problem will not run
SYMBOL	TABL	DENS	SSF	AVG	

JAERI-M 5991

Table 5.5B (Continued)

Card 32 required if self-shielding factors input (card 31, word 3 = 1.0 or 2.0)

WORD	1	2	3	4	5	6	
COLUMN	1-12	13-24	25-36	37-48	49-60	61-72	
FORMAT	Decimal	Decimal	Decimal	Decimal	Decimal	Decimal	
CARD 32	Self-shielding factor for 1st (lowest) group or point	Self-shielding factor for 2nd energy group or point	Self-shielding factor for 3rd energy group or point	Etc.	Etc.	Etc.	
SYMBOL	SEL(1)	SEL(2)	SEL(3)	Etc.	Etc.	Etc.	

Fluxes and currents input (card 27, word 1 = -1.0, or card 28, word 1 = 3.0), cards 33 and 34 are required.

WORD	1	2	3	4	5	6	
COLUMN	1-12	13-24	25-36	37-48	49-60	61-72	
FORMAT	Decimal	Decimal	Decimal	Decimal	Decimal	Decimal	
CARD 33	Flux at 1st (lowest) energy point	Flux at 2nd energy point	Flux at 3rd energy point	Etc.	Etc.	Etc.	Input a flux value for each THERMAL energy point
SYMBOL	PHI(1)	PHI(2)	PHI(3)	Etc.	Etc.	Etc.	

WORD	1	2	3	4	5	6	
COLUMN	1-12	13-24	25-36	37-48	49-60	61-72	
FORMAT	Decimal	Decimal	Decimal	Decimal	Decimal	Decimal	
CARD 34	Current at 1st (lowest) energy point	Current at 2nd energy point	Current at 3rd energy point	Etc.	Etc.	Etc.	Input a current value for each THERMAL energy point
SYMBOL	YJ(1)	YJ(2)	YJ(3)	Etc.	Etc.	Etc.	

if P-0 source terms input (card 28, word 2 = 1.0), card 35 is required.

WORD	1	2	3	4	5	6	
COLUMN	1-12	13-24	25-36	37-48	49-60	61-72	
FORMAT	Decimal	Decimal	Decimal	Decimal	Decimal	Decimal	
CARD 35	Po source term for 1st energy point	Po source term for 2nd energy point	Po source term for 3rd energy point	Etc.	Etc.	Etc.	Input a Po source term for each THERMAL energy point
SYMBOL	QO(1)	QO(2)	QO(3)	Etc.	Etc.	Etc.	

JAERI-M 5991

Table 5.5B (Continued)

If P-1 source terms input (card 28, word 3=1.0), card 36 is required.

WORD	1	2	3	4	5	6	
COLUMN	1-12	13-24	25-36	37-48	49-60	61-72	
FORMAT	Decimal	Decimal	Decimal	Decimal	Decimal	Decimal	
CARD 36	P_1 source term for 1st energy point	P_1 source term for 2nd energy point	P_1 source term for 3rd energy point	Etc.	Etc.	Etc.	Input a P_1 source term for each THERMAL energy point
SYMBOL	Q1(1)	Q1(2)	Q1(3)	Etc.	Etc.	Etc.	

Card 37 must be last card of any series of THERMAL problems

WORD	1			
COLUMN	1-12			
FORMAT	Decimal			
CARD 37	Consecutive problem index: 0.= No more THERMAL problems 1.= New problem (from card 23) 2.= Reaverage over new broad groups 3.= Partially new problem			Next card required RPT Card 0.0 44 or none 1.0 23 2.0 38 3.0 41
SYMBOL	RPT			

If cross sections to be reaveraged over new broad groups (card 37 = 2.0) input cards 38 through 40

WORD	1-6			
COLUMN	1-72			
FORMAT	Alphanumeric			
CARD 38	New THERMAL problem title			
SYMBOL	TITLE(I), I=1,18			

WORD	1	2		
COLUMN	1-12	13-24		
FORMAT	Decimal	Decimal		
CARD 39	Number of broad groups for reaver- aging	Upper energy boundary for one-group edit		
SYMBOL	ZNCG	ZOGE		

JAERI-M 5991

Table 5.5B (Continued)

WORD	1	2	3	4	5	6	
COLUMN	1-12	13-24	25-36	37-48	49-60	61-72	
FORMAT	Decimal	Decimal	Decimal	Decimal	Decimal	Decimal	
CARD 40	Upper energy boundary for 1st broad group	Upper energy boundary for 2nd broad group	Upper energy boundary for 3rd broad group	Etc.	Etc.	Etc.	
SYMBOL	BEG(1) >	BEG(2) >	BEG(3) >	Etc.	Etc.	Etc.	

For a partially new problem (card 37 = 3.0), input cards 41 and 42

WORD	1-6						
COLUMN	1-72						
FORMAT	Alphanumeric						
CARD 41	New THERMAL Problem Title						
SYMBOL	TITLE(I), I = 1, 18						

WORD	1	2	3	4	5	6	Note
COLUMN	1-12	13-24	25-36	37-48	49-60	61-72	
FORMAT	Decimal	Decimal	Decimal	Decimal	Decimal	Decimal	
CARD 42	Change number of broad groups upper energy for one-group edit and/or broad group boundaries? 0. = No 1. = Yes	Change value of buckling? 0. = No 1. = Yes	Change any of problem options on card 27? 0. = No 1. = Yes	Change flux guess or source term options on card 28?	Change maximum iterations allowed, accelerate parameter, or convergence values on card 29? 0. = No 1. = Yes	Change microscopic data? -1. = all new micro.data 0. = no change N. = Number of nuclides with new densities	Word No. Cards Needed 1 = 1.0 39-40 2 = 1.0 26 3 = 1.0 27 4 = 1.0 28 5 = 1.0 29 6 > 0.0 43 For cards 27-29 blanks will be interpreted as meaning to retain data from preceding problem.
SYMBOL	CHANGE (1)	CHANGE(2)	CHANGE(3)	CHANGE (4)	CHANGE(5)	CHANGE(6)	

WORD	1	2					
COLUMN	1-12	13-24					
FORMAT	Decimal	Decimal					
CARD 43	Nuclide (or material) I.D. number	New atomic density					
SYMBOL	TID	DENS					

JAERI-M 5991

Problem Identification Card Table 5.5C GGC-4 input for COMBO section
 If on card 46, word 1=1 and word 4=1, then Standard Diffusion Options for problem macroscopic punching are specified on the following card 44.

WORD	1	2	3	4		
COLUMN	1-3	4-60	61-64	65-68	69-72	
FORMAT	A3	I4A4, A1	I4	I4		
CARD 44	Problem ID to label macroscopic punching	Combining section title. Also used as header card identification for macroscopic punching. For transport punching only columns 4-33 are used		Standard diffusion punching options for macroscopic punching $\sigma(n,s) + \sigma(n,p)$ $+ \sigma(n,2n)$ $= 0$, not punched $= 1$, fast only $= 2$, full matrix	Transfer matrix $= 0$, omitted $= 1$, fast only $= 2$, full matrix	
SYMBOL	TACK	TITHE(15)	MIFNAN	MLTFF		

WORD	1	2	3	4		
COLUMN	1-12	13-24	25-36	37-48		
FORMAT	I12	I12	I12	I12		
CARD 45	Problem number from FAST results tape	Should this problem data be saved? 0 = no 1 = yes	Problem number from THERMAL results tape	Should this problem data be saved? 0 = no 1 = yes		If NTHERM is made negative on card 45, then the upscattering broad group cross sections from the highest thermal broad group into the lower fast broad group are set equal to zero
SYMBOL	NFAST	NSAVA	NTHERM	NSAVB		

WORD	1	2	3	4	5	6	
COLUMN	1-12	13-24	25-36	37-48	49-60	61-72	
FORMAT	I12	I12	I12	I12	I12	I12	
CARD 46	Problem macroscopic punching option =0, none =1, punch	Microscopic** punching =0, none =N(>0), number nuclides to be punched =-N punch all nuclides with I.D. matching to within N places after decimal	Mixture index =0, no mixtures =N,N mixtures will be calculated and macroscopic cross sections punched	Standard diffusion code punching =0, no diffusion =1, standard diffusion code =1, standard diffusion code punching	Standard transport format =0, no punching =1, P_0 punching =2, P_0, P_1 punching =3, P_0, P_1, P_2 punching =4, P_0, P_1, P_2, P_3 punching	Special P punch option =0, no effort =1, new option	If NEL < 0 and diffusion punching is requested, then one set of diffusion punching options is supplied on one card 52
SYMBOL	MPI	NEL	MIX	NDIFFP	NTRANP	NTRXX	

** For microscopic punching, no matching of ID number is necessary if only FAST or THERMAL cross sections are to be punched (NEL=N) and all nuclides on results tape for the specified problem will be punched.

If standard transport format for cross section punching has been selected (word 5, card 46 > 0), card 47 is needed.

WORD	1	2		
COLUMN	1-12	13-24		
FORMAT	I12	I12		
CARD 47	Number of up-scattering terms to be punched *	Number of downscattering terms to be punched		* HUP = 1, Ldown = 0 Down DPP = 1, Ldown = 0
SYMBOL	NUP	NDOWN		

Table 5.5C (Continued)

If any mixtures are being punched (word 3, card 46 > 0), for each mixture supply cards 48, 49 and a card 50 for each nuclide contributing to this mixture. If only problem macroscopic punching is requested (words 2,3, card 46=0), data complete for this problem.

WORD	1	2		
COLUMN	1-12	22-24		
FORMAT	I12	A3		
CARD 48	Number of elements in the mixture	Label for punched cross section cards		
SYMBOL	NUMNUC	TAG		

If only standard transport punching requested, words 3 and 4, card 49 is not used.

WORD	1	2	3	4	
COLUMN	1-6	7-60	61-64	65-68	
FORMAT	A4,A2	13A4,A2	I4	I4	
CARD 49	Identification for mixture	Mixture description Only columns 7-30 are used for transport punching	0 = $\sigma(n,\alpha)$, $\sigma(n,p)$, and $\sigma(n,2n)$ are not available 1 = $\sigma(n,\alpha)$, $\sigma(n,p)$, and $\sigma(n,2n)$ are available	0 = no fast and no full transfer matrix available 1 = only fast transfer matrix available 2 = only full transfer matrix available	
SYMBOL	CID(2)	CNAME(I), I=1,14	IFNANP	IFTFER	

Card 50 must be given for each nuclide in the mixture

WORD	1	2	3		
COLUMN	1-12	13-24	26-36		
FORMAT	F12.6	F12.6	F12.6		Note
CARD 50	Fast nuclide I.D. number, or zero if none wanted	Thermal nuclide I.D. number, or zero if none wanted	Atomic density of selected fast and thermal nuclide in mixture		TIDB is stored in double precision
SYMBOL	TIDA	TIDB	ADEN		

If more mixtures are wanted, repeat from card 48.

For each of the N nuclides specified (word 2, card 46), cards 51 and possibly 52 must be supplied.

WORD	1	2	3		
COLUMN	1-12	13-24	34-36		
FORMAT	F12.6	F12.6	A3		
CARD 51	Fast I.D. for nuclide	Thermal I.D. for nuclide	Label for punched cards		
SYMBOL	TIDA	TIDB	TAG		

JAERI-M 5991

Table 5.5C (Continued)

If standard diffusion punching requested, the following card is required, (needed as header card content).

WORD	1	2	3	4	5		
COLUMN	1-6	7-60	61-64	65-68	69-72		
FORMAT	A4,A2	13A4,A2	I4	I4			
CARD 52	Identification for nuclide	Nuclide description	0 = $\sigma(n,\alpha)$, $\sigma(n,p)$ and $\sigma(n,2n)$ not available 1 = $\sigma(n,\alpha)$, $\sigma(n,p)$, and $\sigma(n,2n)$ are available	0 = no fast and no full transfer matrix avail- able 1 = only fast transfer matrix available 2 = only full transfer matrix available			
SYMBOL	CID(2)	CNAME(I)I=1,14	IFNAMP	IFTFER			

If diffusion punching requested for all nuclides on FAST or THERMAL results tape only (or for matching nuclide I.D. numbers) (word 2, card 46 < 0), specify card 52 once, using only words 3 and 4.

Table 5.6A Input cards and setup for the executions of GAM,GATHER, and COMBO for a slowing-down problem in light water

```

.....*....1.....*....2.....*....3.....*....4.....*....5.....*....6.....*....7.....*....8

$NO
C.2/CORE 128
T.2/TIME 5
W.1/PAGE 80
P.2/PCN 200

*GJOB
*FILEDPK J0051,GGC4GGC4,SIMPL=0VLY
SGMT MAIN
SELECT (FTMAIN,ATANH,NAME1,NAME2,NAME3,NAME4,NAME5,NAME6,TICKER)
SGMT GFAST,CHN=MAIN
SELECT (BONE,BSR,BTHREE,BT&U,CROSS,DUOR,D3D,D4D,FACE,FASTLK,FMACRO, /
FMICRO,FSR,GAMINC,GAMNIT,GINT,GRID,HEAD3,INTERP,LANE,LINK1, /
LINK2,LINK3,LINK4,LINK5,LINK6,LINK7,NCFX,NEWCYL,NEWSLB,NHLT, /
ONED,PIG,POD,PRINT3,RESOL,RE*,RTB,SAMPS,SAVE,SEHPS,SIMPS,SOMPS,
,SWMT,STALL,TRAPZ,TRPF,TWOD,UNRES,WEF,*OD,*TB)
SGMT GTERM,CHN=MAIN
SELECT (THRMAL,CHANGE,FVD)
SGMT THERM,CHN=GTERM
SELECT (AVRGA,AVRGG,BBEN,CHKUP,ERRWA,ERRWH9,ERRJ13,GAMM,HEAD, /
HEADA,HEADB,HEADSP,HEADTM,HEAD10,LINK10,LINK11,LINK12,LINK13, /
LINK22,LINK77,LINK8,LINK9,LINK93,LINK95,LN101,LN102,LN131, /
MACRO,MACROL,MICRO,MICR95,MINP,NEWP,ONEGNP,OUTTM,OUT10,OUT102, /
PBORTM,PB1K,PFIGES,PHIMAX,PRINTA,PRINTB,PRINT8,PRINT13,READ,
SEFLS,SETTM,SETUP,SPACE,SP2,SS95,SUMGGC,THERMN,TNUM, /
TRAP,TRPT,WRITEA,WRITEB,WRITE1,ZERO13,ZERO9,BCDCDN,PB0H)
SGMT GCOMBO,CHN=GTERM
SELECT ((COMBO,COLUMN,DFPUN,ERR15,HEAD15,1PRINT,LCNTBL,MAIN16,MAU15, /
MIXTR,NULIST,PLOCA,PLOCB,READA,READAA,READB,READDB,RPT,
SETUP1,SKIPA,SKTPB,SN,STORE,TRAPUN,ZERO))

FIN
$RUN
$TAPE F01,J0051,GGC4WTG,OLD,0001520
$DISK F02
$DISK F03
$TAPE F04,J0051,GGC4MAKE,OLD,000654
$DISK F08
$DISK F22
$DISK F23
$DISK F24
$DISK F30
$PUNCH
$DATA
      1          0
GAM REGION
      1973.          1.
FAST PROBLEM DESCRIPTION WATER YAMASHITA
      2.          3.
      1.          2.
      6.08E+05    9.12E+03    2.38
      6.1788E-04
      1.0000    0.0688
      8.0000    0.0344
      0.
      1          0          1
THERMAL
      NEW THERMAL SHORT TAPE NOV.21 1973
      THERMAL PROBLEM DESCRIPTION WATER REFLECTOR
      1.0          2.38
      2.38
      6.1788E-04
      1.          1.0
      1.          -1.          -1.
      0.
      2.
      1.0030210    0.0688
      8.003010    0.0344
      0.
H2O INPUT COMBINING SECTION
      1          1          1          1          2          0          45
      1          0          0          1          2          0
      1          3
$END

```

Table 5.63 Output cards for the example shown in table Table 5.6A

(SAM region)

flux

current

P_c slowing-down source

Table 5.6B (Continued)

.....*....1.....*....2.....*....3.....*....4.....*....5.....*....6.....*....7.....*....8

1.64803E-03 1.80533E-03 1.87904E-03 1.94998E-03 2.01842E-03 2.08461E-03
 2.14877E-03 2.21107E-03 2.27165E-03 2.33067E-03 2.55312E-03 2.75768E-03
 2.94809E-03 3.12692E-03 3.29608E-03 3.45694E-03 3.53463E-03 3.61066E-03
 3.68511E-03 3.73809E-03 3.82968E-03 3.89995E-03 3.96899E-03 4.03684E-03
 4.10357E-03 4.16923E-03 4.23387E-03 4.29754E-03 4.36028E-03 4.42213E-03
 4.54331E-03 4.74221E-03 4.77645E-03 4.83298E-03 4.94409E-03 4.99873E-03
 5.05277E-03 5.09576E-03 5.10624E-03 5.15915E-03 5.21153E-03 5.37572E-03
 5.46590E-03 5.58875E-03 5.66117E-03 5.70895E-03 5.82667E-03 5.94206E-03
 6.09103E-03 6.16637E-03 6.38280E-03 6.59213E-03 6.79501E-03 6.89815E-03
 6.95305E-03 7.03074E-03 7.10758E-03 7.18360E-03 7.25883E-03 7.29619E-03
 7.33328E-03 7.37022E-03 7.46178E-03 7.55223E-03 7.58811E-03 7.62382E-03
 7.65936E-03 7.69474E-03 7.76501E-03 7.81730E-03 7.83465E-03 7.90368E-03
 8.07367E-03 8.24016E-03 8.40339E-03 8.56342E-03 8.84426E-03 9.02664E-03
 9.32267E-03 9.60959E-03 9.83310E-03 1.00329E-02 1.00134E-02 1.00810E-02
 1.02898E-02 1.06141E-02 1.09878E-02 1.11752E-02 1.14261E-02

REGULAR FLUX AND CURRENT

P₁ slowing-down source

(GATHER region)

THERMAL PROBLEM DESCRIPTION WATER REFLECTOR

6.63788E-01 1.27870E-02 2.37216E-02 2.85541E-02 3.70660E-02 4.07877E-02
 4.72631E-02 5.86646E-02 6.47079E-02 6.69452E-02 6.64117E-02 6.06314E-02
 5.18736E-02 4.25764E-02 3.81289E-02 3.39484E-02 3.00852E-02 2.65576E-02
 2.33660E-02 2.020516E-02 1.79459E-02 1.56727E-02 9.02125E-01 5.12206E-01
 2.94265E-01 1.77008E-01 1.09147E-01 7.35899E-00 6.21488E-00 5.34825E-00
 4.70298E-00 4.17478E-00 3.77909E-00 3.46826E-00 3.23727E-00 3.05734E-00
 2.89906E-00 2.274695E-00 2.58012E-00 2.47267E-00 2.37640E-00 2.28910E-00
 2.14012E-00 1.98201E-00 1.94671E-00 1.88999E-00 1.80031E-00 1.75743E-00
 1.71487E-00 1.69356E-00 1.67236E-00 1.63104E-00 1.59288E-00 1.51051E-00
 1.45319E-00 1.38843E-00 1.34709E-00 1.31960E-00 1.26213E-00 1.20607E-00
 1.14252E-00 1.09844E-00 1.03059E-00 9.59099E-01 9.06227E-01 8.68465E-01
 8.49665E-01 8.27231E-01 8.07179E-01 7.88430E-01 7.70230E-01 7.60682E-01
 7.51263E-01 7.442259E-01 7.23823E-01 7.05464E-01 6.98552E-01 6.90855E-01
 6.83304E-01 6.76100E-01 6.62561E-01 6.51165E-01 6.47059E-01 6.31796E-01
 6.10102E-01 5.83613E-01 5.59958E-01 5.26145E-01 5.11126E-01 4.70077E-01
 4.48762E-01 4.24794E-01 3.98464E-01 3.85227E-01 3.61827E-01 3.49650E-01
 3.29737E-01 3.11566E-01 2.98454E-01 2.86118E-01 2.78048E-01
 5.77492E-02 1.427290E-02 3.30591E-01 4.24482E-01 6.09032E-01 6.97839E-01
 8.71085E-01 1.25913E-00 1.56663E-00 1.82206E-00 1.99849E-00 2.22929E-00
 2.16954E-00 1.88863E-00 1.70764E-00 1.53113E-00 1.36682E-00 1.21859E-00
 1.08706E-00 9.71301E-01 8.69155E-01 7.79554E-01 4.96306E-01 2.95637E-01
 1.80597E-01 1.16413E-01 7.80679E-02 5.70306E-02 5.00287E-02 4.47015E-02
 4.08031E-02 3.73093E-02 3.47649E-02 3.27369E-02 3.13472E-02 3.03364E-02
 2.93775E-02 2.83240E-02 2.69183E-02 2.61419E-02 2.54265E-02 2.47602E-02
 2.36155E-02 2.27168E-02 2.23931E-02 2.18668E-02 2.11271E-02 2.07544E-02
 2.03663E-02 2.01644E-02 1.99595E-02 1.95549E-02 1.91873E-02 1.85819E-02
 1.79944E-02 1.73821E-02 1.69420E-02 1.66396E-02 1.60453E-02 1.54298E-02
 1.47412E-02 1.41619E-02 1.34843E-02 1.26495E-02 1.20862E-02 1.15817E-02
 1.13332E-02 1.10528E-02 1.08086E-02 1.05811E-02 1.03570E-02 1.02344E-02
 1.01129E-02 9.99785E-03 9.77990E-03 9.57431E-03 9.47396E-03 9.37292E-03
 9.27549E-03 9.18347E-03 9.01260E-03 8.85880E-03 8.80139E-03 8.59161E-03
 8.35988E-03 8.04106E-03 7.12049E-03 7.21414E-03 7.14087E-03 6.48668E-03
 6.26978E-03 5.98733E-03 5.61910E-03 5.48049E-03 5.08580E-03 4.97326E-03
 4.73199E-03 4.52253E-03 4.38773E-03 4.19332E-03 4.09344E-03

INPUT COMBINING SECTION

0 2 0H2O 01 0 (COMBO region)

0.0 0.0 4.46374E-04 1.72243E-01 0.0 1.05381E-01H2O 1X 1
 0.0 0.0 2.48367E-06 3.32107E-01 0.0 1.88058E-01H2O 2X 1
 0.0 0.0 5.45683E-04 5.58546E-01 0.0 1.69169E-01H2O 3X 1

Table 5.6B (Continued)

....*....1....*....2....*....3....*....4....*....5....*....6....*....7....*....8

0.0	0.0	1.91764E-02	2.04660E 00	0.0	H2O 4F 1	CROSS SECTION INPUT FORMAT FOR DIFFUSION CODES
1.95179E-01	1.02381E-01	1.34402E-03	4.03489E-07		H2O 1F 1	
0.0	7.49032E-01	1.88058E-01	4.85983E-05		H2O 2F 1	
0.0	0.0	1.34242E 00	1.69169E-01		H2O 3F 1	
0.0	0.0	4.04011E-06	3.12152E 00		H2O 4F 1	
INPUT COMBINING SECTION						P=0
			IHT= 5	IHS= 7	IMM=10	0H200 0
0.0	1.74243E-01	4.46374E-04	0.0	3.02551E-01	0.0	1H200 1
1.95179E-01	0.0	0.0	0.0			1H200 2
0.0	3.32107E-01	2.48367E-06	0.0	9.37142E-01	0.0	2H200 1
7.49032E-01	1.02381E-01	0.0	0.0			2H200 2
0.0	5.58546E-01	5.45683E-04	0.0	1.31213E 00	4.04011E-06	3H200 1
1.34242E 00	1.88058E-01	1.54402E-03	0.0			3H200 2
0.0	2.04660E 00	1.91764E-02	0.0	3.14070E 00	0.0	4H200 1
3.12152E 00	1.69169E-01	4.85983E-05	4.03489E-07			4H200 2
INPUT COMBINING SECTION						P=1
			IHT= 5	IHS= 7	IMM=10	0H201 0
0.0	0.0	0.0	0.0	0.0	0.0	1H201 1
1.03886E-01	0.0	0.0	0.0			1H201 2
0.0	0.0	0.0	0.0	0.0	0.0	2H201 1
4.41536E-01	4.00530E-02	0.0	0.0			2H201 2
0.0	0.0	0.0	0.0	0.0	1.40074E-05	3H201 1
8.57728E-01	6.25537E-02	7.45122E-05	0.0			3H201 2
0.0	0.0	0.0	0.0	0.0	0.0	4H201 1
7.16552E-01	6.95683E-02	2.66011E-07	3.14616E-10			4H201 2

Table 5.7A Input cards and setup for the executions of GAM, GATHER, and COMBO for a core calculation

```

*NO
#GJOB
*LIEDKP J0051,GGC4GGC4,SIMPL=OVLY
SGMT MAIN
SELECT (FTMAIN+ATANH,NAME1+NAME2,NAME3+NAME4,(NAME5+NAME6,TICKER)
SGMT GFAST,CHN=MAIN
SELECT (BONE,BSR,BTHRE,E,BTWO,CROSS,DOUB,DSD+D4D,FACE,FASTLK,FMACRO, /
FMICRO,FSS,GAMINC,GAMIT,GRID,HEAD3,INTERP,LANE,LINK1, /
LINK2,LINK3,LINK4,LINK5,LINK6,LINK7,NCHX,NEWCYL,NEWSLB,NHLT, /
ONED,PIC,POD,PRINT3,RESOL,REW,RTB,SAMPS,SAVE,SEMPs,SIMPs,SOMPS/
+SGMT,STALL,TRAPZ,TRPF,TWOD,UNRES,WEF,WCD,WTB)
SGMT GTHERM,CHN=MAIN
SELECT (THERMAL,CHANGE,FVDW)
SGMT THERM,CHN=GThERM
SELECT (AVRGA,AVRGH,BBN,CHKUP,ERRORA,ERRORB,ERROR9,ERR13,GAMM,HEAD, /
HEADA,HEADB,HEADSP+HEADTM+HEAD10,LINK10,LINK11,LINK12,LINK13, /
LINK22,LINK77,LINK8+LINK9+LINK93+LINK95,LNK101,LNK102,LNK131, /
MACRO,MACRO1,MICRO,MICR95,MNP,NEWP,ONEGRP,OUTTM,OUTI0,OUTI02, /
PBORTM+PB1R,PHIGES,PHIMAX,PRINTA,PRINTB,PRINT8,PRNT13,READ, /
SELF,SSETTM,SETUP,SOURCE,SPACE,SP2,SS95,SUMGGC,THERMN,TNUM, /
TRAP,TRPT,WRITEA,WRITEB,WRITE1,ZERO13,ZERO9,BCUDCON+PBUR)
SGMT GCOMBO,CHN=GTHERM
SELECT (GCOMBO,COLUMN+DIFPUN,ERN15,HEAD15,IPRINT,LCNTRL,MAIN16,MA015, /
MIXTUR+NOLIST+PLOCA+PLOCB,READA+HEADAA,READB,READBB,HPT, /
SETUP1,SKIPA,SKIPB,SN,STORE,TRAPUN,ZERO)
FIN
#RUN
*TAPE F01,J0051,GGC4WTFG,OLD,001520
*DISK F02
*DISK F03
*TAPE F04,J0051,GGC4MAKE,OLD,000654
$TAPE F02,--- to store Results data from GATHER
$TAPE F03,--- to store Results data from GAM
*DISK F08
*DISK F22
*DISK F23
*DISK F24
*DISK F30
$TAPE F24,--- to store  $P_o$  and  $P_1$  slowing-down sources from GAM
*PUNCH
*DATA
1 0
GAM REGION
1973, 1.0
CORE FAST PROBLEM DESCRIPTIO JP 2,2,6E,U. 3 4
1.0, 3.0, 0.0, 0.0, 5
1.0, 2.0, 1.0, 1.0, 6
6.08E+05 9.12E+03 2.38 7
6.1788E-04 1.0000 2.4137E-02 0.0, 0.0, 0.0, 10
8.0000 2.6934E-02 0.0, 0.0, 0.0, 11
24.0000 0.6435E-05 0.0, 0.0, 0.0, 11
26.0000 0.1725E-02 0.0, 0.0, 0.0, 11
28.0000 0.3251E-05 0.0, 0.0, 0.0, 11

```

Table 5.7A (Continued.)

.....1....*....2....*....3....*....4....*....5....*....6....*....7....*....8

40.0000	0.3541E-02	0.	0.	0.	0.	11
92.2350	1.4588E-04	0.	0.	0.	0.	11
92.2381	0.1246E-02	1.	0.	0.	0.	11
296.	2.	0.625	0.13118	49.6631	2.2592E-02	14
1.	16.	8.6272	2.	235.	0.2703	15
2.						16
0.						20
1		0	1			21
THERMAL						
NEW THERMAL SHORT TAPE NOV.21 1973						
THERMAL PROBLEM DESCRIPTION CORE JP 2 2.6 E.U.						
1.0	2.38					23
2.38						24
6.1788E-04						25
1.	1.0			1.		10
1.	-1.	-1.		0.		27
8.						28
1.0030210	2.4137E-02					29
8.0030100	2.6954E-02					30
24.0000000	0.5434E-05					31
26.0000000	0.1725E-02					31
28.0000000	0.3251E-05					31
40.0000000	0.3541E-02					31
92.2350000	1.4588E-04					31
92.2380000	0.1246E-02					37
0.						44
COR	CORE INPUT			0	2	
1	1	1	1	1	2	45
1						46
1		3				47

¥JEND

Table 5.8A Input cards and setup for the GAM-execution, GATHER-Results tape and COMBO-execution for a core calculation

⁸ See also the discussion of the relationship between the two concepts in the introduction.

Table 5.9A Input cards and setup for the CAM-Results tape, GATHER- and COMBO-executions for a core calculation

Table 5.10 Computation time(sec.) required for the GGC-4 examples

Examples	Table 5.6	Table 5.7	Table 5.8	Table 5.9
Slowing down in water		JP~2 (2.6% enriched) calculation		
GAM	23.3	GAM & GATHER	GAM only	GATHER only
		Resonance: 51.0 Total: 118.0	Resonance: 51.0 Total: 119.0	Results tape
GATHER	69.0	68.0	Results tape (with 1/E-spectrum)	69.1
COMBO	1.0	2.0	1.0	2.0
Total C.P.U. time	152	239	172	123
Output pages	60	79	44	42

Buckling = 6.179×10^{-4} , Flux convergence criterion = 1.0×10^{-5}

Collapsed energy-groups for GAM and GATHER sections are 3 and 1 respectively.

Table 5.11 Punched cross sections for the diffusion code

Cross sections

WORD	1	2	3	4	5	6	7	8
COLUMN	1-12	13-24	25-36	37-48	49-60	61-72	73-75	76-30
FORMAT	E12.5	E12.5	E12.5	E12.5	E12.5	E12.5	S-28- numeric	A-dyna- metric
CARD	σ_{g}	σ_{g}	σ_{g}	σ_{tr}	$\sigma_{\text{tot}}(\text{n}, \text{2n})$	σ_{g}	Punch Card Identifier	-gXcl
SYMBOL								

Supplied one card for each energy group ($\text{g} = 1, 2, \dots, G$).

Full transfer matrix (supplied, in word 4 on card 44 is equal to 2)

WORD	1	2	3	4	5	6	7	8
COLUMN	1-12	13-24	25-36	37-48	49-60	51-72	73-75	76-30
FORMAT	E12.5	E12.5	E12.5	E12.5	E12.5	E12.5	Alpha- numeric	A-dyna- metric
CARD	$\sigma_{\text{g}\rightarrow 1}$	$\sigma_{\text{g}\rightarrow 2}$	$\sigma_{\text{g}\rightarrow 3}$	etc.	$\sigma_{\text{g}\rightarrow G}$		Punch Card Identifier	-gG-
SYMBOL								

Supplied as many card as needed starting with group 1 (each group g with a new card). g is the card number for group g.

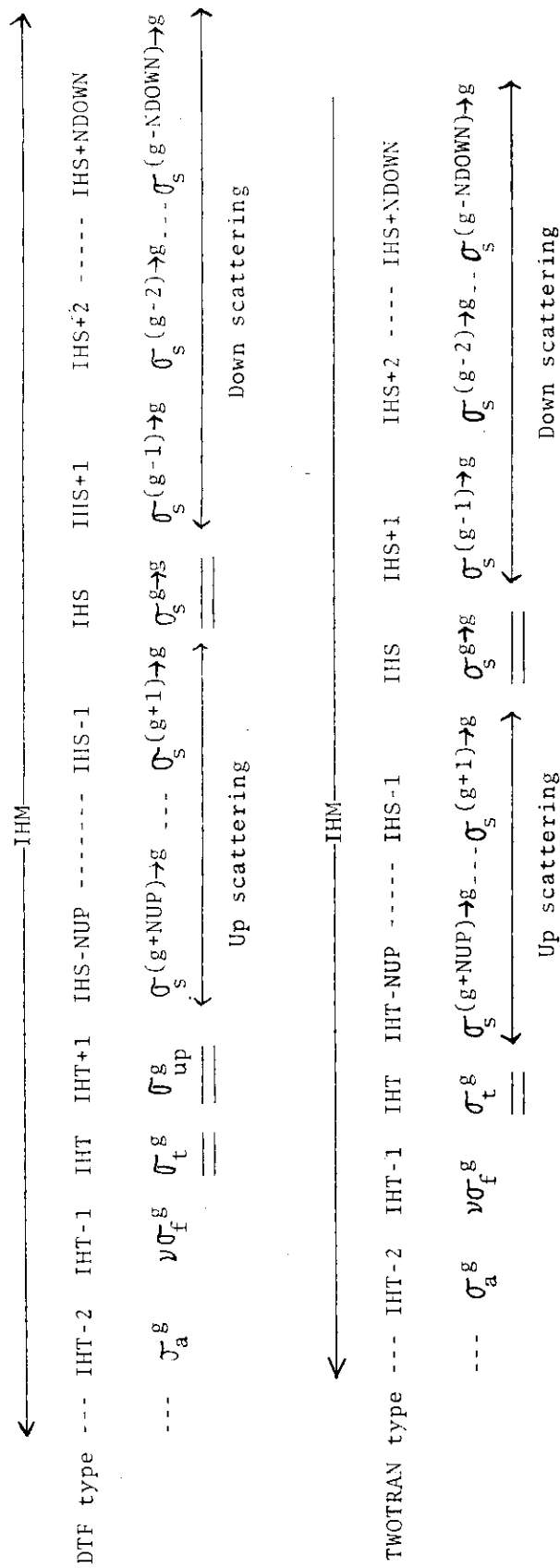


Fig. 5.1 Comparison between two input formats of DTF-IV and TWOTRAN transport computer codes

$$(\sigma_{up}^g = \sum_{g'=1}^{g-1} \sigma_{so}^{g\rightarrow g'})$$

Table 5.12 Punched cross sections for the transport code

Header card

WORD	1	2	3	4	5	6
COLUMN	1-60	61-63	73-74	75-77	78	79-80
FORMAT	Alpha-numeric	Alpha-numeric	I2	A3	A1	I2
CARD					Punch Card Identification	
SYMBOL	Nuclide or Mixture Identification	Pbe	bo		t	bo

A Header card is supplied for each ℓ -matrix which is to be punched (t stands for blank, $\ell = 0, 1, 2, 3$). The Punch Card Identification is the same for all cards of a nuclide or mixture.

Cross Sections

WORD	1	2	3	4	5	6	7	8	9	10
COLUMN	1-12	13-24	25-36	37-48	49-60	61-72	73-74	75-77	78	79-80
FORMAT	E12.5	E12.5	E12.5	E12.5	E12.5	E12.5	I2	A3	A1	
CARD	σ^g any	σ^g σ_{tr}^g	σ^g σ_a^g	$\nu\sigma^g$ σ_f^g	σ^g tot	$\sigma^g + NUP^g$ s, ℓ *)	g	Punch Card Identification	t	
SYMBOL										

If ℓ is different from zero, then words 1 to 4 will be blank. Supplied as many cards 2 as needed starting with group 1. Start each group g with a new card (index j = 1).

*) See the text.

Cross sections

WORD	1	2	3	4	5	6	7	8	9	10
COLUMN	1-12	13-24	25-36	37-48	49-60	61-72	73-74	75-77	78	79-80
FORMAT	E12.5	E12.5	E12.5	E12.5	E12.5	E12.5	I2	A3		
CARD	σ^{g+2-g} s, ℓ	σ^{g+l-g} s, ℓ	σ^{l-g} s, ℓ	σ^{l-l-g} s, ℓ	etc.	$\sigma^{g-NDOWN-g}$ s, ℓ	g	Punch Card Identification	t	$\beta+1$
SYMBOL										

Fig. 5.2 (Continued)

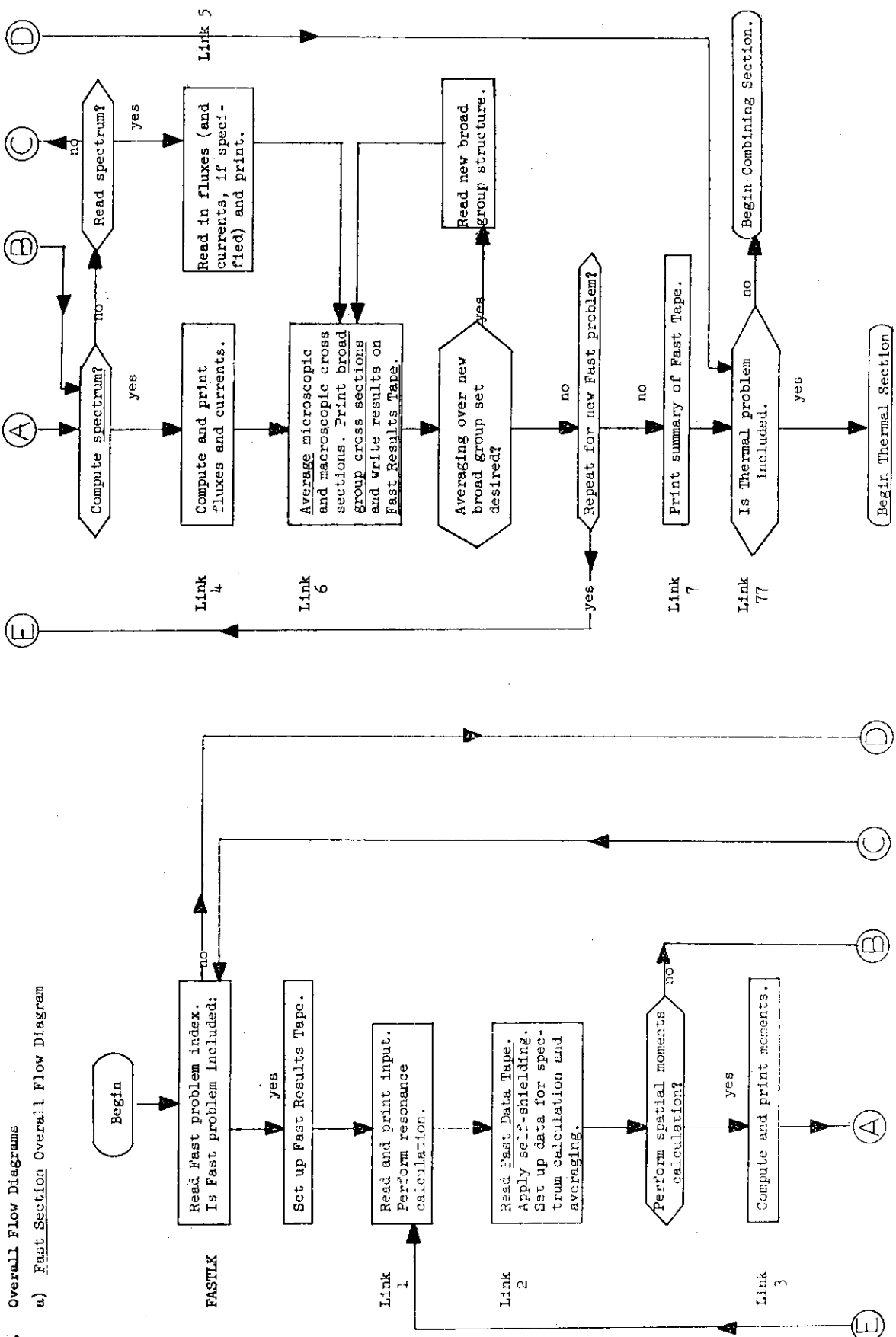


Fig. 5.2 (Continued)

Fig. 5.2 (Continued)

b) Thermal Section Overall Flow Diagram

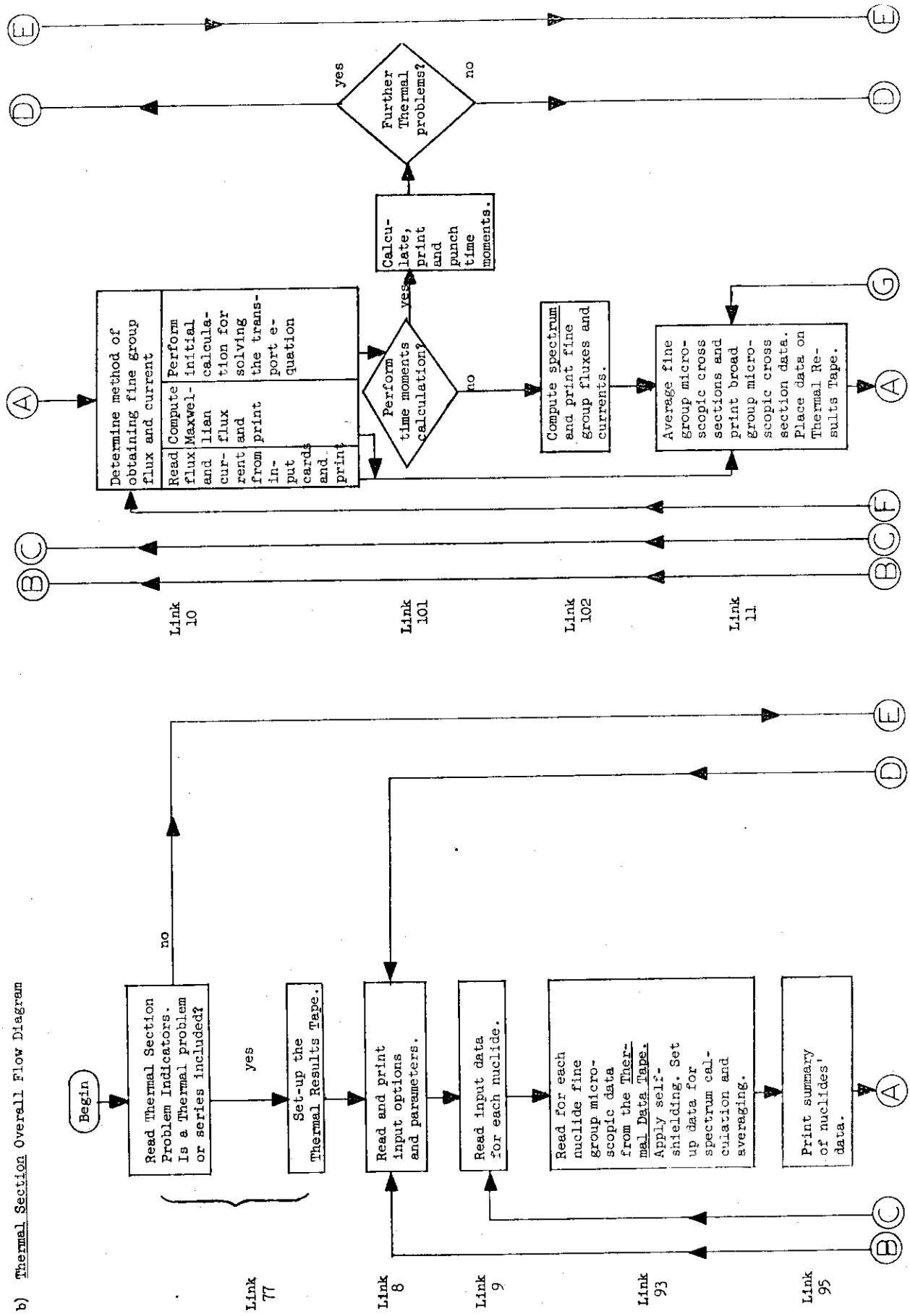
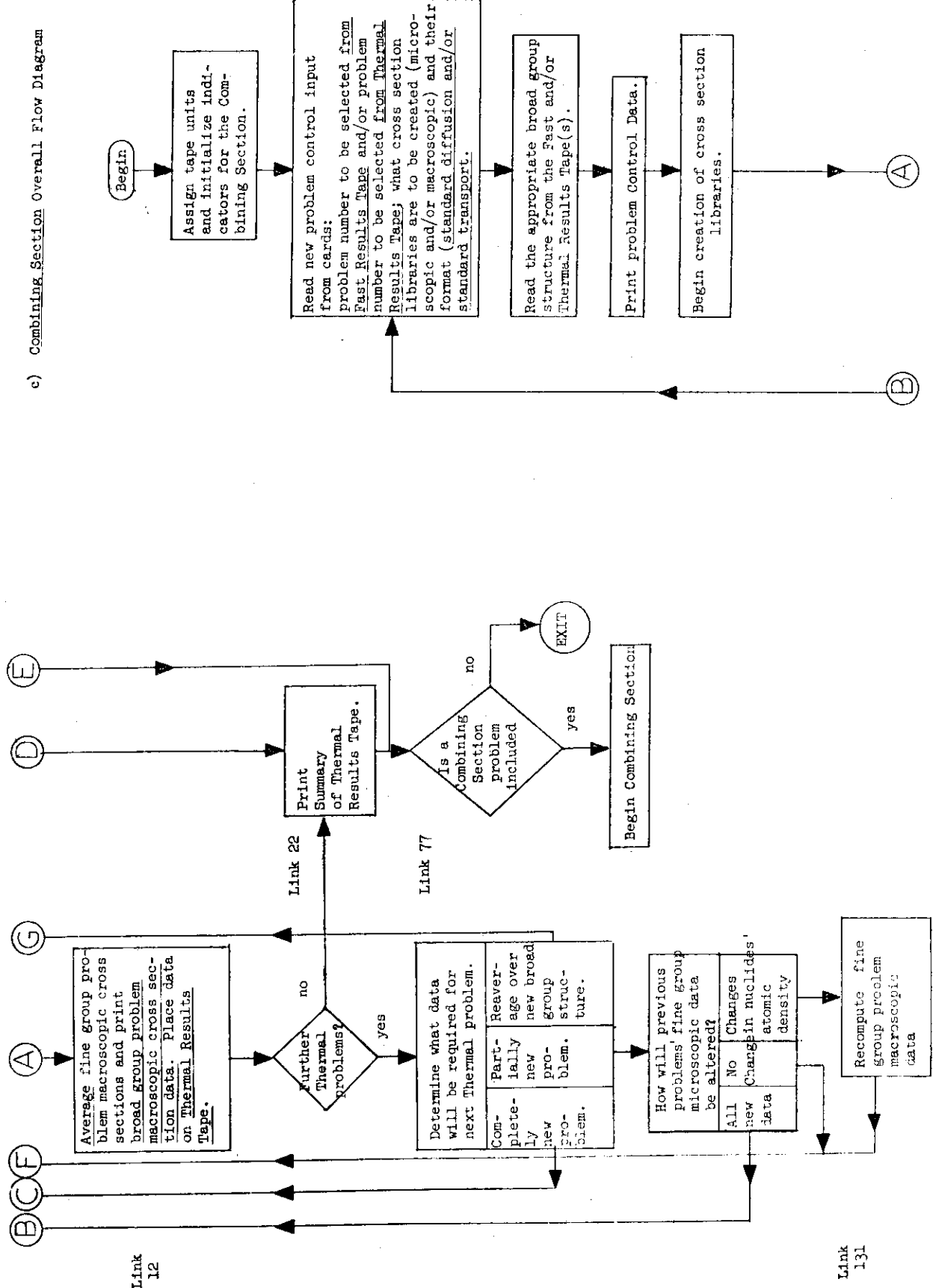


Fig. 5.2 (Continued)



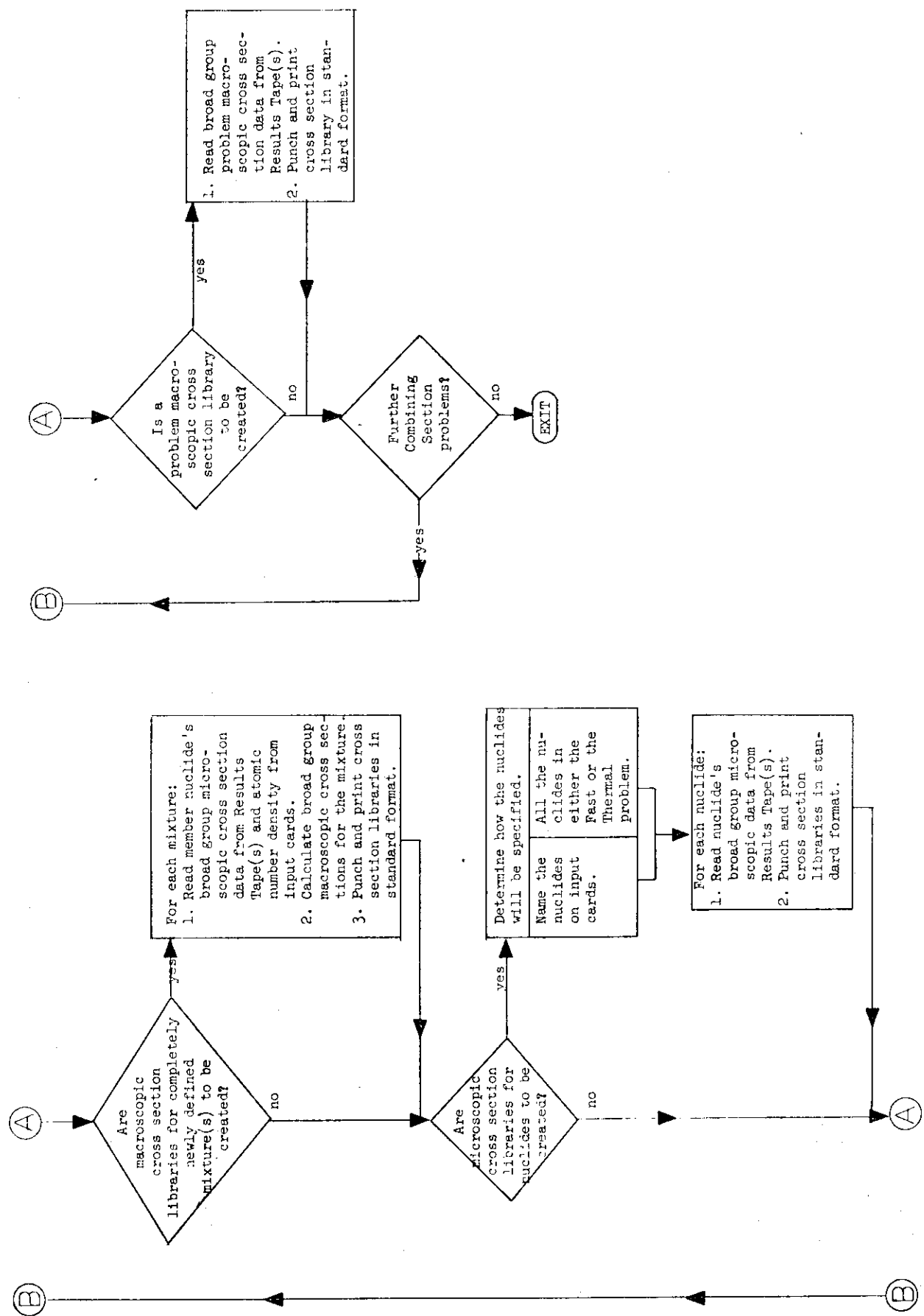


Table 5.13 Error messages

In case of an error message the computer run is usually terminated.

a) Fast Section

Table 5.13 (Continued)

Subroutine Where Message Printed	Subroutine Calling Error Subroutine	Error detected and error message printed.	Subroutine Where Message Printed	Subroutine Calling Error Subroutine	Error detected and error message printed.
FASTLINK	FASTLINK	Label on Results Tape does not agree with label specified by input. ERROR STOP IN LABEL CHECK OF FAST RESULTS TAPE	LINK1	LINK1	Resonance calc. requested for a nuclide which does not have resonance parameters on Fast Data Tape. NUCLIDE _____. _____. DOES NOT HAVE RESONANCE PARAMETERS ON DATA TAPE.
		TAPE REQUESTED = _____. TAPE MOUNTED = _____. Difficulty in reading Fast Data Tape number (1st record). ERROR ENCOUNTERED WHILE ATTEMPTING TO READ FAST DATA TAPE	GRID	LINK1	In resonance calculation, MESH INTERVALS EXCEED STORAGE LIMIT (501). TRY SMALLER (R) THAN _____. OR TRY SMALLER (S) THAN _____. In resonance calc. too many iterations IN CALCULATION OF PSI AND CHI, CONVERGENT SERIES UNCONVERGED AFTER 100 ITERATIONS. Problem continued with last values of psi and chi.
	LINK1	Fast data tape number does not agree with number specified by input. FAST DATA TAPE NUMBER _____. WAS LOADED INSTEAD OF TAPE NUMBER _____. WHICH WAS SPECIFIED.	CROSS	LINK1	
	LINK1	More nuclides are specified for problem than exist on Fast Data Tape. PROBLEM HAS _____. NUCLIDES, BUT FAST DATA TAPE HAS ONLY _____. NUCLIDES ON IT.	LINK1	LINK1	THE FAST DATA TAPE HAS A NEGATIVE I.D. NUMBER. A B- CALCULATION CANNOT BE PERFORMED. A BI CALCULATION WILL BE CARRIED OUT INSTEAD.
	LINK1	A nuclide number specified for problem not found on Fast Data Tape. NUCLIDE NUMBER _____. NOT ON FAST DATA TAPE NUMBER _____. NUCLIDES ON DATA TAPE ARE (list follows)	LINK1	LINK1	THE FAST DATA TAPE HAS A NEGATIVE I.D. NUMBER. IT IS IMPOSSIBLE TO EVALUATE 6 SPATIAL MOMENTS. ONLY 2 SPATIAL MOMENTS WILL BE CALCULATED.

Table 5.13 (Continued)

b) Thermal Section

Table 5.13 (Continued)

<u>Subroutine</u>	<u>Subroutine</u>	<u>Subroutine</u>	<u>Subroutine</u>	<u>Error detected and error message printed.</u>
<u>Where</u>	<u>Calling</u>	<u>Where</u>	<u>Calling</u>	<u>Error detected and error message printed.</u>
<u>Message</u>	<u>Error</u>	<u>Message</u>	<u>Error</u>	<u>Subroutine</u>
LINK 77				
				Label on Thermal Results Tape does not agree with label specified by input. ERROR STOP IN LABEL CHECK OF THERMAL RESULTS TAPE FOR GCC-3. TAPE REQUESTED = _____. TAPE MOUNTED = _____.
ERROR 8	by LINK 8			
				Label on Thermal data tape does not agree with label specified by input. WRONG DATA TAPE WAS MOUNTED ON TAPE UNIT _____. TAPE REQUESTED WAS _____. TAPE ACTUALLY MOUNTED WAS LABELED _____.
ERROR 8	by MNTP			
ERROR A	by LINK 12			
ERR 13	by LINK 13			
				The broad group upper energy boundaries were out of descending order on the input cards. BROAD GROUP ENERGIES ARE OUT OF ORDER. CHECK INPUT CARDS.
ERROR 8	by MNTP			
ERR 13	by LINK 13			
				A negative number was input for B^2 . NEGATIVE BUCKLING IS NOT PERMITTED.
ERROR 8	by MNTP			
ERROR A	by LINK 12			
ERR 13	by LINK 13			
				Some broad group boundary does not match an existing fine energy point from the data tape. ERROR* * BROAD GROUP ENERGY BOUNDARIES DO NOT CORRESPOND TO EXISTING ENERGY POINTS.

Table 5.13 (Continued)

c) Combining Section		Subroutine Where Message Printed	Subroutine Where Error Directed Printed	Error detected and error message printed.
COMBO	COMBO	Subroutine Where Error Directed Printed	ERR15	LCNTRL A fast nuclide identification number of 0.0 has been requested in the input.
		An error detected earlier during Fast or Thermal Section execution prevents execu- tion of Combining Section.		ERROR NUMBER 8
		AN ERROR HAS BEEN ENCOUNTERED EARLIER IN THE FAST SECTION OF THIS RUN. THIS RUN CANNOT BE CONTINUED.	ERR15 ERR15	LCNTRL LCNTRL A fast nuclide identification number not present on the Fast Results Tape has been requested.
		Neither a problem number from the Fast Results Tape nor a problem number from the Thermal Results Tape have been specified.	ERR15	LCNTRL A thermal nuclide identification number of 0.0 has been input although a Thermal Results Tape is being used.
		ERROR NUMBER 1		ERROR NUMBER 10 ERROR NUMBER 11
	PLOCA	A requested problem from the Fast Results Tape and presumably stored on the Fast Results Intermediate Storage Tape cannot be located.	ERR15 ERR 15	LCNTRL LCNTRL A thermal nuclide identification number not present on the Thermal Results Tape has been requested.
		ERROR NUMBER 4		ERROR NUMBER 12 ERROR NUMBER 13
	PLOCB	A requested problem from the Thermal Results Tape and presumably stored on the Thermal Results Intermediate Storage Tape cannot be located.	IPRINT	IPRINT Lower boundary of last fast broad group does not match upper boundary of first thermal broad group.
		ERROR NUMBER 5		ERROR - ABOVE LIMITS DO NOT MATCH THIS RUN CANNOT BE CONTINUED.

6 補助プログラム⁶⁾

GGC-4を用いる場合には、200核種以上含まれているマスターデータテープ (master data tape) から、ユーザーが使う為の、少ない核種からなるワーキングデータテープ (working data tape) を作り、これを用いた方が、計算時間の上からも得策である。このときに、合金（例えば、ステンレススチール、ハスティロイなど）のデータも作っておいて、ワーキングデータテープに含ませておけば、更に使いやすい。この他に、古いデータを取りかえたり、新しいデータを追加する機能もあればさらに便利である。これら一連の機能が補助コード群としてまとめられているので、以下に、用法の説明と使用例を示す。

おのおのの補助プログラムの機能の関係を Fig. 6.1 に示す。原研に存在するデータテープは、GAM用マスターデータテープ2本とGATHER用マスターデータテープ1本から成っている。GAM用とGATHER用とは、それぞれ殆んど同じ機能を持つ補助コード群から構成されている。

使用例は各補助コードの説明の後に付けてある。6.1.1節 (GAM用) と 6.2.1節 (GATHER用) はこれら説明の中で引用した注意事項をまとめたものであるので必要に応じて引用されたい。

6.1 GAM用補助プログラム

GGC-4コードのGAMセクションの為のライブラリーテープを作成するプログラム群がここで用意される。マスターデータテープには膨大な量の核種のデータが含まれているので、これを直接データテープとして用いるのは、計算時間の上から云っても得策でない。したがって、マスターデータテープから、予め、必要と思われる核種のデータを選びだして、使いやすい、短かい、ワーキングデータテープを作つておくプログラムが必要である。また、この際、ステンレススチールのようを合金も1核種として取り扱い、ワーキングデータテープに追加できるプログラムも必要である。これらのプログラムはいづれも用意されている。

6.1.1 入力に関する注意事項

Note 番号^{*1)} 注 意

- | | |
|---|--|
| 1 | I.D.number は、浮動小数点で表わす。小数点より左側の整数部は、核種のZ番号を示し、小数点以下の数字は、質量数を示す。例を示すと、モリブデンは、I.D.number は 42.000、その同位元素Mo-94 の I.D.number は 42.094 である。また、共鳴パラメータを持つ核種に対しては、上記の数字の最後尾に、その印の数字 1 を付け加える。例えば、共鳴パラメータを持つMo-94 の I.D.number は 42.0941 となる。ひとつの同位元素からなる核種は、I.D.number がそのままその核種を示すこととなる。例えば、 ⁹ Be = 4.009。核種を沢山指定するときは、I.D.number が増加する方向に入力すること。 |
|---|--|

* 1) 入力形式の中での説明で note # [番号] と示してあるときはこの note 番号のことである。

2 非分離共鳴の計算は各エネルギー点で行われ、結局、そこでエネルギー平均断面積として求められる。非分離共鳴の数は、断面積が計算されたエネルギー点の数である。最初のエネルギー点は、分離共鳴と非分離共鳴との切断エネルギー E_c である。そして、次々と高い方へ、エネルギー境界(点)をとっていく。次の核種に来るまでこれが続く。

3 σ_p はスピンに依存しない、ポテンシャル散乱断面積である。

4 S-factor は、共鳴積分の計算で、单一共鳴レベルに対するエネルギー積分の範囲を計算するのに用いられる。共鳴エネルギー E_0 附近で主に寄与する共鳴積分 I_p (E_0) は次式で表わされる。

$$I_p(E_0) = E_1 \int_0^{\ln(E_1 / (2E_0 - E_1))} F(u) \frac{\sigma_{ao}}{\sigma_t} e^{-u} du$$

ここで、 E_1 は積分範囲に関する量で、次式で示される(4.2節を参照)。

$$E_1 = E_0 + \frac{1}{2} S \Gamma_p$$

または

$$E_1 = E_0 + 1.0 \Gamma_D$$

この S がここで入力される S-factor で、 ^{238}U や ^{232}Th に対しては 5 の値がよく用いられる(文献 9 の § 2.1.2)。

5 非分離共鳴計算では、S 波共鳴のみとするので、ここでの D は、S 波共鳴に対する平均レベル間隔を示す。

6 平均巾、 $\langle \Gamma_n^0 \rangle$ および $\langle \Gamma_r \rangle$ は eV で入力する。

7 r-factor は、分離型の共鳴積分計算のときに用いられる数値積分の際のメッシュ間隔に関する量である。メッシュ間隔は、 $\epsilon = \Gamma_D / (r E_0)$ で与えられる。 Γ_D は(4.8)式の Doppler 巾で、 E_0 は共鳴エネルギーである。もし r に何も入力しないと、コードの中では、 $r = 5.0 + 0.25 \Gamma_D / \Gamma$ として計算される。

8 P_0 slab array は、分離共鳴計算における板状格子の衝突確率である。正確な P_0 array を入力すべきであるが、極端な稠密格子でなければ普通は近似式が用いられる。GGC で用意されているのは、近似で、文献 1) の appendix-II に示してある。このことは P_0 cylinder array でも同様である。

9 P_0 cylinder array は、円筒状格子に対する衝突確率である(Note 8 参照)。

10 J volume table は、非分離共鳴計算のときに用いられる(4.5.3)式の $J(\xi, \beta)$ 関数の配列である。 $J(\xi, \beta)$ は Nather, Nordheim 等によって与えられたテーブルから内挿して用いられる。⁹⁾

11 ここで用いるエネルギー点は、Thermal section (G A T H E) で用いるエネルギー点と一致していなければならぬ。エネルギーの高くなる方向に順次入力する。

12 それぞれのエネルギーグループに対する核分裂スペクトラム (fission spectrum) χ_i は、核分裂スペクトラムの全エネルギーに対する和、ICに対する割合として入力する。すなわち、

$$\text{NEP-1} \\ \sum_{i=1}^{\infty} \chi_i = 1.000$$

で、NEPは、Fast section の微細エネルギー境界点 (99点) の数を示す (エネルギーグループ数 + 1)。

13 後述の SS (16) は、 P_0 弹性散乱マトリックスの配列の数である。 P_1 , P_2 , および P_3 の配列の数も P_0 と同じ数でなければならない。

14 SS (17) は、入射エネルギーグループの数である。Fast section のライブラリーデータで用いられている微細エネルギーグループ数 (99.0) と等しい。

15 SS (18) は、弾性散乱マトリックスにおける下方散乱のエネルギーグループ数の最大の値で、それ自身のエネルギーグループ内の散乱 (in-group term) を含む。

16 SS (19) から SS (24) は、弾性散乱のときに与えたデータと同様に入力する。 P_1 , P_2 , および P_3 の配列は、非弾性散乱および (n , $2n$) 散乱に対しては入力しない。

17 SS (27) は、全ての種類の散乱 [弾性、非弾性、(n , $2n$)など] マトリックスの配列の数の総和である。Fast section 99 エネルギーグループ数から成っているので、こゝでの値は、一般には 5049 である。

18 1 次元データの配列は、次の指標 (I.D.) に従って、順次入力される。

I.D. 反応断面積の種類

- 1 吸収
- 2 核分裂
- 3 ν , 核分裂によって生まれた核分裂中性子の平均数 (遅発中性子も含む)。
- 4 (n , r), 捕獲吸収
- 5 (n , p)
- 6 (n , α)
- 7 (n , d)
- 8 (n , t)
- 9 (n , n)_p
- 10 (n , n)_d

- 11 $(n, n)_t$
 12 $(n, t)_{2\alpha}$
 13 $(n, n)_{d, 2\alpha}$
 14 $(n, t)_{\alpha}$
 15 $(n, 2\alpha)$

上記以外の反応断面積があれば、15より大きい I.D. を与えて入力すればよい。

- 19 弹性 P_0 散乱断面積は、間を空けないで次のように配列する。単位はバーン (barns) である。

$$\begin{aligned} \sigma^0_{1 \rightarrow 1}, \sigma^0_{1 \rightarrow 2}, \sigma^0_{1 \rightarrow 3}, \dots, \sigma^0_{1 \rightarrow [1+SS(18)-1]}, \sigma^0_{2 \rightarrow 2}, \sigma^0_{2 \rightarrow 3}, \\ \dots, \sigma^0_{2 \rightarrow [2+SS(18)-1]}, \sigma^0_{3 \rightarrow 3}, \sigma^0_{3 \rightarrow 4}, \dots, \\ \sigma^0_{3 \rightarrow [3+SS(18)-1]}, \dots, \\ \sigma^0_{N \rightarrow N}, \sigma^0_{N \rightarrow N+1}, \dots, \sigma^0_{N \rightarrow [N+SS(18)-1]}, \dots \end{aligned}$$

全配列数は、SS(16)で与えた数だけある。同様にして、弹性 P_1 , P_2 , P_3 散乱断面積も配列する。

- 20 非弹性および $(n, 2n)$ 散乱断面積も P_0 弹性散乱断面積と同様の配列をする。しかし、散乱のエネルギーグループ数が、これらの断面積に対して、一般には 100 としているので、非弹性散乱断面積に対して示せば次のような配列になる。

$$\begin{aligned} \sigma_{1 \rightarrow 1}^{in}, \sigma_{1 \rightarrow 2}^{in}, \dots, \sigma_{1 \rightarrow 100}^{in}, \sigma_{2 \rightarrow 2}^{in}, \sigma_{2 \rightarrow 3}^{in}, \dots, \sigma_{2 \rightarrow 100}^{in}, \\ \sigma_{3 \rightarrow 3}^{in}, \sigma_{3 \rightarrow 4}^{in}, \dots, \sigma_{3 \rightarrow 100}^{in}, \dots, \sigma_{ss(20) \rightarrow ss(20)}^{in}, \dots, \\ \sigma_{ss(20) \rightarrow 100}^{in}. \end{aligned}$$

99 エネルギー点を持つ現在のライブラリーテープでは、これより下に 100 エネルギーグループを dump として持っている。したがって、99 エネルギーグループの境界 (0.414 eV) より下の全てのエネルギーに散乱する散乱断面積を持つことになる。

- 21 N E P は、微細エネルギーグループの数 + 1 の数である。現在のライブラリーデータは、99 エネルギーグループなので、結局 N E P = 100 である。

- 22 Fast section (GAM) の計算では、熱中性子スペクトラム計算 (GATHER) の為の減速中性子源を求めることもできる。したがって Thermal section (GATHER) のライブラリーのエネルギー mesh 点がここで与えられている。

23 共鳴を持つ全ての核種の共鳴パラメータは、Fast section (GAM) の計算の際に、共鳴計算が最初に遂行されるように、データテーブルの初めの処にまとめて置かれている。

24 BST (I) は、エネルギーグループ i に対する σ_{total} で、次のように定義される。

$$\begin{aligned}\sigma_i^{\text{total}} = \sigma_i^{\text{abs}} + \sum_{j=1}^{j=[i+ss(18)-1]} \sigma_{j \leftarrow i}^0 (\text{elastic}) \\ + \sum_{j=1}^{j=100} \sigma_{j \leftarrow i}^{\text{in}} + \sum_{j=1}^{j=100} \sigma_{j \leftarrow i}^{n, 2n}\end{aligned}$$

25 $i \rightarrow j$ の、全散乱マトリックスは次式で定義される。

$$\sigma_{j \leftarrow i}^{\text{total scattering}} = \sigma_{j \leftarrow i}^0 (\text{elastic}) + \sigma_{j \leftarrow i}^{\text{in}} + 2 \sigma_{j \leftarrow i}^{n, 2n}$$

26 エネルギーグループ i に対する散乱断面積は、次式で定義される。

$$\sigma_i^{\text{scatter}} = \sum_{j=i}^{j=[i+ss(18)-1]} \sigma_{j \leftarrow i}^0 (\text{elastic})$$

27 エネルギーグループ i に対する P_1 非等方成分の散乱断面積は次式で定義される。

$$\sigma_i^{P_1 \text{ scatter}} = \sum_{j=i}^{j=[i+ss(18)-1]} \sigma_{j \leftarrow i}^1$$

6.1.2 マスターデータテーブルの作成：MAKEコード

MAKEコードは GAM用マスターイブラリテーブルを作成する。カードからでも、他のテーブルからでもよい。新しい核種を追加したり、不要の核種を削除したりすることも可能である。これらの機能は、マスターデータテーブルに対しても、ワーキングテーブルに対しても適用できる。

6.1.3 ワーキングデータテーブルの作成：MSTコード

MSTコードは、含まれている核種の少いハンディなワーキングデータテーブルを作成する。核計算に必要と思われる核種を、予め、マスターデータテーブルから選び出して核種の少ないデータテーブルを作るので、このテーブルを用いれば、テーブルから核種を探しだす時間がかなり縮少できる。

また別の機能として、全核種の散乱マトリックスの非等方成分を制限（例えば、 P_0 と P_1 散乱のみ）することができる。

6.1.4 合金物質の作成：MIXERコード

MIXERコードはデータテーブル（マスターデータテーブルまたは、ワーキングデータテーブル）に含まれている核種の中から、2つ以上を選び出して、ひとつの核種として扱う機能を持

っている。例えば、ステンレススチール (S S T 3 0 4 は Fe, Cr, Ni, Mn, Si, C から成っている)¹⁷⁾ やハステロイ (Hasteloy-X は Ni, Cr, Fe, Mo, O o, Mn, W から成っている¹⁸⁾) を作る如きである。合金の成分比は原子数比 (atomic density fraction) で与えなければならない。よく使われる合金などの成分比は文献 17) および 18) に示されている。結果はパンチカードで出力され、データテーブルへの追加は MAKE コードによって行われる。

合金 (こゝでは, alloy, compound, mixture などを指す) の作成は次式による。

$$\sigma_x \text{ (合金)} = \sum_{i=1}^N w_i \sigma_{x_i} \quad (6.1)$$

こゝで, w_i は合金を作る際の原子数比^{*2)} で示された成分比であり, N は合金の成分の核種の数である。散乱マトリックスについても式 (6.1) に従う。

6.1.5 データテーブルの内容のプリント : F P R I N T コード

F P R I N T コードは、データテーブル (マスターデータテーブル又はワーキングデータテーブル) の内容の一部又は全部をプリントさせる機能を持つ。その際、散乱マトリックスをプリントから削除することもできる。

*2) 材料関係の文献では合金の成分比として重量比 (Weight fraction) として記されていることが多いので、原子数比に換算しなければならない。

6.2 GATHER用補助プログラム

GGG-4のGATHERコードのためのライブラリーテープを作成するプログラム群がここで用意される。これらのデータテーブでは GAMコード(99レサーチ一点)と異って、101点のエネルギー一点で示されていて、エネルギー範囲は、0.0 eVから2.38 eVまでである。したがって、あるエネルギー一点の断面積 σ_i は、 ΔE_i の巾の断面積を意味する。

GAM用と同様な機能をもつプログラムがここに示されている。MGTコードは、マスターデータテーブからマスターデータテーブを作る。WTFGコードは、データテーブを作成したり、核種を追加したり、またそれを削除したりする。この他に、合金を作るCOMBINコード、データテーブの内容をプリントするSPRINTコードがある。

6.2.1 入力に関する注意^{*}

Note番号	注 意
1	このカードにパンチされている文字は、古いテープに書かれているラベルと、文字の位置および内容が全て一致していなければならない。
2	ユニット番号、12と14はラベル付きのテープで、13はラベルなしのテープである。OPT = 0.0は、新しいデータテーブの作成か、新しいデータを古いテープに追加するか、のときに適用される。
3	吸収断面積、核分裂断面積、あるいは、捕獲吸収断面積が $1/v$ であるときは、後述のWTFGコードは、GATHERのNRG微細エネルギー一点での断面積としてこれを計算することができる。
4	共鳴パラメータが Thermal Data tape に書かれているが、GATHERコードの計算では決して用いられない。
5	後でTable 6.5 Aに示されるKERN = 0のときは、KCALCは無視される。
6	Table 6.5 Aで、UBAR = 0.0のときは、NRGエネルギー一点での σ_{tr} が card 14で読み込まれる。 $0.0 < UBAR < 1.0$ のときは、UBAR = $\bar{\mu}$ として読み込まれ、 σ_{tr} は、WTFGコード内で、次式によって計算される。
	$\sigma_{tr} = \sigma_{abs} + (1 - \bar{\mu}) \sigma_s$
	ここで、 σ_s は散乱断面積：SSC (NRG) であり、 $\bar{\mu}$ は、実験室系における、散乱角度の cosine の平均値である。
	UBAR ≥ 1.0 のときは、UBARは、標的核の質量を示し、 $\bar{\mu} = 1. - 2 / (3 \times UBAR)$ として計算され、 σ_{tr} が求められる。
7	ν = 核分裂事象当りの発生中性子数で、エネルギーに無関係な定数。
8	自由原子散乱断面積 (σ_{fa}) は後述の(6.9)式の中で用いられている。
9	Table 6.5 AでBSORC = 0.0のときは、水素を含まない物質に対しての

*) 6.1.1節の欄外注*1)参照

減速中性子源で、(6.14)式および(6.15)式から計算される。BSORC = 1.0 のときは、水素を含む物質に対してのそれで、(6.16)式および(6.17)式から計算される。 \bar{E} は、card 31 で与えられる。

10 入力される散乱カーネルの最も高いエネルギー点が、このデータテーブに既にあるデーターの最も高いエネルギー点 E_c より小さいならば、自由ガスモデルの散乱カーネルが、入力散乱カーネルの不足分として計算され、追補される。

11 card 20 の TGAS は、自由ガス散乱カーネルの計算の際に用いられる実効温度で、°K で示し、一般には GASKET コードの出力から得られる。GASKET コードの中で計算される実効温度は、TOTAL TBAR と呼ばれ、eV で示されていて、TGAS とは次式の関係を持つ。

$$TGAS = (\text{TOTAL TBAR}) / 8.6164 \times 10^{-5}.$$

12 Be および黒鉛のような、多結晶格子を持つ減速材の散乱カーネルは、干渉性弾性散乱断面積が必要である。そのときは card 21 および card 22 が必要である。

13 干渉性散乱断面積の P_0 および P_1 成分は、一般には、HEXSCAT コードで計算される。これらの数値は、自由原子散乱断面積に規格化されている。すなわち、 $SFA = \sigma_{fa}$ を使い

$$\begin{aligned} & SDO(E_i) \quad [\text{テーブ上の}] \\ & = SFA \times SDO(E_i) \quad [\text{入力される量}], \\ & \text{および} \\ & SD1(E_i) \quad [\text{テーブ上の}] \\ & = SFA \times 3.0 \times SD1(E_i) \quad [\text{入力される量}]. \end{aligned}$$

14 WTFG コードに対する入力としては、それ自身のエネルギーグループに対する散乱カーネルと下方散乱のカーネルのみで全散乱カーネルとしての散乱マトリックスは、このコードの中で計算される。すなわち、詳細釣り合い則 (detailed balance principle) を用いて、上方散乱の項が計算される。エネルギー点 j から i へ散乱に対する上方散乱の項は、

$$K_s(E_j \rightarrow E_i) = K_s(E_i \rightarrow E_j) \frac{E_i}{E_j} e^{-(\frac{E_i - E_j}{kT})}$$

で与えられる。結局、データテーブの中では、散乱マトリックスの全配列が書かれていて、それらは、barns/eV で示されている。 P_0 散乱の配列は、SO(I, J) で示され、WTFG コードでは次式で計算される。

$$SO(I, J) = \sigma_{fa} \times K_s^0(I, J)$$

そして、 P_1 散乱に対しても同様に

$$S1(I, J) = 3.0 \times \sigma_{fa} \times K_s^1(I, J).$$

15 DE(I)は、エネルギー点の処で、△Eの巾を持つ量で次式で与えられる。

$$DE(I) = \frac{E(I+1) - E(I-1)}{2}$$

16 吸収タイプの物質に対する散乱断面積：SSC(I)は、WTFGコードで入力として与えられるか、あるいはWTFGコード内で散乱カーネルとして計算され、次の様にして求められる量である。

$E(I) \leq \alpha \times E_c$ に對して [$E_c = E(NRG)$: 热エネルギー点の上限] ,

$$SSC(I) = SDO(I) + \sum_{J=1}^{NRG} SO(I, J) \times DE(J) .$$

しかし、 $E(I) > \alpha \times E_c$ に對しては、中性子が E_c より高いエネルギーへ散乱されることもあるので、この分については、自由ガスモデルによる散乱断面積として追補され、結局

$\alpha \times E_c \leq E(I) \leq E_c$ に對して

$$SSC(I) = SDO(I) + \sum_{J=1}^{NRG} SO(I, J) \times DE(J)$$

$$+ \sigma_{fa} \times \frac{kT}{1-\alpha} \times [e^{-\frac{E_c - E(I)}{kT}} - \frac{1-\alpha}{\alpha} \times e^{-\frac{E(I)}{kT}}]$$

17 card 25 で

- 1) 新しい ν の値を入力 [word 4 (:NF) < 0] すべきときは、card 15 の YNU に入力する。
- 2) 新しい σ_f の値を入力 [word 5 (:NF) > 0 か = -4] すべきときは、card 16 に入力する。
- 3) 新しい共鳴パラメータを入力 [word 5 (:NRS) = 1 のとき] すべきときは、card 17 および card 18 に入力する。
- 4) 散乱カーネルの入力パラメータを変更 [word 6 (:NCHGK) > 0 のとき] するときは、card 19 に入力する。
- 5) 新しい散乱カーネルを入力 [word 6 (:NCHGK) = 2 のとき] するときは、card 20 から card 24 までに入力する。

6.2.2 マスターデータテーブの作成；WTFGコード

WTFGコードは、一般に新しいマスターデータテーブを作成する。データテーブの内容の一部を入れ換えたり、新しい核種を追加したり、古い核種を削除したりすることもできる。入

力はパンチカードで行ったり、あるいは、他のデータテープから読み込んだり、またあるいは、カードとテープを併用することができる。新しい核種を追加するときには、元のデータの最後尾に追加するので、この最後尾の核種のより大きい I.D. number にしなければならない。WTFGコードでは、ある核種の一部（例えば、 σ_c のみとか）、または全ての内容を他のものと交換することもできる。

散乱カーネルは、パンチカードで入力する（例えば GASKET²⁵⁾ - FLANGE²⁴⁾^{*4)} の出力も。自由ガス散乱カーネルは WTFG コードに内蔵されている。散乱カーネルは下方散乱のみが、入力または計算され、上方散乱は詳細釣合い則（detailed balance principle）によつて求められる（Note 13 参照）。自由ガスモデルの P_0 および P_1 下方散乱マトリックスは次式によつて計算される。すなわち、 $E' > E$ に対して

$$K_s^0(E' \rightarrow E) = \frac{\eta^2}{\sqrt{E'}} [\operatorname{erf}(\eta x - \rho y) + \operatorname{erf}(\eta x + \rho y)] \\ + e^{y^2 - x^2} [\operatorname{erf}(\eta y - \rho x) - \operatorname{erf}(\eta y + \rho x)] \quad (6.1)$$

$$K_s^1(E' \rightarrow E) = \frac{\eta^2}{2y^2} \sqrt{\frac{M}{EE'}} \{ [\eta x^2 - \rho y^2 \sqrt{\frac{M}{E}}] [\operatorname{erf}(\eta x - \rho y) + \operatorname{erf}(\eta x + \rho y)] \\ + [\eta y^2 - \rho y^2 \sqrt{\frac{M}{E}}] e^{(y^2 - x^2)} [\operatorname{erf}(\eta y - \rho x) - \\ - \operatorname{erf}(\eta y + \rho x)] + \frac{2}{\sqrt{M}} [(x+y) e^{-(\eta x - \rho y)} \\ - (x-y) e^{-(\eta x + \rho y)}] \} \quad (6.2)$$

ここで、 E' および E はそれぞれ、中性子の衝突前および衝突後のエネルギーであり、

$$\eta = \frac{M+1}{2\sqrt{M}} \quad (6.3)$$

$$\rho = \frac{M-1}{2\sqrt{M}} \quad (6.4)$$

$$x = \sqrt{\frac{E}{kT}} \quad (6.5)$$

$$y = \sqrt{\frac{E'}{kT}} \quad (6.6)$$

*4) GASKET コードから得られた S (α, β) から FLANGE コードによって下方散乱のマトリックスが計算される。

$$M = \sqrt{\frac{m'}{m}} \quad (6.7)$$

である。 m' は減速材の質量で、 m は中性子の質量であり、 k はボルツマン定数で、 T は減速材の温度である。

入力としての散乱カーネルのエネルギーの上限が、既にデータテーブルに存在する散乱カーネルの上限エネルギー E_c (普通は 2.38 eV) より小さければ、不足分の散乱カーネルは自由ガスモデルからの計算結果が付け加えられる。

WTFG コードは、散乱カーネルを持つ物質の輸送断面積を次式によって計算する。すなわち

$$\sigma_{tr}(E') = \sigma_a(E') + \sigma_s(E') - \frac{\sigma_{fa}}{3} \int_0^{\infty} K_s^1(E' \rightarrow E) dE \quad (6.8)$$

ここで、 $\sigma_a(E')$ は吸収断面積で、 $\sigma_s(E')$ は全散乱断面積で、 σ_{fa} は自由原子散乱断面積でエネルギーに依存しない量である。自由ガスモデルに対しては、 $K_s^1(E' \rightarrow E)$ は (6.2) 式から得られる。他のモデルに対しては、WTFG コードに入力しなければならない。自由ガスモデルの全散乱断面積は、

$$\sigma_s(E') = \sigma_{fa} \int_0^{\infty} K_s^0(E' \rightarrow E) dE \quad (6.9)$$

干渉性の弾性散乱が重要な物質に対しては、

$$\sigma_s(E') = \sigma_{coh}(E') + \sigma_{fa} \int_0^{\infty} K_s^0(E' \rightarrow E) dE \quad (6.10)$$

ここで、 $\sigma_{coh}(E')$ は、干渉弾性散乱断面積で、HEXS CAT コード²⁶⁾で計算される。ベリリウム (Be)，黒鉛 (graphite) などの計算に用いられる。

WTFG コードは、また、GGC-4 の熱中性子領域である GATHER 計算に用いるための減速源 (slowing down source) の P_0 および P_1 成分を計算する。これらは、散乱カーネルを持つ各々の物質に対して求められる。水素を含まない物質に対しては、 $\frac{1}{E}$ スペクトラムを仮定した自由ガスモデルによって求められる。

i) 水素を含まない物質について

この減速材に対する減速源は、等方散乱成分については、

$$Q^0(E) = \int_{E_c}^{\infty} \sigma_{fa} \cdot K_s^0(E' \rightarrow E) \phi(E') dE' \quad (6.11)$$

非等方散乱成分 (P_1) については

$$Q^1(E) = \int_{E_c}^{\infty} \sigma_{fa} \cdot K_s^1(E' \rightarrow E) \phi(E') dE' \quad (6.12)$$

で与えられる。これは、0.0 eV から E_c (普通は 2.38 eV) までのエネルギー点 (101 点) に対して求められる。(6.11) 式の積分は実際には次のように書くことができる。

$$Q_i^0 = \int_{E_c}^{E_i/\alpha} \frac{\sigma_{fa}}{(1-\alpha)E'} - \frac{dE'}{E'} \quad (6.13)$$

σ_{fa} はエネルギーに依存しない量なので、更に次のように書くことができる。

$$Q^0(E_i) = \frac{\sigma_{fa}}{1-\alpha} \left(\frac{1}{E_c} - \frac{\alpha}{E_i} \right) \quad (6.14)$$

Q^1 に対しても同様にして

$$\begin{aligned} Q^1(E_i) &= \frac{2}{3} \frac{\sigma_{fa}}{1-\alpha} \left[\frac{2(A+1)}{3} \left\{ \frac{\sqrt{E_i}}{(E_c)^{\frac{3}{2}}} - \frac{\alpha^{\frac{3}{2}}}{E_i} \right\} \right. \\ &\quad \left. - 2(A-1) \left\{ \frac{1}{\sqrt{E_c E_i}} - \left(\frac{A-1}{A+1} \right) \frac{1}{E_i} \right\} \right] \end{aligned} \quad (6.15)$$

ここで、 $\alpha = \left(\frac{A-1}{A+1} \right)^2$ 。

ii) 水素を含む物質について

WTFG コードは、分子結合を考慮した減速材が計算できる。普通は水素系減速材 (例えば H_2O , ZrH など) に対して適用される。 $\frac{1}{E}$ スペクトラムを仮定すると次のように書くことができる。

$$Q^0(E_i) = \frac{\sigma_{fa}}{E_c} \operatorname{erf}(x) \quad (6.16)$$

および

$$Q^1(E_i) = \frac{2 \sqrt{E_i}^{\frac{3}{2}}}{(E_c)^2} \cdot \sigma_{fa} \left[\left(1 - \frac{1}{x^2} \right) \operatorname{erf}(x) + \frac{2}{\sqrt{\pi}} \frac{1}{x} e^{-x^2} \right] \quad (6.17)$$

ここで、

$$x = \sqrt{\frac{E_i}{\bar{E}}} \quad (6.18)$$

で、 \bar{E} は結合水素原子の平均運動エネルギーの $2/3$ である。 H_2O の水素に対しては、 $\bar{E} = 0.117$ eV, ZrH の水素に対しては 0.065 eV (常温) が用いられるが、実際は減速材の温度によって若干異なる³⁰⁾。

6.2.3 ワーキングデータテーブの作成：MGTコード

MGTコードはワーキングデータテーブを作る為に、データテーブから核種を選びだす機能をもつ。散乱カーネルはテープから読み込むとき時間がかかるので、省略することもできる。

6.2.4 合金物質の作成：COMBINコード

COMBINコードは、核分裂生成物 (fission products mixture) や合金 (metal alloy)^{17) 18)} のような物質の吸収断面積を作成する。したがって、核分裂する核種や、散乱カーネルを持つ核種は取り扱うことはできない。結果はパンチカードとして出力されるが、データテーブへの追加はCOMBINコードではできない。それはWTFGコードによってなされる。散乱カーネルは、WTFGコードで付けることができる。

6.2.5 データテーブの内容のプリント：PRINTコード

PRINTコードは、データテーブの核種の全て、あるいは一部をプリントする。その際に散乱カーネルを省略することもできる。

6.2.6 共鳴断面積の計算：DOPコード¹¹⁾

DOPコードは、与えられた温度で、吸収、核分裂、および散乱等のDoppler共鳴断面積を計算する。計算は、Maxwellの速度分布を持つと仮定した吸収原子に対して、単一レベル、S波のBreit-Wigner公式を数値的に解くことによって行われる。こゝではHinman-Sampson¹¹⁾による計算式を示す。

捕獲吸収および核分裂断面積は、次式によって求められる。

$$\sigma_{n,x}(E) = \sqrt{\frac{\beta}{4\pi}} \cdot \frac{1}{E} \int_0^{\infty} dE_r / \sqrt{E_r} \cdot \sigma_{n,x}(E_r) \times \{ e^{-\beta(\sqrt{E_r} - \sqrt{E})^2} - e^{-\beta(\sqrt{E_r} + \sqrt{E})^2} \} \quad (6.19)$$

こゝで、xは捕獲吸収あるいは核分裂断面積を意味し、

$$\beta = \frac{A}{kT}$$

A = 吸収核と中性子との質量の比

k = Boltzmann 定数

T = 吸収物質の温度

E = 中性子のエネルギー

E_r = 吸収核と中性子との相対エネルギー

である。

断面積、 $\sigma_{n,x}(E_r)$ は次式によって与えられる [(4.1) 式参照] :

$$\sigma_{n,x}(E_r) = (\sigma_{n,x})_0 \sqrt{\frac{E_0}{E_r}} \left[\frac{\Gamma(E_0)}{\Gamma(E_r)} \right]^2 \frac{1}{\left[\frac{E_r - E_0}{\Gamma(E_r)} \right]^2 + 1} \quad (6.20)$$

ここで

$$(\sigma_{n,r})_0 = \left(\frac{A+1}{A}\right)^2 \cdot \frac{2\pi\hbar^2}{m} \cdot g \cdot \frac{1}{\sqrt{E_0}} \cdot \frac{\Gamma_n^0 \Gamma_r}{[\Gamma(E_0)]^2} \quad (6.21)$$

および

$$(\sigma_{n,f})_0 = \left(\frac{A+1}{A}\right)^2 \cdot \frac{2\pi\hbar^2}{m} \cdot g \cdot \frac{1}{\sqrt{E_0}} \cdot \frac{\Gamma_n^0 \Gamma_f}{[\Gamma(E_0)]^2} \quad (6.22)$$

この式で、

$$g = \frac{1}{2} \left(\frac{2J+1}{2I+1} \right); \text{ 統計スピン因子}$$

J = 複合核のスピン、

I = 標的核のスピン、

一般には、 J は未知なことが多いので、 g は次のように考える。標的核が偶一偶核ならば $I = 0$ なので、 $g = 1$ とし、そうでない ($I \neq 0$) ならば、 $g = \frac{1}{2}$ とする。例えば ^{240}Pu は $g = 1$ であり、 ^{239}Pu は $\frac{1}{2}$ である (文献 34) 参照)。

式 (6.19), (6.20), (6.21), (6.22) を用いると、捕獲吸収および核分裂の断面積は

$$\begin{aligned} \sigma_{n,x}(E) &= 2.6 \times 10^6 \cdot g \cdot \frac{\Gamma_n^0 \Gamma_x}{E} \cdot \left(\frac{A+1}{A}\right)^2 \sqrt{\frac{\beta}{4\pi}} \\ &\times \int_0^\infty \frac{dE_r \{ e^{-\beta(\sqrt{E_r}-\sqrt{E})^2} - e^{-\beta(\sqrt{E_r}+\sqrt{E})^2} \}}{\Gamma^2(E_r) + 4(E_r - E_0)^2} \quad (6.23) \end{aligned}$$

一方、一般IC散乱断面積は

$$\sigma_{n,n}(E) = \sigma_p + \sqrt{\frac{\beta}{4\pi}} \cdot \frac{1}{E} \int_0^\infty dE_r \sqrt{E_r} \sigma_{n,n}(E_r) \quad (6.24)$$

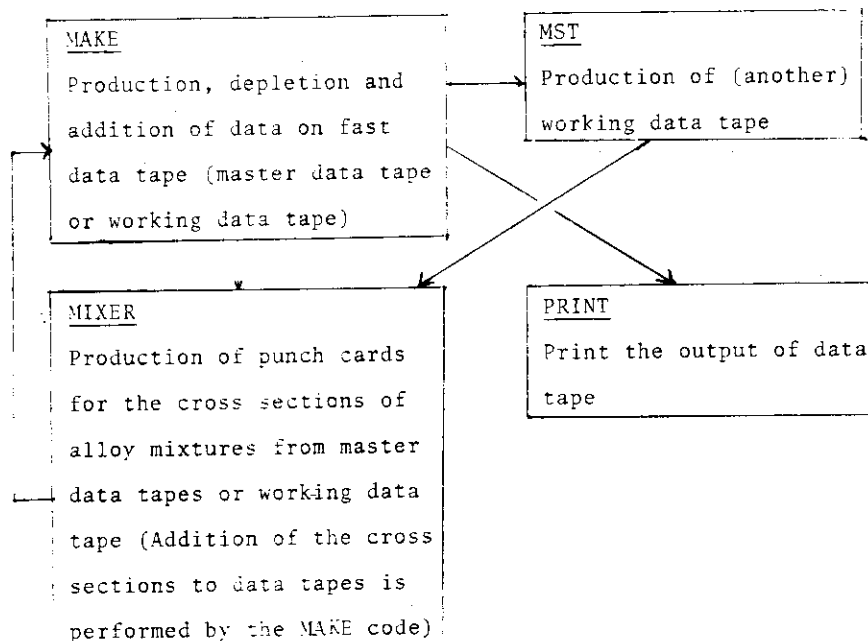
$$\begin{aligned} &= \sigma_p + \sqrt{\frac{\beta}{4\pi}} \cdot \frac{1}{E} \int_0^\infty dE_r \sqrt{E_r} \{ e^{-\beta(\sqrt{E_r}-\sqrt{E})^2} - e^{-\beta(\sqrt{E_r}+\sqrt{E})^2} \} \\ &\times \left\{ (\sigma_{n,n})_0 \left(\frac{\Gamma(E_0)}{\Gamma(E_r)} \right)^2 \frac{1}{\left(\frac{E_r - E_0}{\Gamma(E_r)} \right)^2 + 1} \right. \\ &\left. + 4 \sqrt{g \sigma_p (\sigma_{n,n})_0} \frac{\Gamma(E_0)}{(\Gamma(E_r))^2} \frac{E_r - E_0}{\left(\frac{E_r - E_0}{\Gamma(E_r)} \right)^2 + 1} \right\} \quad (6.25) \end{aligned}$$

ここで、 $\sigma_p = 4 \pi R^2$ (R は剛体球と考えたときの半径)は、スピンおよびエネルギーに依存しないバックグラウンド散乱断面積で、ポテンシャル散乱断面積と呼ばれているものである。
(6.25)式の第2項の被積分関数の中で、 $4\sqrt{g\sigma_p \cdot (\sigma_{n,n})_0}$ が付いている項は、ポテンシャル散乱と共鳴散乱との干渉項である。

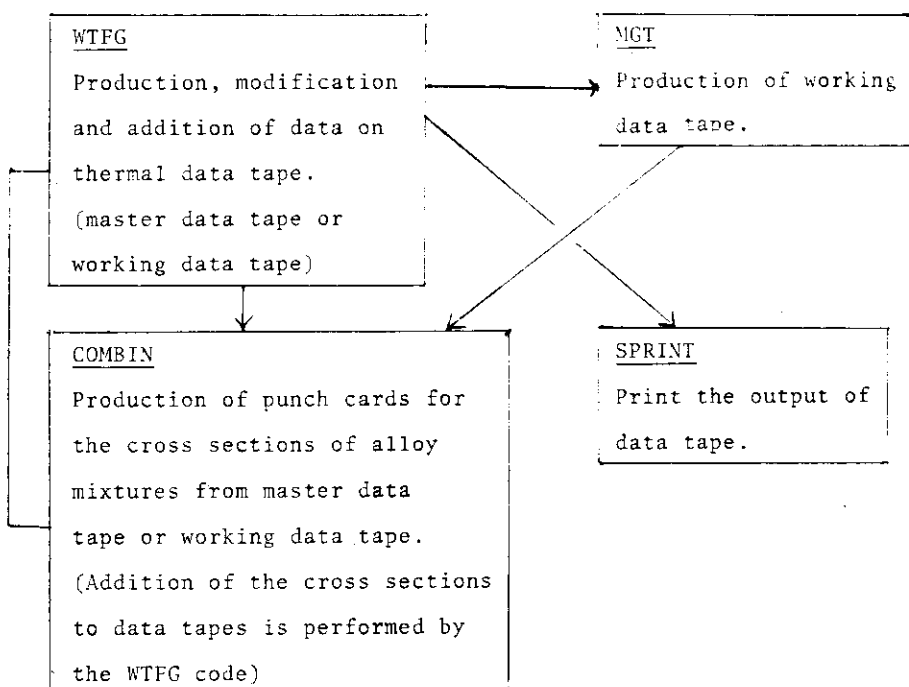
多くの場合、干渉項の寄与は小さいので、DOPコードでは、干渉項は無視している。ある低い共鳴散乱のときに、干渉項が無視できないときもある。このときの散乱断面積は、干渉項を無視したものと比べると、より大きい値となる。

したがって、DOPコードでの散乱断面積は、次式によって計算される。

$$\begin{aligned} \sigma_{n,n}(E) &= \sigma_p + 2.6 \times 10^6 \left(\frac{A+1}{A} \right)^2 \cdot g \cdot \sqrt{\frac{\beta}{4\pi}} \cdot \frac{(\Gamma_n^0)^2}{E} \\ &\times \int_0^\infty dE_r \frac{\sqrt{E_r}}{(\Gamma(E_r))^2 + 4(E_r - E_0)^2} \\ &\times \{ e^{-\beta(\sqrt{E_r} - \sqrt{E})^2} - e^{-\beta(\sqrt{E_r} + \sqrt{E})^2} \} \quad (6.26) \end{aligned}$$



a) Data tapes for GAM code



b) Data tapes for GATHER code

Fig. 6.1 Preparation of data tapes

JAERI-M 5991

Table 6.1A Input data for MAKE code

Word	1	2	3	4	5	
Column	1-12	13-24	25-36	37-48	49-60	
Format	Decimal	Decimal	Decimal	Decimal	Decimal	
Card	Will an old tape be used? O. = No 1. = Yes	Tape I.D. number (for new tape). Maximum = 32768.0	Number of fission spectra to be input for new tape	Number of fine energy groups (if 99 leave blank or 0.0)	Number of energy points for thermal data tape.	
Symbol	FN00	TNB	FNSP			

MAKE Code: Makes Fast Section Data Tape

Word	1-72					
Column	Alphanumeric					
Cards	5 cards for description of tape					
Symbol	AT(1), 1 1 1 1					

Word	1	2				
Column	1-12	13-24				
Format	Decimal	Decimal				
Card	Number of nuclides to be added to new tape	Number of nuclides to be deleted from old tape				
Symbol	FLAD	FLCH				

Card 8 required only if deleting some nuclides from old tape (word 1, card 1 and word 2, card 7 not 0.)

Word	1	2	3	4	5	6
Column	1-12	13-24	25-36	37-48	49-60	61-72
Format	Decimal	Decimal	Decimal	Decimal	Decimal	Decimal
Card	Tape i.d. number of 1st nuclide deleted.	Tape i.d. number of 2nd nuclide deleted.	Tape i.d. number of 3rd nuclide deleted.	Etc.	Etc.	Etc.
Symbol	TAB(1)	TAB(2)	TAB(3)	Etc.	Etc.	Etc.

Word	1					
Column	1-72					
Format	Alphanumeric					
Card	Nuclide Description					
Symbol	SC(1), 1=1,14					

Word	1	2	3			
Column	1-12	13-24	25-36			
Format	Decimal	Decimal	Decimal			
Card	Nuclide i.d. number (Note #1)	Number of resolved resonances	Number of unresolved resonances (Note #2)			
Symbol	SS(13)	SS(14)	SS(15)			

Nuclides must be specified in order of increasing i.d. numbers

JAERI-M 5991

Table 6.1A (Continued)

Cases 11 through 14 required only if nuclide has resonances (word 2, card 10 > 0.)

Word	1	2	3	4	5	6	
Column	1-12	13-24	25-36	37-48	49-60	61-72	General resonance data.
Format	Decimal	Decimal	Decimal	Decimal	Decimal	Decimal	
Card	Mass number	σ_p for this absorber (Note #3)	Average statistical factor, g (spin)	Number of resolved resonances	S-factor to determine upper limit of integration (Note #11 *)	Energy level spacing, D (Note #5)	
Symbol	TTT(1)	TTT(2)	TTT(3)	TTT(4)	TTT(5)	TTT(6)	

Word	1	2	3				
Column	1-12	13-24	25-36				
Format	Decimal	Decimal	Decimal				
Card	$\langle \Gamma_n^0 \rangle$	$\langle \Gamma_\gamma \rangle$					Unresolved resonance data (Note #6)
12	For unresolved resonances	For unresolved resonances					
Symbol	TTT(7)	TTT(8)	TTT(9)				

Repeat card 13 for each resolved resonance (# of cards = word 2, card 10)

Word	1	2	3	4	5	6	
Column	1-12	13-24	25-36	37-48	49-60	61-72	
Format	Decimal	Decimal	Decimal	Decimal	Decimal	Decimal	
Card	Energy of resonance (ev)	Γ_n (ev) Neutron width	Γ_γ (ev) Gamma width	Γ_f (ev) Fission width	r-factor to determine mesh size (Note #7)	Statistical factor, g (spin for this resonance)	Resolved resonance parameters
13							
Symbol	TTT(10)	TTT(11)	TTT(12)	TTT(13)	TTT(14)	TTT(15)	

Card 14 required if nuclide has unresolved resonances (word 3, card 10 > 0.)

Word	1	2	3	4	5	6	
Column	1-12	13-24	25-36	37-48	49-60	61-72	
Format	Decimal	Decimal	Decimal	Decimal	Decimal	Decimal	
Card	Cut-off energy, E_c (ev)	E_k (a fine group boundary such that $E_k > E_c$)	E_{k+1} (a fine group boundary such that $E_{k+1} > E_k$)	Etc.	Etc.	Etc.	Unresolved resonance energies (number of values = word 3, card 10.) (Note #2)
14							
Symbol	TTT(IN)	TTT(IN+1)	TTT(IN+2)	Etc.	Etc.	Etc.	

Cards 15-19 required only if old tape not used (word 1, card 1 = 0.)

Word	1	2	3				
Column	1-12	13-24	25-36				
Format	Decimal	Decimal	Decimal				
Card	Size of slab P_o array (Note # 8)	Size of cylinder P_o array (Note # 9)	Size of J (volume) resonance tables (Note # 10)				
15							
Symbol	BEN(1)	BEN(2)	BEN(3)				

Word	1	2	3	4	5		
Column	1-6	7-12	13-18	19-24	25-30		
Format	Decimal	Decimal	Decimal	Decimal	Decimal		
Card							
16							
Symbol	TTT(J)	TTT(J+1)	Etc.	Etc.	Etc.		Slab P_o array

JAERI-M 5991

Table 6.1A (Continued)

Word	1	2	3	4	5		Cylinder P_0 array
Column	1-7	8-14	15-21	22-28	29-35		
Format	Decimal	Decimal	Decimal	Decimal	Decimal		
Card							
17							
Symbol							
Word	1	2	3	4	5	6	J(volume) table
Column	1-12	13-24	25-36	37-48	49-60	61-72	
Format	Decimal	Decimal	Decimal	Decimal	Decimal	Decimal	
Card							
18							
Symbol	TIT(J)	TIT(J+1)	Etc.	Etc.	Etc.		
(IF Card 1, Field 4 ≠ 0.0, Input Cards 19A)							
Word	1	2	3				
Column	1-12	13-24					
Format	Decimal	Decimal					
Card							
19A	E_1 (ev)	E_2	Etc.	Fine group energy boundaries given high to low in energy			Number of boundaries to equal to number of groups plus one.
Symbol							
Word	1	2	3	4	5	6	
Column							
Format							
Card							
19B	1st GATHER energy point	2nd GATHER energy point	3rd GATHER energy point	Etc.	Etc.	Etc.	Thermal energy points (increasing energy) Number of values = card 1, field 5 (Note # 11)
Symbol	GTHR(1)	GTHR(2)	GTHR(3)	Etc.	Etc.	Etc.	
Cards 0 and 21 required if old tape not used or if all spectra will be input (ie, not copied from old tape)							
Word							
Column	1-72						
Format	Alphanumeric						
Card							
20	Spectrum Description						Repeat cards 20 and 21 for each spectrum. Number of spectra to be input = word 3, card 1.
Symbol	SS(1), .11, 12						
Word	1	2	3	4	5	6	
Column	1-12	13-24	25-36	37-48	49-60	61-72	
Format	Decimal	Decimal	Decimal	Decimal	Decimal	Decimal	
Card							
21	Fission source for energy group 1	Fission source for energy group 2	Fission source for energy group 3	Etc.	Etc.	Etc.	Fission source spectrum Note #12)
Symbol	SS(13)	SS(14)	SS(15)	Etc.	Etc.	Etc.	

Table 6.1A (Continued)

Repeat cards 22 through 34 for each nuclide being added to new tape (word 1, card 7)

Word	1-72						
Column	1-72						
Format	Alphanumeric						
Card							
22	Nuclide Description						
Symbol	SS(1), SS(2), SS(3)						

Word	1	2	3	4	5	6	
Column	1-12	13-24	25-36	37-48	49-60	61-72	
Format	Decimal	Decimal	Decimal	Decimal	Decimal	Decimal	
Card							
23	Tape identification number for nuclide	Number of resolved resonances	Number of unresolved resonances	Total size of P-0 array (also P-1, P-2, and P-3) (Note #13)	Number of groups scattered from (max.=99) (Note #14)	Number of groups scattered into (max.= 100, counting in group term) (Note #15)	
Symbol	SS(13)	SS(14)	SS(15)	SS(16)	SS(17)	SS(18)	

Word	1	2	3	4	5	6	
Column	1-12	13-24	25-36	37-48	49-60	61-72	
Format	Decimal	Decimal	Decimal	Decimal	Decimal	Decimal	
Card							
24	Total size of the inelastic array	Number of groups scattered from (max.= 99)	Number of groups scattered into (max.= 100, counting in-group term)	Total size of the n,2n array	Number of groups scattered from (max.= 99)	Number of groups scattered into (max.= 100, counting in-group term)	
Symbol	SS(19)	SS(20)	SS(21)	SS(22)	SS(23)	SS(24)	

Word	1	2	3	4	5	6	
Column	1-12	13-24	25-36	37-48	49-60	61-72	
Format	Decimal	Decimal	Decimal	Decimal	Decimal	Decimal	
Card							
25	Is nuclide fissionable? 0. = No 1. = Yes	Number of one-dimensional arrays (absorption, fission (n,α), etc.)	Total size of transfer array. [$P_0 + \text{Inelastic} + 2*(n,2n)$] (Note #17)	Number of groups scattered from (max.= 99)	Number of groups scattered into (max.= 100)	Number of records on data tape for this nuclide (see note)	
Symbol	SS(25)	SS(26)	SS(27)	SS(28)	SS(29)	SS(30)	

Number of records
= 1 + 1 (if 1-D arrays present
+ 6(if P_0 arrays present)
+1 (if inelastic array)
+1(if $n,2n$ array)
+1(if P_0 or inelastic or $n,2n$)
(MIN=2, MAX=11)

Word	1	2	3	4	5	6	
Column	1-12	13-24	25-36	37-48	49-60	61-72	
Format	Decimal						
Card							
26	Mass number (A) for nuclide						
Symbol	SS(31)						

Repeat cards 27 and 28 for each 1-D cross section array (word 2, card 25)

Word	1	2	3	4	5	6	
Column	1-2	3-22					
Format	I2	Alphanumeric					
Card							
27	1-D Array ID	1-D Array Title					
Symbol	TTT(J), I=1\$11, J\$14						

Note: 1st array must be absorption. If nuclide fissionable, 2nd array = fission, 3rd array = nu.
(Note #18)

Table 6.1A (Continued)

Word	1	2	3	4	5	6
Column	1-12	13-24	25-36	37-48	49-60	61-72
Format	Decimal	Decimal	Decimal	Decimal	Decimal	Decimal
Card	Cross section for 1st energy group	Cross section for 2nd energy group	Cross section for 3rd energy group	Etc.	Etc.	Etc.
Symbol	TTT(1B)	TTT(1B+1)	TTT(1B+2)	Etc.	Etc.	Etc.

Cards 29-32 omitted if no P-0, etc. arrays (word 4, card 23 = 0.)

Word	1	2	3	4	5	6
Column	1-12	13-24	25-36	37-48	49-60	61-72
Format	Decimal	Decimal	Decimal	Decimal	Decimal	Decimal
Card	σ^0 $\sigma^0_{1 \rightarrow 1}$	σ^0 $\sigma^0_{1 \rightarrow 2}$	σ^0 $\sigma^0_{1 \rightarrow 3}$			
Symbol						

Elastic P-0 array
(Note #19)

Word	1	2	3	4	5	6
Column	1-12	13-24	25-36	37-48	49-60	61-72
Format	Decimal	Decimal	Decimal	Decimal	Decimal	Decimal
Card	σ^1 $\sigma^1_{1 \rightarrow 1}$	σ^1 $\sigma^1_{1 \rightarrow 2}$	σ^1 $\sigma^1_{1 \rightarrow 3}$			
Symbol						

P-1 Elastic Array
(Note # 19)

Word	1	2	3	4	5	6
Column	1-12	13-24	25-36	37-48	49-60	61-72
Format	Decimal	Decimal	Decimal	Decimal	Decimal	Decimal
Card	σ^2 $\sigma^2_{1 \rightarrow 1}$	σ^2 $\sigma^2_{1 \rightarrow 2}$	σ^2 $\sigma^2_{1 \rightarrow 3}$			
Symbol						

P-2 Array
(Note #19)

Word	1	2	3	4	5	6
Column	1-12	13-24	25-36	37-48	49-60	61-72
Format	Decimal	Decimal	Decimal	Decimal	Decimal	Decimal
Card	σ^3 $\sigma^3_{1 \rightarrow 1}$	σ^3 $\sigma^3_{1 \rightarrow 2}$	σ^3 $\sigma^3_{1 \rightarrow 3}$			
Symbol						

P-3 Array
(Note #19)

Word	1	2	3	4	5	6
Column	1-12	13-24	25-36	37-48	49-60	61-72
Format	Decimal	Decimal	Decimal	Decimal	Decimal	Decimal
Card	σ^{in} $\sigma^{in}_{1 \rightarrow 1}$	σ^{in} $\sigma^{in}_{1 \rightarrow 2}$	σ^{in} $\sigma^{in}_{1 \rightarrow 3}$			
Symbol						

Inelastic array
(Note #20)

Table 6.1A (Continued)

Card 34 omitted if no n,2n array (word 4, card 24 = 0.)						
Word	1	2	3	4	5	6
Column	1-12	13-24	25-36	37-48	49-60	61-72
Format	Decimal	Decimal	Decimal	Decimal	Decimal	Decimal
Card						
34	$\sigma^{n,2n}$ 1 → 1	$\sigma^{n,2n}$ 1 → 2	$\sigma^{n,2n}$ 1 → 3			
Symbol						

n,2n array
(Note #20)

Table 6.1B Set up of input cards for MAKE code

....*....1....*....2....*....3....*....4....*....5....*....6....*....7....*....8

```

*NO
C,0/CORE 32
W,0/PAGE 40
T,2/TIME 5
P,0/PCH 0

*GJOB
*LIEDKP J0051,GGC4MAKE
SELECT RELBIN
FIN
*RUN
*TAPE F01,J0051,GGC4MAKE,NEW,000654      Master tape to be produced
*TAPE F02,J0051,GGC4MST,OLD,001414      Library tape produced by MST code
*DISK F03
*DISK F04
*TAPE F08,J0051,GGC4PNCH,OLD,001321      Output tape of MIXER code
*DATA
    1.0      19/3.1121
    NEW
    FAST
    SHORT
    TAPE
    NOV,21 1973
    9.0
    SUS 304      FROM AGN TM-407
    54,618
    SUS 321      FROM AGN TM-407
    54,65800
    SUS 347      FROM AGN TM-407
    54,68400
    SUS 316      FROM AGN TM-407
    55,28900
    INCONEL      FROM AGN TM-407
    58,46100
    HASTELLOY-X  FROM AGN TM-407
    58,62700
    INCONEX-X   FROM AGN TM-407
    59,13200
    ZRY-4        FROM JAERI-M 4881
    91,33690
    ZRY-2        FROM JAERI-M 4881
    91,34960
*JEND

```

1	MAKE	1
	MAKE	2
	MAKE	3
	MAKE	4
	MAKE	5
	MAKE	6
	MAKE	9
	MAKE	10
	MAKE	9
	MAKE	10
	MAKE	9
	MAKE	10
	MAKE	9
	MAKE	10
	MAKE	9
	MAKE	10
	MAKE	9
	MAKE	10
	MAKE	9
	MAKE	10

JAERI-M 5991

Table 6.2A Input data for MST code

Word	1	2	3			
Column	1-12	13-24	25-36			
Format	Decimal	Decimal	Decimal			
Card	I.D. number for short data tape (negative = only P-0 and P-1 copied)	Number of nuclides to be placed on short tape	Number of fission spectra to be input (if 0, copy from master)			
Symbol	TNB	FNUK	FNSP			

MST Code: MST makes a short data tape from a master tape.

Word	1	2	3	4	5	6
Column	1-72					
Format	Alphabetic					
Card	5 cards for description of short Fast Section data tape.					
Symbol	AT(), I=1,90					

Number of cards = word 2, card 1

Word	1	2	3	4	5	6
Column	1-12	13-24	25-36	37-48	49-60	61-72
Format	Decimal	Decimal	Decimal	Decimal	Decimal	Decimal
Card	ID number of nuclide to be copied	Elastic scatter arrays present?	Inelastic array present?	n,2n array present?	Total transport for array present?	
7		0. = yes 1. = no	0. = yes 1. = no	0. = yes 1. = no	0. = yes 1. = no	
Symbol	TRA(I)	TRT(I,1)	TRT(I,2)	TRT(I,3)	TRT(I,4)	

Number of cards = word 2, card 1

Word	1	2	3	4	5	6
Column	1-72					
Format	Alphabetic					
Card	Spectrum Description					
8						
Symbol	SS(J), J=1,18					

Number of cards = word 2, card 1

Word	1	2	3	4	5	6
Column	1-12	13-24	25-36	37-48	49-60	61-72
Format	Decimal	Decimal	Decimal	Decimal	Decimal	Decimal
Card	Fission source for fast energy group 1	Fission source for fast energy group 2	Fission source for fast energy group 3	Etc.	Etc.	Etc.
9						
Symbol	SS(13)	SS(14)	SS(15)	Etc.	Etc.	Etc.

Number of cards = word 2, card 1

Table 6.2B Set up of input cards for MST code

.....*,...,1,...*,...,2,...*,...,3,...*,...,4,...*,...,5,...*,...,6,...*,...,7,...*,...,8

*NO	C.O/CORE	32	
	W.O/PAGE	40	
	T,2/TIME	5	
	P.O/PCH	0	
*GJOB			
*LIEDKP	J0051,GGC4MST		
SELECT	RELBIN		
FIN			
*RUN			
*TAPE	F01,J1223,FSTGGC4,OLD,000277	ANL library tape	
*TAPE	F02,J0051,GGC4MST,NEW,001414	Working tape to be produced	
*DISK	F03		
*DISK	F04		
*DATA			
1973,11190	45.0		
NEW		MST	1
FAST		MST	2
SHORT		MST	3
TAPE		MST	4
NOV,19 1973		MST	5
1.00		MST	6
1.20		H	7
3.00		D	
4.00		LI	
5.00		BE	
5.010		B	
6.00		B10	
8.00		C	
11.00		O	
13.00		NA	
14.00		AL	
15.00		SI	
16.00		P	
22.00		S	
24.00		TI	
25.00		CR	
26.00		MN	
27.00		FE	
28.00		CO	
29.00		NI	
40.00		CU	
41,0930		ZR	
42.00		NB	
47.00		MO	
48.00		AG	
49.00		CD	
50.00		IN	
54.1350		SN	
62,1490		XE	
64.00		SM	
72.00		GD	
73.00		HF	
74.00		TA	
90,2320		W	
91,2330		TH	
92,23330		PA	
92,2350		U233	
92,2380		U235	
92,23810		U238	
94,2390		U238R	
94,240		PU239	
94,24010		PU240	
94,2410		PU240R	
94,2412		PU241	
94,2420		PU241	
*JEND		PU242	

Table 6.3A Input data for MIXER code

Word							MIXER Code:
Column	1-72						
Format	Alphabetic						
Card							
1	Description of compound (mixture) being made						
Symbol	$\text{nBA}(1)$, $1=1, 2=1$						

Word	1	2					
Column	1-12	13-24					
Format	Decimal	Decimal					
Card							
2	Number of nuclides to be combined	Compound i.d. number for fast data tape					
Symbol	FTP	DIN					

Repeat card 3 for each nuclide in compound (number cards - word 1, card 2)

Word	1	2					
Column	1-12	13-24					
Format	Decimal	Decimal					
Card							
3	I.D. number of nuclide to be combined	Combining fraction for nuclide					
Symbol							

Note: Combining fraction is a factor proportional to the density of nuclide in compound.

Table 6.3B Set up of input cards for MIXER code

....*....1....*....2....*....3....*....4....*....5....*....6....*....7....*....8

*NO	C.O/CORE 32
	W.2/PAGE 160
	T.3/TIME 15
	P.2/PCH 200
*GJOB	
*LIEDKP J0051.GGC4MIXR	
SELECT RELBIN	
FIN	
*RUN	
*TAPE F02.J0051.GGC4MST,OLD.001414	Working tape produced by MST code
*DISK F03	
*DISK F04	
*TAPE F08.J0051.GGC4PNCH,NEW.001321	Data tape to be utilized in MAKE code
*PUNCH	
*DATA	
SUS 304 FROM AGN TM-407	
6.0 54.618 1	SUS304 2
6.0 0.0036	C 31
14.0 0.0195	SI 32
24.0 0.1995	CR 33
25.0 0.0199	MN 34
26.0 0.6691	FE 35
28.0 0.0884	NI 36
SUS 321 FROM AGN TM-407	
6.0 54.65800 1	MIXER 1
6.0 0.0036	SUS321 2
14.0 0.0195	C 3
24.0 0.1892	SI 3
25.0 0.0199	CR 3
26.0 0.6794	MN 3
28.0 0.0884	FE 3
SUS 347 FROM AGN TM-407	
6.0 54.68400 1	NI 3
6.0 0.0036	MIXER 1
14.0 0.0195	SUS347 2
24.0 0.1893	C 3
25.0 0.0199	SI 3
26.0 0.6699	CR 3
28.0 0.0978	MN 3
SUS 316 FROM AGN TM-407	
7.0 55.28900 1	FE 3
6.0 0.0046	NI 3
14.0 0.0197	MIXER 1
24.0 0.1807	SUS316 2
25.0 0.0201	C 3
26.0 0.6474	SI 3
28.0 0.1130	CR 3
42.0 0.0145	MN 3
INCONEL FROM AGN TM-407	
3.0 58.46100 1	FE 3
24.0 0.1836	NI 3
26.0 0.0994	MIXER 1
28.0 0.7170	INCO 2
HASTELLOY-X FROM AGN TM-407	
	CR 3
	FE 3
	NI 3
	MIXER 1

Table 6.3B (Continued)

.....*,...,1,...,*...,2,...,*...,3,...,*...,4,...,*...,5,...,*...,6,...,*...,7,...,*...,8

7.0	58.62700	1	HAST-X 2
24.0	0.2522		CR 3
25.0	0.0080		MN 3
26.0	0.1933		FE 3
27.0	0.0129		CO 3
28.0	0.4793		NI 3
42.0	0.0533		MO 3
74.0	0.0010		W 3
INCONEL-X FROM AGN TM-407			
6.0	59.1320	1	MIXER 1
13.0	0.0153		INC0-X 2
24.0	0.1762		AL 3
26.0	0.0741		CR 3
27.0	0.0050		FE 3
28.0	0.7233		CO 3
41.0930	0.0061		NI 3
ZRY-4 FROM JAERI-M 4881			
4.0	91.33690	1	NIOB 3
24.0	0.0018		MIXER 1
26.0	0.0034		ZRY-4 2
40.0	0.9836		CR 3
50.0	0.0112		FE 3
ZRY-2 FROM JAERI-M 4881			
5.0	91.34960	1	ZR 3
24.0	0.0018		SN 3
26.0	0.0026		MIXER 1
28.0	0.0009		ZRY-2 2
40.0	0.9830		CR 3
50.0	0.0117		FE 3
END			

JAERI-M 5991

Table 6.4A Input data for FPRINT code

Word	1-24					
Column	1-24					
Format	Alphanumeric					
Card	Page heading information					
Symbol	B(T), I-T, C					

FPRINT Code:
Prints data from tape.

Word	1	2				
Column	1-12	13-24				
Format	Decimal	Decimal				
Card	Number of nuclides to be printed (0. = print whole tape)	Print total transfer arrays 0. = yes 1. = no				
Symbol	FTP	FOTT				

Omit card 3 if whole tape being printed (word 1, card 2 = 0.)

Word	1	2	3	4	5	6
Column	1-12	13-24	25-36	37-48	49-60	61-72
Format	Decimal	Decimal	Decimal	Decimal	Decimal	Decimal
Card	I.D. number of 1st nuclide to be printed	I.D. number of 2nd nuclide to be printed	I.D. number of 3rd nuclide to be printed	Etc.	Etc.	Etc.
Symbol	FPT(1)	FPT(2)	FPT(3)	Etc.	Etc.	Etc.

Nuclide i.d. numbers (must be in ascending order)

Table 6.4B Set up of input cards for FPRINT code

....*,...,1...,*,...,2...,*,...,3...,*,...,4...,*,...,5...,*,...,6...,*,...,7...,*,...,8

\$NO

C,0/CORE 32
W,0/PAGE 40
T,0/TIME 1
P,0/PCH 0

*GJOB
*LIEDKP J0051.GGC4FPRT
SELECT RELBIN
FIN
*RUN
*DISK F03
*TAPE F01,J0051.GGC4MAKE,OLD,000654
*DATA
FAST DATA LISTING
1.0 1.0
92,235
\$JEND

Master data tape produced by MAKE code

Table 6.5A Input data for WIFG code

Word	1	2	3	
Column	12	22-24	34-36	
Format	Integer	Integer	Integer	
Card	Tape options: *) 0 = New tape from old, same label 1 = <u>New tape from cards</u> 2 = New tape from old, new label 3 = Add nuclides to old tape	If word 1=3, specify number of nuclides to be saved on old tape.	If word 1=3, specify number of nuclides to be added to old tape.	
Symbol	NEWT	NON	MORE	

Warning: If data
added to old tape
(word 1=3), this
tape cannot be
used by GGC.
*) New tape
making or new tape
= Adding COMPTN
data to old tape

If old tape mounted (card 1, word 1 ≠ 1), card 2 is required

Word	1-72				
Column	1-72				
Format	Alphanumeric				
Card	Exact label on old data tape (Note #1)				
Symbol	Label(1), 1-1, 12				

If adding data to end of old data tape (card 1, word 1=3), skip to card 7.

If making new tape with new label (card 1, word 1=1 or 2), card 3 is required.

Word	1-72				
Column	1-72				
Format	Alphanumeric				
Card	Label for new data tape.				
Symbol	Label(1), 1-1, 12				

Word	1	2	3		
Column	12	24	36		
Format	Integer	Integer	Integer		
Card	Number of new nuclides. (For new tape, total number of nu- clides to be input.)	Number of nu- clides on old tape being altered or replaced for new tape.	Number of nu- clides on old tape <u>not wanted</u> on new tape.		
Symbol	NADD	NCHG	NSUB		

Words 2 and 3 are
ignored if making
an entirely new
tape (card 1,
word 1=1).

For entirely new tape (card 1, word 1=1), cards 5 and 6 are required.

Word	1				
Column	10-12				
Format	Integer				
Card	Number of energy points (≤ 141)				
Symbol	NRG				

Word	1	2	3	4	5	6
Column	1-12	13-24	25-36	37-48	49-60	61-72
Format	Decimal	Decimal	Decimal	Decimal	Decimal	Decimal
Card	Energy of point 1, ev (lowest energy value)	Energy of point 2, ev	Energy of point 3, ev	Energy of point 4, ev	Energy of point 5, ev	Energy of point 6, ev
Symbol	E(1)	E(2)	E(3)	E(4)	E(5)	E(6)

Table 6.5A (Continued)

Word	1	2	3		
Column	1-12	13-24	25-36		
Format	Decimal	Decimal	Decimal		
Card 7	Nuclide ID number (any value 0.0 thru 999.999999)	0.= new nuclide data on cards 1.= part of data being changed 2.= data on tape 3 3.= data on tape 2 (Note #2) 4.= data on tape 4 5.= delete this nuclide	Print some or all of data for this nuclide? 0.= No 1.= Yes		
Symbol	TIDA	OPT	POP		

Note: Tapes 2 and 4 are labeled standard data tapes. Tape 3 is non-labeled, non-standard data tape.
 *) If 0., enter new data on following cards.

- A. If nuclide being deleted (word 2=5.0) or copied from a tape (word 2=2.0, 3.0 or 4.0), then no further data is required for this nuclide, unless printing of copied nuclide desired (word 3=1.0). For print operations, input card 32.
 B. If part of data for this nuclide being changed (word 2=1.0), skip to card 25.

Word	1	2	3		
Column	1-72				
Format	Alphanumeric				
Card 8	Nuclide Description				
Symbol	NUCL (1,1,1,1,1,1)				

- C. If new nuclide data being input (card 7, word 2=0.), cards 8 and 9 are required.

Word	1	2	3			
Column	12	13-24	25-36			
Format	Integer	Decimal	Decimal			
Card 9	Absorption type index: 0 = 1/v abs. 1 = non i/v absorption	For 1/v type, base energy E_0 for 1/v	For 1/v type, absorption cross section at E_0 (base energy)			
Symbol	NABS	EO	SAO			

(Note #3)

If non 1/v absorption (card 9, word 1=1), card 10 required.

Word	1	2	3	4	5	6
Column	1-12	13-24	25-36	37-48	49-60	61-72
Format	Decimal	Decimal	Decimal	Decimal	Decimal	Decimal
Card 10	Absorption (or capture) cross section, in barns, for 1st (lowest) energy point.	Absorption (or capture) cross section, in barns, for 2nd energy point	Etc.	Etc.	Etc.	Etc.
Symbol	SA(1)	SA(2)	SA(3)	SA(4)	Etc.	Etc.

Note: For fissionable nuclide, on card 31, word 1 specify ± 2 if capture is input or ± 1 for total absorption.

$$\sigma_{\text{capture}}^{\pm 1}$$

Word	1	2	3	4		
Column	11-12	24	36	48		
Format	Integer	Integer	Integer	Integer		
Card 11	Fission index: 0 = no fission +1 = non 1/v +2 = 1/v to be added to capture	Resonance parameters input for this nuclide? 0 = no 1 = yes (Note #4)	Scattering kernel for this nuclide? 0 = no 1 = yes	Kernel type: 0 = downscatter kernel input on cards. (Note #5) 1 = free-gas kernel to be computed		
Symbol	NFIS	NRES	KERN	KCAIC		

Note: For fissionable nuclide, on card 31, word 1 specify ± 2 if capture is input or ± 1 for total absorption.

If nuclide has scattering kernel (card 11, word 3=1), skip to card 15.

For nuclide without kernel (card 11, word 3=0), card 12 (and maybe 13 and 14) required.

Word	1	2	3			
Column	12	13-24	25-36			
Format	Integer	Decimal	Decimal			
Card 12	Scattering for non-kernel nuclide: 0 = constant 1 = input as function of energy	Transport option: 0.= input σ_{tr} otherwise, compute σ_{tr} using μ or μ' (see note #6)	Constant value for scattering x-sections, in barns (if word 1 = 0)			
Symbol	NGAT	NUBAR	SSCO			

Note: If σ_{tr} computed,
 $\sigma_{\text{tr}} = \sigma_a + (1-\mu)\sigma_s$
 where μ is input ($0 < \mu < 1.0$)
 or $\mu = \left(1 - \frac{2}{3\mu'}\right)$
 $(\mu' > 1.0 \text{ in word 2})$
 $\mu^2 = \mu \cdot \mu'$

Input must be integer.

Table 6.5A (Continued)

If scattering input for each energy (card 12, word 1 = 1), card 13 is required.

WORD	1	2	3	4	5	6	
COLUMN	1 - 12	13-24	25-36	37-48	49-60	61-72	
FORMAT	Decimal	Dec.	Dec.	Dec.	Dec.	Dec.	
CARD 13	Scattering x-section barns, for 1st (lowest) energy point	Scattering x-section for 2nd energy point	Scattering x-section for 3rd energy point	etc.	etc.	etc.	σ_{sc}
SYMBOL	SSC(1)	SSC(2)	SSC(3)	etc.	etc.	etc.	

If transport cross-section input (card 12, word 2 = 0), card 14 is required.

WORD	1	2	3	4	5	6	
COLUMN	1 - 12	13-24	25-36	37-48	49-60	61-72	
FORMAT	Decimal	Dec.	Dec.	Dec.	Dec.	Dec.	
CARD 14	Transport x-section barns, for 1st (lowest) energy point.	Transport x-section for 2nd energy point	Transport x-section for 3rd energy point	etc.	etc.	etc.	σ_{tr}
SYMBOL	STR(1)	STR(2)	STR(3)	etc.	etc.	etc.	

For fissionable nuclides (card 11, word 1 ≠ 0), cards 15 and 16 are required.

WORD	1	2	3	4	5	6	
COLUMN	1 - 12	13-24	25 - 36				
FORMAT	Decimal	Dec.	Dec.				
CARD 15	Value of v (neutrons per fission) (Note #7)	Base energy, E_0 (ev), for $1/v$ fission fission x-section	$1/v$ fission x-section (barns) at base energy				$v, E_0, \sigma_{f,v}$
SYMBOL	YNU	E0	SFO				

For nuclide with non- $1/v$ fission cross-section (card 11, word 1 > 0), card 16 is required.

WORD	1	2	3	4	5	6	
COLUMN	1-12	13-24	25 - 36	37-48	49-60	61-72	
FORMAT	Decimal	Dec.	Dec.	Dec.	Dec.	Dec.	
CARD 16	Fission x-section (barns) for 1st (lowest) energy point.	Fission x-section for 2nd energy point	Fission x-section for 3rd energy point	etc.	etc.	etc.	σ_f
SYMBOL	SF(1)	SF(2)	SF(3)	etc.	etc.	etc.	

Table 6.5A (Continued)

11 resonance parameters to be input (card 11, word 2 = 1), cards 17 and 18 are required.

WORD	1	2	3	4			
COLUMN	11-12	13-24	25-36	37-48			
FORMAT	Integer	Decimal	Dec.	Dec.			
CARD 17	Number of resonances for which parameters will be input (max. = 10)	Statistical factor (constant for all resonances)	Mass of absorbing nucleus	Potential scattering x-section (barns) σ_p			
SYMBOL	NEZ	SPIN	WGT	SPOT			

Repeat card 19 for each resonance (no. of cards = card 17, word 1)

WORD	1	2	3				
COLUMN	1-12	13-24	25-36				
FORMAT	Decimal	Dec.	Dec.				
CARD 18	Resonance Energy Eo(ev)	Neutron Width, Γ_n (mv)	Gamma Width, Γ_Y (mv)				Note #4
SYMBOL	EZ(I)	CN(I)	GG(I)				

For nuclide without kernel (card 11, word 3=0), skip to card 32.

WORD	1	2	3	4			
COLUMN	1-12	13-24	25-36	37-48			
FORMAT	Decimal	Decimal	Decimal	Decimal			
CARD 19	Frec-atom scattering x-section (barns) (Note #8)	Kernel Temperature ($^{\circ}$ K)	Scattering atom mass m'	Source option: 0 = 1/E source -1 = P_0 and P_1 sources set to zero. +1 = bound source calculation for hydrogen. (Note #9)			
SYMBOL	SFA	TEMP	ATMAS	BSORC			

If free gas kernel calculation specified (card 11, word 4=1), skip to card 31.

WORD	1	2	3				
COLUMN	10-12	13-24	36				
FORMAT	Integer	Decimal	Integer				
CARD 20	Number of last (highest) energy point at which input kernel was calculated (See Note #10)	Temperature ($^{\circ}$ K) for free-gas downscatter calculation (if necessary) (Note #11)	Supply separate elastic P_0 and P_1 self-scattering terms? 0 = yes 1 = no (Note #12)				
SYMBOL	LIM	TGAS	NELAST				

Table 6.5A (Continued)

If separate elastic P_0 and P_1 scattering terms input (card 20, word 3 = 0), cards 21 and 22 are required.

WORD	1	2	3	4	5	Note
COLUMN	1-12	13-24	25-36	37-48	49-60	
FORMAT	Decimal	Dec.	Dec.	Dec.	Dec.	
CARD 21	Normalized P_0 elastic self-scattering term for 1st (lowest) energy point	Normalized P_0 elastic self-scattering term for 2nd energy point	etc.	etc.	etc.	Input 5 values per card. No. of values = card 20, word 1. (Note #13)
SYMBOL	SD0(1)	SD0(2)	SD0(3)	etc.	etc.	

WORD	1	2	3	4	5	Note
COLUMN	1-12	13-24	25-36	37-48	49-60	
FORMAT	Decimal	Dec.	Dec.	Dec.	Dec.	
CARD 22	Normalized P_1 elastic self-scattering term for 1st (lowest) energy point	Normalized P_1 elastic self-scattering term for 2nd energy point	etc.	etc.	etc.	Input 5 values per card. Number of values = card 20, word 1. (Note #13)
SYMBOL	SD1(1)	SD1(2)	SD1(3)	etc.	etc.	

WORD	1	2	3	4	5	Note
COLUMN	1-12	13-24	25-36	37-48	49-60	
FORMAT	Decimal	Dec.	Dec.	Dec.	Dec.	
CARD 23	P_0 down-scatter kernel matrix $\begin{pmatrix} \sigma_{1-1}^0 \\ \sigma_{2-1}^0 \\ \vdots \\ \sigma_{I-1}^0 \end{pmatrix}$	$\begin{pmatrix} \sigma_{2-1}^0 \\ \vdots \\ \sigma_{I-2}^0 \end{pmatrix}$	$\begin{pmatrix} \sigma_{2-2}^0 \\ \vdots \\ \sigma_{I-3}^0 \end{pmatrix}$	$\begin{pmatrix} \sigma_{3-1}^0 \\ \vdots \\ \sigma_{I-4}^0 \end{pmatrix}$	etc.	Input 5 values per card. Number of values = LIM(LIM+1) where LIM = card 20, word 1. (Note #14)
SYMBOL	SO(I,I)	SO(I+1,I)	SO(I+1,I+1)	SO(I+2,I)	etc.	

WORD	1	2	3	4	5	Note
COLUMN	1-12	13-24	25-36	37-48	49-60	
FORMAT	Decimal	Dec.	Dec.	Dec.	Dec.	
CARD 24	P_1 down-scatter kernel matrix $\begin{pmatrix} \sigma_{1-1}^1 \\ \vdots \\ \sigma_{I-1}^1 \end{pmatrix}$	$\begin{pmatrix} \sigma_{2-1}^1 \\ \vdots \\ \sigma_{I-2}^1 \end{pmatrix}$	$\begin{pmatrix} \sigma_{2-2}^1 \\ \vdots \\ \sigma_{I-3}^1 \end{pmatrix}$	$\begin{pmatrix} \sigma_{3-1}^1 \\ \vdots \\ \sigma_{I-4}^1 \end{pmatrix}$	etc.	Input 5 values per card. Number of cards same as for card 23. (Note #14)
SYMBOL	SI(I,I)	SI(I+1,I)	SI(I+1,I+1)	SI(I+2,I)	etc.	

Kernel data complete. Skip to card 31.

JAERI-M 5991

Table 6.5A (Continued)

For nuclide with part of data changed (card 7, word 2 = 1.0), card 25 (and maybe 26-29) required.

WORD	1	2	3	4	5	6	Note	
COLUMN	12	24	36	48	60	72		
FORMAT	Integer	Integer	Integer	Integer	Integer	Integer		
CARD 25	Change ID No. and nuclide description? 0 = No 1 = ID number only 2 = description absorption only 3 = change both x-sections	Change absorption x-section? 0 = No 1 = new 1/v x-sections 2 = new total absorption 3 = new capture	Change scattering x-sections? 0 = No 1 = New constant scattering x-section 2 = new point-wise x-section	(See note) Change fission data? 0 = No 1 = New v 2 = New v and k 3 = new sigma_f (v unchanged)	Change resonance parameters? 0 = No 1 = New resonance parameters (need not have been present previously)	Change kernel rate? 0 = No 1 = free-gas calculation 2 = input kernel 3 = recalculate source terms	Fission Index 0 -5 -4 1 2 3	X-sections Changes None v af'fa af'cap af'fa af'fa
SYMBOL	NTIT	NSA	NSC	NF	NRS	NCHGK	For $\sigma_a = 10^4$ new σ_{cap}	

If nuclide I.D. number being changed (card 25, word 1=1 or 3), card 26 is required.

WORD	1		
COLUMN	1-12		
FORMAT	Decimal		
CARD 26	New I.D. number for this nuclide (must not alter position of nuclide on tape)		
SYMBOL	TIDPR		

If nuclide description being changed (card 25, word 1 = 2 or 3), card 27 is required.

WORD			
COLUMN	1-72		
FORMAT	Alphanumeric		
CARD 27	New Nuclide Description		
SYMBOL	NAME(1), 1..1..		

If new absorption or capture cross sections to be input (card 25, word 2 = 2 or 3), supply data as specified on card 10. Then skip to card 29.

If new 1/v absorption data to be input (card 25, word 2 = 1), card 28 is required.

WORD	1	2		
COLUMN	1 - 12	13-24		
FORMAT	Decimal	Dec.		
CARD 28	Base energy E_0 (ev), for new 1/v absorption x-section	New 1/v absorption (barns) at base energy		
SYMBOL	EO	SAO		

JAERI-M 5991

Table 6.5A (Continued)

If new pointwise scattering x-section to be input (card 25, word 3 = 2), supply as specified on card 13.
 If new constant scattering x-section to be input (card 25, word 3 = 1), card 29 is required.

WORD	1						
COLUMN	1-12						
FORMAT	Decimal						
CARD	New constant scattering x-section (barns)						
29							
SYMBOL	SCO						

If scattering x-section data changed (card 25, word 3 = 1 or 2), card 30 is required.

WORD	1						Note
COLUMN	1-12						
FORMAT	Decimal						
CARD	Transport option: 0 = input σ_{tr} Otherwise, compute σ_{tr} using $\bar{\mu}$ or \bar{v}'						Input $\bar{\mu}$ or \bar{v}' as described on card 12.
30							
SYMBOL	UBAR						

If transport x-section input (card 30, word 1 = 0), supply data as specified on card 14.

If bound source calculation for Hydrogen specified (card 19, word 4 = 1.0), card 31 is required.

WORD	1						Note
COLUMN	1-12						
FORMAT	Decimal						
CARD	\bar{E} , 2/3 of average kinetic energy of bound hydrogen atom (Note #9)						Recommended for: H_2O use 0.117 V_{rl} use 0.069 E = atomic temperature
31							
SYMBOL	E BAR						

If printing of nuclide data desired (card 7, word 3 = 1.0), card 32 is required.

WORD	1	2	3				
COLUMN	12	24	36				
FORMAT	Integer	Int.	Int.				
CARD	Print standard microscopic x-sections: 0 = No 1 = Yes	Print resonance parameters data: 0 = No 1 = Yes	Print kernel data 0 = No 1 = Yes				
32							
SYMBOL	NSTD	NR	NK				

If more nuclides are to be input, start with card 7.

Table 6.5B Set up of input cards for WTFG code

Table 6.5B (Continued)

....*....1....*....2....*....3....*....4....*....5....*....6....*....7....*....8

9.61867E 00 9.61867E 00 9.61867E 00 9.61867E 00 9.61867E 00 9.61867E 00 9.61867E 005304 S13
 9.61867E 00 9.61867E 00 9.61867E 00 9.61867E 00 9.61867E 00 9.61867E 005304 S14
 9.61867E 00 9.61867E 00 9.61867E 00 9.61867E 00 9.61867E 00 9.61867E 005304 S15
 9.61867E 00 9.61867E 00 9.61867E 00 9.61867E 00 9.61867E 00 9.61867E 005304 S16
 9.61867E 00 9.61867E 00 9.61867E 00 9.61867E 00 9.61867E 00 9.61867E 005304 S17
 2.48707E 01 2.03699E 01 1.71875E 01 1.63761E 01 1.53120E 01 1.49368E 01S304 T 1
 1.43633E 01 1.34715E 01 1.29400E 01 1.25589E 01 1.23094E 01 1.19335E 01S304 T 2
 1.16770E 01 1.14877E 01 1.14098E 01 1.13405E 01 1.12782E 01 1.12219E 01S304 T 3
 1.11706E 01 1.11236E 01 1.10804E 01 1.10405E 01 1.09066E 01 1.08026E 01S304 T 4
 1.07187E 01 1.06492E 01 1.05904E 01 1.05399E 01 1.05171E 01 1.04957E 01S304 T 5
 1.04757E 01 1.04569E 01 1.04390E 01 1.04222E 01 1.04062E 01 1.03910E 01S304 T 6
 1.03766E 01 1.03629E 01 1.03497E 01 1.03372E 01 1.03252E 01 1.03137E 01S304 T 7
 1.02921E 01 1.02591E 01 1.02536E 01 1.02449E 01 1.02282E 01 1.02203E 01S304 T 8
 1.02126E 01 1.02052E 01 1.01980E 01 1.01910E 01 1.01701E 01S304 T 9
 1.01591E 01 1.01447E 01 1.01365E 01 1.01312E 01 1.01185E 01 1.01066E 01S304 T 10
 1.00918E 01 1.00846E 01 1.00649E 01 1.00471E 01 1.00309E 01 1.00230E 01S304 T 11
 1.00189E 01 1.00132E 01 1.00077E 01 1.00024E 01 9.99722E 00 9.99470E 005304 T 12
 9.99221E 00 9.98976E 00 9.98380E 00 9.97805E 00 9.97581E 00 9.97360E 005304 T 13
 9.97142E 00 9.96927E 00 9.96506E 00 9.96197E 00 9.96096E 00 9.95696E 005304 T 14
 9.94742E 00 9.93846E 00 9.93002E 00 9.92205E 00 9.90877E 00 9.90054E 005304 T 15
 9.88799E 00 9.87652E 00 9.86805E 00 9.86013E 00 9.85636E 00 9.84743E 005304 T 16
 9.83915E 00 9.83144E 00 9.82494E 00 9.82217E 00 9.81881E 00 9.81881E 00 32
 1 0 1
 54.65800 0.0 1.0 SUS321 7
 SUS 321 FROM AGN TM-407 NAME
 1 NABS
 1
 1.53410E 01 1.08478E 01 7.67022E 00 6.86072E 00 5.79837E 00 5.42388E 005321 A 1
 4.85126E 00 3.96104E 00 3.43036E 00 3.04996E 00 2.80088E 00 2.42563E 005321 A 2
 2.16955E 00 1.98052E 00 1.90262E 00 1.83361E 00 1.77143E 00 1.71518E 005321 A 3
 1.66397E 00 1.61709E 00 1.57396E 00 1.53410E 00 1.40044E 00 1.29656E 005321 A 4
 1.21282E 00 1.14345E 00 1.08474E 00 1.03429E 00 1.01156E 00 9.90260E-01S321 A 5
 9.70253E-01 9.51411E-01 9.33626E-01 9.15803E-01 9.00857E-01 8.85716E-01S321 A 6
 8.71313E-01 8.57591E-01 8.44497E-01 8.31985E-01 8.20013E-01 8.06544E-01S321 A 7
 7.86979E-01 7.53971E-01 7.48568E-01 7.39611E-01 7.23184E-01 7.15280E-01S321 A 8
 7.07630E-01 7.03895E-01 7.00220E-01 6.93038E-01 6.86072E-01 6.65119E-01S321 A 9
 6.54144E-01 6.39766E-01 6.31581E-01 6.26296E-01 6.13642E-01 6.01725E-01S321 A10
 5.87009E-01 5.79837E-01 5.60176E-01 5.42388E-01 5.26194E-01 5.18326E-01S321 A11
 5.14233E-01 5.08551E-01 5.03053E-01 4.97729E-01 4.92571E-01 4.90052E-01S321 A12
 4.87570E-01 4.85126E-01 4.79174E-01 4.73435E-01 4.71196E-01 4.68989E-01S321 A13
 4.66813E-01 4.64667E-01 4.60462E-01 4.57382E-01 4.56369E-01 4.52383E-01S321 A14
 4.42858E-01 4.33910E-01 4.25484E-01 4.17530E-01 4.04272E-01 3.96104E-01S321 A15
 3.83526E-01 3.72075E-01 3.63618E-01 3.55712E-01 3.51948E-01 3.43036E-01S321 A16
 3.34769E-01 3.27072E-01 3.20581E-01 3.17817E-01 3.14461E-01 3.14461E-01 321 A17
 0 0 0 NFIS
 1 NSCAT
 1
 9.70042E 00 9.70042E 00 9.70042E 00 9.70042E 00 9.70042E 00 9.70042E 005321 S 1
 9.70042E 00 9.70042E 00 9.70042E 00 9.70042E 00 9.70042E 00 9.70042E 005321 S 2
 9.70042E 00 9.70042E 00 9.70042L 00 9.70042E 00 9.70042E 00 9.70042E 005321 S 3
 9.70042E 00 9.70042E 00 9.70042E 00 9.70042E 00 9.70042E 00 9.70042E 005321 S 4
 9.70042E 00 9.70042E 00 9.70042E 00 9.70042E 00 9.70042E 00 9.70042E 005321 S 5
 9.70042E 00 9.70042E 00 9.70042E 00 9.70042E 00 9.70042E 00 9.70042E 005321 S 6
 9.70042E 00 9.70042E 00 9.70042E 00 9.70042E 00 9.70042E 00 9.70042E 005321 S 7
 9.70042E 00 9.70042E 00 9.70042E 00 9.70042E 00 9.70042E 00 9.70042E 005321 S 8
 9.70042E 00 9.70042E 00 9.70042E 00 9.70042E 00 9.70042E 00 9.70042E 005321 S 9
 9.70042E 00 9.70042E 00 9.70042E 00 9.70042E 00 9.70042E 00 9.70042E 005321 S 10

(the rest is omitted)

Table 6.6A Input data for MGT code

Word		MGT Code: Makes short data tape from master tape.
Column	1-72	
Format	Alphameric	
Card		
1	Label for short tape	
Symbol	TLABEL(I), I=1,13	
Word	1	
Column	10-12	
Format	Integer	
Card		
2	Number of nuclides to be placed on short tape.	
Symbol		
Word	1	
Column	1-12	
Format	Decimal	
Card		Repeat card 3 for each nuclide on short tape being made
3	Nuclide I.D. number (as written on master tape)	
Symbol	TIDA	

Table 6.6B Set up of input cards for MGT code

....*,...,1,...*,...,2,...*,...,3,...*,...,4,...*,...,5,...*,...,6,...*,...,7,...*,...,8

YNO	C,1/CORE	64
	W,0/PAGE	40
	T,2/TIM5	5
	P,0/PCH	0
*GJOB		
*LIEDKP J0051.GGC4MGT		
SELECT RELBIN		
FIN		
*RUN		
*TAPE F01,J0051,GC4THERM,OLD,000437	ANL library tape	
*TAPE F02,J0051,GGC4MGT,NEW,001415	Working tape to be produced	
*DISK F03		
*DATA		
NEW THERMAL SHORT TAPE NOV,19 1973	MGT	1
66		2
1,003021		3
1,003030		
1,003041		
1,003421		
1,003721		
1,004721		
1,005821		
1,005920		
1,012010		
1,203020		
3,00		
4,003010		
4,003020		
4,012010		
5,00		
5,010		
6,003020		
6,004020		
6,006020		
6,009020		
6,012020		
6,01500		
6,01800		
8,003010		
8,005890		
8,012010		
11,00000		
12,00000		
13,00000		
14,00000		
15,00000		
16,00000		
22,00000		
24,00000		
25,00000		
26,00000		
27,00000		
28,00000		
29,00000		
	MGT	
	MGT	
	MGT	

Table 6.6B (Continued)

.....*....1.....*....2.....*....3.....*....4.....*....5.....*....6.....*....7.....*....8

40,00000	
41,09300	
42,00000	
47,10900	
48,00000	
49,00000	
50,00000	
54,13500	
62,14900	
64,00000	
72,00000	
73,00000	
74,00000	
90,23200	
91,23300	
92,23300	
92,23330	
92,23500	
92,23800	
94,23900	MGT
94,24000	
94,24100	
94,24120	
94,24200	
201,0	
202,0	
203,0	
¥JEND	

Table 6.7A Input data for COMBIN code

Word	1	2				
Column	10-12	24				
Format	Integer	Integer				
Card 1	Number of mixtures to be created (no limit)	Place mixtures on new Thermal Section data tape? 0 = No 1 = Yes				
Symbol	NMIX	NEWT				

COMBIN Code:
Prepares cross-section data for combinations of nuclides.
Data is read from input tape and placed on output tape.
Input data is read from input tape.

If mixtures being placed on new data tape (card 1, word 2 = 1), input card 2

Word	1-72					
Column	1-72					
Format	Alphanumeric					
Card 2	Label to be written on new data tape					
Symbol	Label(1),1,1,1					

Cards 3 through 5 are required for each mixture

Word	1	2	3	4	5	
Column	1-12	13-16	34-36	48	60	
Format	Decimal	Alphanumeric	Integer	Integer	Integer	
Card 3	I.D. number for mixture	Identification for punched cards	Number of nuclides in this mixture (no limit)	Punch mixture data for WTEG?	Print mixture data?	
				0 = No 1 = Yes	0 = No 1 = Yes	
Symbol	CID	CDID	NUCL	NPUNCH	NPRINT	

Word	1	2				
Column	1-72					
Format	Alphanumeric					
Card 4	Mixture Description					
Symbol	MIX(1),1,1,1					

Word	1	2				
Column	1-12	13-24				
Format	Decimal	Decimal				
Card 5	Nuclide I.D. number on old data tape	Combining factor Atomic density Fraction				
Symbol	TIDA	FRACT				

JAERI-M 5991

Table 6.7B Set up of input cards for COMBIN code

.....*....1....*....2....*....3....*....4....*....5....*....6....*....7....*....8

¥NO

C.U/CURE 32
W.U/PAGE 40
T.I/TIME 2
P.B/PCH 1000

*GJOB
*LJEDRP JOU51.GGC4COMB
SELECT RELIN
+IN
*RUN
*TAPE r02.JOU51.GGC4MGT,OLD,001415 Working tape produced by MGT code
*DISK F03
*PUNCH OUT=200
*DATA

				COMBIN 1
				S304 3
				4
SUS 304	FROM AGN TM=407	5	1	S304 3
14.0	0.0196			
24.0	0.2002			
25.0	0.0200			
26.0	0.6715			
28.0	0.0887			
54.658005304		5	1	SUS32
SUS 321	FROM AGN TM=407	5	1	SUS32
14.0	0.0196			
24.0	0.1899			
25.0	0.0200			
26.0	0.6819			
28.0	0.0886			
54.6640005347		5	1	SUS347
SUS 347	FROM AGN TM=407	5	1	SUS347
14.0	0.0196			
24.0	0.1900			
25.0	0.0200			
26.0	0.6723			
28.0	0.0981			
55.289005316		6	1	SUS3 6
SUS 316	FROM AGN TM=407	6	1	SUS3 6
14.0	0.0196			
24.0	0.1815			
25.0	0.0202			
26.0	0.6504			
28.0	0.1135			
42.0	0.0146			
56.461000INCO		3	1	INCON
INCONEL	FROM AGN TM=407	3	1	INCON
24.0	0.1836			
26.0	0.0994			
28.0	0.7170			
58.62700HASA		7	1	INCON-X HASTF-X
HASTELLOY-X	FROM AGN TM=407	7	1	INCON-X HASTF-X
24.0	0.2522			
25.0	0.0080			
26.0	0.1933			
27.0	0.0129			
28.0	0.4793			
42.0	0.0533			
74.0	0.0010			
59.132001NCX		6	1	INCON-X
INCONEL-X	FROM AGN TM=407	6	1	INCON-X
13.0	0.0153			
24.0	0.1762			
26.0	0.0741			
27.0	0.0050			
28.0	0.7233			
41.0930	0.0061			
91.336902ZRY4		4	1	ZRY-4
ZRY-4	FROM JAERI-M 4881	4	1	ZRY-4
24.0	0.0018			
26.0	0.0034			
40.0	0.9836			
50.0	0.0112			
91.349602ZRY2		5	1	ZRY-2 3
ZRY-2	FROM JAERI-M 4881	5	1	ZRY-2 3
24.0	0.0018			
26.0	0.0026			
28.0	0.0009			
40.0	0.9830			
50.0	0.0117			

¥END

Table 6.8A Input data for SPRINT code

Word							SPRINT Code:
Column	1-72						Prints data tape
Format	Alphabetic						
Card	CATHER Data Tape Label (must match label on tape exactly)						
Symbol	OLD(I), I=1,12						

Word	1	2	3				
Column	12	20-24	36				
Format	Integer	Integer	Integer				
Card	Data printed: 0 = all data 1 = for spec. nuclides 2 = all absor- bers 3 = all kernels	Number of nu- clides to be printed (if word 1=1)	Print option: 0 = on standard output unit 1 = special tape (unit 9)				
Symbol	SPRINT	MAT	NK				

If printing for specified nuclides (card 2, word 1=1), input card 3 for each nuclide desired.

Word	1	2	3	4				Number of cards 3 - card 2, word 2.
Column	1-12	24	36	48				
Format	Decimal	Integer	Integer	Integer				
Card	Nuclide I.D. number on data tape	Print standard nuclide data? 0 = No 1 = Yes	Print resonance parameters? 0 = No 1 = Yes	Print scatter- ing kernel? 0 = No 1 = Yes				
Symbol	TIDA	NCJD	NR	NK				

Table 6.8B Set up of input cards for SPRINT code

.....,1,*,2,*,3,*,4,*,5,*,6,*,7,*,8

*NO

C.1/CORE 64
W.0/PAGE 40
T.0/TIME 1
P.0/PCH 0

*GJOB

*LIEDKP J0051.GGC4SPRT

SELECT RELBIN

FIN

*RUN

*TAPE F01.J0051.GGC4WTFG.OLD.001520

Master tape produced by WTEG code

*DISK F08

*DATA

NEW THERMAL SHORT TAPE NOV.21 1973

1 1

92,235

1

*JEND

JAERI-M 5991

Table 6.7B Set up of input cards for COMBIN code

.....*....1....*....2....*....3....*....4....*....5....*....6....*....7....*....8

*END

				C.O/CORE 32
				W.O/PAGE 40
				T.1/TIME 2
				P.3/PCH 1000
*GJOB				
*LIECR= J0051.GGC4COMB				
SELECT RELBIN				
FIN				
*RUN				
*TAPE F02,J0051.GGC4MGT,SLD,001415				Working tape produced by MGT code
*DISK F03				
*PUNCH OUT=200				
*DATA				
	9			COMBIN 1
54.6±800S304		5	1	S304 3
SUS 304 FROM AGN TM=407				4
14.0 0.0196				
24.0 0.0202				
25.0 0.0200				
26.0 0.6715				
28.0 0.0887				
54.6±800S321		5	1	SUS32
SUS 321 FROM AGN TM=407				
14.0 0.0196				
24.0 0.1899				
25.0 0.0200				
26.0 0.6819				
28.0 0.0886				
54.6±84000S347		5	1	SUS347
SUS 347 FROM AGN TM=407				
14.0 0.0196				
24.0 0.1900				
25.0 0.0200				
26.0 0.6723				
28.0 0.0981				
55.28900S316		6	1	SUS3 6
SUS 316 FROM AGN TM=407				
14.0 0.0196				
24.0 0.1815				
25.0 0.0202				
26.0 0.6504				
28.0 0.1135				
42.0 0.0146				
56.46100INCO		3	1	INCON
INCONL FROM AGN TM=407				
24.0 0.1836				
26.0 0.0994				
28.0 0.7170				
56.±2700MASK		7	1	INCON-X HASTE -X
HASTELLUX-X FROM AGN TM=407				
24.0 0.2522				
25.0 0.0080				
26.0 0.1933				
27.0 0.0129				
28.0 0.4793				
42.0 0.0533				
74.0 0.0010				
59.±3200INCX		6	1	INCON -X
INCONL-X FROM AGN TM=407				
13.0 0.0153				
24.0 0.1762				
26.0 0.0741				
27.0 0.0050				
28.0 0.7233				
41.0930 0.0061				
91.±3690ZRY4		4	1	ZRY-4
ZRY-4 FROM JAERI-M 4881				
24.0 0.0018				
26.0 0.0034				
40.0 0.9836				
50.0 0.0112				
91.±4960ZRY2		5	1	ZRY-2 3
ZRY-2 FROM JAERI-M 4881				4
24.0 0.0018				5
26.0 0.0026				
28.0 0.0009				
40.0 0.9830				
50.0 0.0117				

*END

Table 6.9A Input data for BOP code

Word	1						
Column	10-12						
Format	Integer						
Card	Number of energy pts. at which cross sections calculated (≤ 141)						
Symbol	NRG						

Word	1	2	3	4	5	6	
Column	1-12	13-24	25-36	37-48	49-60	61-72	
Format	Decimal	Dec.	Dec.	Dec.	Dec.	Dec.	
Card	Energy of point 1 (ev)	Energy of point 2 (ev)	Energy of point 3 (ev)	etc.	etc.	etc.	
2	E(1)	E(2)	E(3)	etc.	etc.	etc.	

Note: Input energy values from lowest to highest (lowest at point 1).

Word	1						
Column	1-72						
Format	Alphabetic						
Card	Problem or nuclide description (for page headings)						
3	CNAME(I), I=1, 12						

Word	1	2	3	4			
Column	1 - 12	13 - 24	25-36	37-48			
Format	Decimal	Dec.	Dec.	Dec.			
Card	Mass of nuclide	Statistical factor, g (if ≤ 0 , input g for each resonance)	Potential scattering cross-section, σ_p (barns) ^o	Temperature for Doppler broadening calculation (°K)			
4	WTG	SPIN	SPAT	TEMP			

WORD	1	2	3	4	5	6	Note:
COLUMN	11-12	24	36	48	60	72	
FORMAT	Integer	Int.	Int.	Int.	Int.	Int.	
CARD	Number of resonances (≤ 50)	Specify fission widths (Γ_f)? 0 = No 1 = Yes	Normalization: 0 = none 1 = constant Γ_f to normalize σ_a 2 = σ_a norm. to given value 3 = similar to 1 4 = similar to 2 5 = None but extra print given	Punch resonance parameters for WTG? 0 = No 1 = Yes	Punch cross-section for WTG? 0 = No 1 = Yes	Form of neutron half-widths: 0 = standard (Γ_n) 1 = reduced (Γ_n^0)	See next page for full description of normalization options (word 3).
SYMBOL	NEZ	NFIS	NORM	NPAR	NSIG	NGN	

If statistical factor given for each resonance (card 4, word 2 ≤ 0), input card 6A.

WORD	1	2	3	4	5	6	
COLUMN	1-12	13-24	25-36	37-48	49-60	61-72	
FORMAT	Decimal	Dec.	Dec.	Dec.	Dec.	Dec.	
CARD	Resonance energy, E_0 (ev)	Spin (1) of target nucleus, or statistical factor (g)	If word 2 = 1, input spin of compound nucleus (J) For word 2 = g, input -1D	Γ_γ	Γ_n or Γ_n^0 Gamma width (mv)	Γ_f Neutron half-width (mv)	Repeat card 6A for each resonance Statistical factor $g = \frac{1}{2} \left(\frac{2J+1}{2I+1} \right)$ if both I and J input.
6A							

Table 6.9A (Continued)

Explanation of word 3, card 5 (Normalization option)

<u>Value</u>	<u>Effect</u>
0	No normalization
1	A constant value of Γ_y for all resonances will be used to normalize absorption cross-section to specified value at given energy.
2	Absorption cross-section will be normalized to given value at given energy by adjusting Eo for the negative energy resonance specified
3	Same normalization as 1. In addition, contribution of each resonance to total absorption and scattering cross-sections at normalization energy point and highest energy point will be calculated and printed.
4	Same normalization as 2, with additional calculation and print as described for 3.
5	No normalization, but contribution of each resonance to the cross-sections at highest energy point will be calculated and printed.

(For options 1 through 4, additional information will be required on card 7.)

Table 6.9A (Continued)

If statistical factor constant (card 4, word 2 > 0), input card 6B for each resonance.

WORD	1	2	3	4		
COLUMN	1-12	13-24	25-36	37-48		
FORMAT	Decimal	Dec.	Dec.	Dec.		
CARD	Resonance energy, E_0 (ev)	Γ_γ Gamma width (mv)	Γ_n or Γ_n^0 Neutron half-width (mv)	Γ_f Fission width (mv), if input		
SYMBOL	$E_0(K)$	$\Gamma_\gamma(K)$	$\Gamma_n(K)$	$\Gamma_f(K)$		

If no normalization desired (card 5, word 3 = 0 or 5), skip to card 8.

WORD	1	2				
COLUMN	1-12	13-24				
FORMAT	Decimal	Dec.				
CARD	Base energy for cross-section normalization (must match one of input energies, card 2)	Total absorption cross-section at E_0 (barns)				
SYMBOL	E_0	SAO				

Word	1		
Column	1-4		
Format	Alphameric		
Card	Punched card I.D. (for col. 73-76)		
Symbol	CMPC		

Word	1		
Column	12		
Format	Integer		
Card	Repeat option: 0 = No more problems. 1 = Complete new prob. 2 = repeat for new nuclide 3 = repeat for new temperature		
Symbol	NEWP		

Go to card 1, 3 or 10 as specified on card 9.

Word	1		
Column	1-12		
Format	Decimal		
Card	New temperature for Doppler broadening (o_K)		
Symbol	TEMP		

For word 1 > 0,	
Value	Cards needed
1	all (1-9)
2	3 thru 9
3	10, then 9

Table 6.9B Set up of input cards for DOP code

....*....1....*....2....*....3....*....4....*....5....*....6....*....7....*....8

\$NO						C,O/CORE	32
						W,O/PAGE	40
						T,2/TIM5	5
						P,O/PCH	0
*GJOB							
*LIEDKP	J0051.GGC4DOPL						
SELECT	RELBIN						
FIN							
*RUN							
*DATA							
101						DOP	1
0.0010	0.0020	0.0040	0.0050	0.0070	0.0080	E(101)	1
0.0100	0.0150	0.0200	0.0253	0.0300	0.0400	E(101)	2
0.0500	0.0600	0.0650	0.0700	0.0750	0.0800	E(101)	3
0.0850	0.0900	0.0950	0.1000	0.1200	0.1400	E(101)	4
0.1600	0.1800	0.2000	0.2200	0.2300	0.2400	E(101)	5
0.2500	0.2600	0.2700	0.2800	0.2900	0.3000	E(101)	6
0.3100	0.3200	0.3300	0.3400	0.3500	0.3600	E(101)	7
0.3800	0.4140	0.4200	0.4300	0.4500	0.4600	E(101)	8
0.4700	0.4750	0.4800	0.4900	0.5000	0.5320	E(101)	9
0.5500	0.5750	0.5900	0.6000	0.6250	0.6500	E(101)	10
0.6830	0.7000	0.7500	0.8000	0.8500	0.8760	E(101)	11
0.8900	0.9100	0.9300	0.9500	0.9700	0.9800	E(101)	12
0.9900	1.0000	1.0250	1.0500	1.0600	1.0700	E(101)	13
1.0800	1.0900	1.1100	1.1250	1.1300	1.1500	E(101)	14
1.2000	1.2500	1.3000	1.3500	1.4400	1.5000	E(101)	15
1.6000	1.7000	1.7800	1.8600	1.9000	2.0000	E(101)	16
2.1000	2.2000	2.2900	2.3300	2.3800		E(101)	17
U-235 300 K REFER GA-2113						DOP	3
235.	-0.5	10.	300.			DOP	4
3		1	2			DOP	5
0.273	0.5	1.0	29.	0.0029	99.	DOP	6A
1.140	0.5	1.0	44.	0.0172	124.6	DOP	6A
2.035	0.5	1.0	35.	0.0077	12.	DOP	6A
0.0253	682.						7
3						DOP	9
1200.	3					DOP	10
2400.	0					DOP	9
						DOP	10
						DOP	9
\$JEND							

7 あ と が き

G G C - 4 コードは本来均質炉（例えば、高温ガス炉）用として作成されたものであるが、工夫して用いれば非均質炉にも用いることができよう。例えば G A T H E R セクションの出力を T H E R M O S コードなどに入力してセル計算など行わせる如くである。

G A T H E R セクションの熱中性子源として、G A M セクションからの値か、あるいは $1/E$ スペクトラムを仮定しての値かによって、G A T H E R セクションの群定数に若干の差が見られる。Table 7.1 の例では J P 2 炉心に対してあるが、上方散乱における差が最も大きい。温度依存の重要な均質炉体系では、この差の影響が出てこよう。

Table 7.1 Difference in the thermal group cross sections due to different slowing down sources

Slowing down spectrum	\sum_c	\sum_f	\sum_s^{up}	\sum_s^{ingroup}	\sum_s
by GAM	2.6796×10^{-2}	5.3525×10^{-2}	2.1011×10^{-5}	1.0271	1.0271
by $1/E$	2.6514×10^{-2}	5.2862×10^{-2}	2.3842×10^{-5}	1.0229	1.0229

Note: Cross sections for the 2.6% enriched JP-2 core.

G A M セクションの共鳴計算の入力として必要なダンコフ補正係数を作成するコード（正方格子系および六方格子系に対して）を付録 A に付けておいたので利用されたい。

断面積ライブラリーに対する補助プログラムを有効に利用すれば更に便利なことがある。例えば遅発中性子スペクトラムなどを入力することもよい。

G G C - 4 コードの断面積ライブラリー、および G G C - 4 本体の計算結果などの他のコードおよび実験などとの比較が文献 19) 20) 21) 22) 23) 24) に記されている。我々の N S R R³⁰⁾に対する計算で G G C - 4 コードの G A M セクションと G A M - 1 コードとの比較¹⁰⁾（エネルギー一群数 6）では、前者が 21.2 秒で後者が 3.2 秒であった。G A M - 1 コードに比較して G G C - 4 コードの G A M セクションの方は約 7 倍計算時間がかかるが、汎用性の点で便利であるので仕方がないであろう。

C O M B O セクションの出力カードの中で拡散コードの入力形式の方は現在、G U R N E T¹⁴⁾（一次元拡散）コード¹⁵⁾および E X T E R M I N A T O R - 2（二次元拡散）コード¹⁴⁾に入力できるように断面積データの入力形式の変換プログラムを作成してあるので（付録 B 参照）、合わせて利用されたい。

8 文 献

GGC-4コードの直接の解説書は以下に示す文献 1)2)3)4)5)6)および 11)である。この報告書は主にこれらからまとめた。

- 1) Adir J., and Lathrop K.D. "Theory of methods used in the GGC-4 multigroup cross section code" GA-9021(1968)
- 2) Adir J., Clark S.S., Froehlich R., and Todt L.J. "Users' and programmers' manual for the GGC-3 multigroup cross section code; part 1 (users' part)", GA-7157(1967)
- 3) Adir J., Clark S.S., Froehlich R., and Todt L.J. "Users' and programmers' manual for the GGC-3 multigroup cross section code; part 2 (programmers' part)", GA-7157(1967)
- 4) Joanou G.D. and Stevens G.A., "Neutron cross section for ^{238}U ", GA-6087 Rev. (1965)
- 5) Joanou G.D., Smith C.V., and Vieweg H.A. "GATHER-II, An IBM-7090 FORTRAN-II program for the computation of thermal neutron spectra and associated multigroup cross sections", GA-4132(1963)
- 6) Drake M.K., Smith C.V., and Todt L.J., "Description of auxiliary codes used in the preparation of data for the GGC-3 code", GA-7158(1967)
- 7) Williams M.M.R., "The Slowing Down and Thermalization of Neutrons", North-Holland (1966) の Chap. X.1.2
- 8) Varga R.S. "Matrix Iterative Analysis" Prentice-Hall(1962)
- 9) Kuncir G.F., "A program for the calculation of resonance integrals", GA-2525(1961)
- 10) Joanou G.D. and Dudek J.S., "GAM-1; A consistent P₁multigroup code for the calculation of fast neutron spectra and multigroup constants", GA-1850(1961) の Discussions of GAM code の章
- 11) Hinman G.W. and Sampson J.B., "A rigorous determination of the Doppler broadening of nuclear resonances for a Maxwellian gas absorber" GA-3603(1962)
- 12) Lathrop K.D., "DTF-N, A FORTRAN-N program for solving the multigroup transport equation with anisotropic scattering", LA-3373(1965)
- 13) Lathrop K.D., and Brinkley F.W., "Theory and use of the general geometry TWOTRAN program, LA-4432(1970)

- 14) Fowler T.B., Tobias M.L. and Vondy D.R., "EXTERMINATOR-2: A FORTRAN-W code for solving multigroup neutron diffusion equations in two dimensions", ORNL-4078(1967)
- 15) 伊勢武治, 久保謹洋“汎用一次元拡散コードGURNET” JAERI-1215(1971)
- 16) Dorsey J. P. and Froehlich R., "GAMBLE-5: A program for the multigroup neutron diffusion equations in two dimensions with arbitrary group scattering, for the UNIVAC-1108 computer", GA-8188(1967)
- 17) Wilcox T.P. and Perkins S.T. "AGN-GAM, An IBM7090 code to calculate spectra and multigroup constants" AGN TM-407 (1965)
- 18) 森島淳好, 栗山實, 原山泰雄“第1集 燃料設計に必要な物性値及び計算図表(改訂第2版)” JAERI-M4881(1972)
- 19) Gibson G. and Moran L.L. "Tests of the GGC-3, GGC-4 neutron slowing down codes and comparisons with the codes GAMBIT and TRANSFER" WANL-TME-1933(1969)
- 20) Moore R.A., Sargis D.A., and Cohen S.C., "Integral tests of ENDF/B and GAM neutron cross section data in a clean fast assembly" Nucl. Sci. Eng. 39, 2, 263(1970)
- 21) "CDC6600, CDC3600 センターニュース臨時増刊号", センチュリーリサーチセンター(昭和46年11月)
- 22) Bardes R. G. et al "Results of HTGR critical experiments designed to make the integral checks on the cross sections in use at Gulf General Atomic" GA-8468(1968)
- 23) Wright R.Q., Greene N.M., Lucius J.L., and Craven Jr. C.W. "SUPERTOG: A program to generate fine group constants and Pn scattering matrices from ENDF/B" ORNL-TM-2679(1969)
- 24) Honeck H.C. & Finch D.R. "FLANGEII, A code to process thermal neutron data from an ENDF/B tape" DP-1278(1971)
- 25) Koppel J.U., Triplett J.R., and Naliboff Y.D. "GASKET, A unified code for thermal neutron scattering" GA-7147(Rev.)(1967)
- 26) Bell J. "SUMMIT An IBM-7090 program for the computation of crystalline scattering kernels" GA-2492(1962)
- 27) Naliboff Y.D. and Koppel J.U. "HEXSCAT, coherent elastic scattering of neutrons by hexagonal lattices" GA-6026(1964)
- 28) 飯島俊吾, 鶴沢正道“非等方結晶に対する模型のコードのマニアル(UNCLE)” JAERI-1087(1965)

- 29) Nakahara Y. & Kadotani H. "A computational method of thermal neutron scattering kernels for high temperature crystals" JAERI-1220 (1971)
- 30) 伊勢武治, 中原康明, 秋元正幸 "NSRRの熱中性子スペクトルと温度係数" JAERI-M 5730 (1974年5月)
- 31) Butlant A.T.D. and Chudley C.T. "A comparative study of various light water scattering models used in thermal reactor calculations" AEEW-R-814 (1972)
- 32) Wright R.Q., Schenter R.E. and Jenkins J.D. "Comparison of the group constants generated by the ENDF/B processing codes ETOX and SUPERTOG" ORNL-TM-4041 (1973)
- 33) Carlvik I. "Dancoff correction in square and hexagonal lattices," Nucl. Sci. Eng. 29, 325 (1967)
- 34) Goodjohn A.J. and Pomraning G.C. (ed.) "Reactor Physics in the Resonance and Thermal Regions : Vol.II Resonance Absorption" の中 p223~260

付録 A Dancoff 係数の計算コード

正方格子系および六方格子系の Dancoff 補正係数を積分型輸送方程式を厳密に解いて得られる計算コード³³⁾を紹介しておく。

Table A.1 は入力形式であり、Table A.2 はその使用例であり、出力プリントの中で DANCOFF CORRECTION と記されているのが求める Dancoff 補正係数である。

Table A.1 Input specifications for the code computing
the Dancoff correction factor

Card	Format	Symbol	Contents
1	18A4	TITLE(I), I=1, 18	Problem description
2	I3, E12.5, E12.5, E12.5,	NLAT, PITCH, RADIUS, GAPWID	= 4 for cubic lattices, = 6 for hexagonal lattices, Distance between fuel centers(cm), Radius of fuel rod(cm), Gap width between fuel and moderator (cm)
3	I3, I6, 16,	NSIGMA, NALP, NRAD	Total number of input cross sections for moderator, Total number of angular mesh points for solving the integral transport equation(ordinally 70 is enough), Total number of spatial mesh points in the radial direction(ordinally 40 is enough)
4	6E12.5	SIGMA(I), I=1, NSIGMA	Cross sections for moderator(cm^{-1})

Table A.2 Input card setup for a calculation of the Dancoff correction factor

```
.....*....1....*....2....*....3....*....4....*....5....*....6....*....7....*....8

$NO
C.O/CURE 32
W.O/PAGE 40
T.O/TIME 1
P.O/PCH 0

*$JOB
*$LIEDKP J0051.GGC4DANC
SELECT RELBIN
FIN
$RUN
$DATA
1 DANCOFF CORRECTION FOR NSRR FUEL LATTICE H2O+SUS, H2O 23C 140*70
 6 4.1706   1.7793    0.0432
 3 140      70
 1.4018     1.3915    1.3517
$JEND
```

付録 B GGC コードの出力カードから GURNET および
EXTERMINATOR-2 コード用の入力カードへ
変換するプログラム

GGC コードからの出力カードの拡散コード用断面積データは、GURNET (1 次元拡散)¹⁵⁾ コードや EXTERMINATOR-2 (2 次元拡散)¹⁴⁾ コードの断面積データとは、入力形式が異なるので、そのままでは用いることはできない。そこで、入力形式の変換プログラム (SHRIMP3.) を作成したので、その使用法を説明しておく。

この変換プログラムの機能は次の通りである：

- (1) GGC からのデータからすぐに GURNET 用データを作成する。
- (2) GGC からのデータを、GURNET 用データの一部と交換したり、あるいは付け加えたりする。
- (3) GURNET 用データと同時に EXTERMINATOR-2 用のデータも作成する。

特に、機能(2)を用いるときは、GURNET コードの入力形式についての知識を予め持っていることが望ましい。

Table B.1 には、このプログラムの入力形式が示しており、Table B.2 には、使用例が示してある。この使用例は、機能(2)に属していて、GGC からの物質データで GURNET 用データの一一番最後尾の物質データが置き換えられている例である。

尚、現在、GGC からの拡散コード用データを直接読み込むことができるコードは、GAMBLE-5 (2 次元拡散)¹⁶⁾ コードのみのようであるが、未だ FACOM への変換はなされていない。

Table B.1 Input format description for the format conversion program (SHRIMP3) from GGC output cards to GURNET and EXTERMINATOR-2 cross section input cards

Card	Format	Symbol	Contents
1	20A4	TITLE(I), I=1, 20	Problem description
2	6I5	IGU, IEMAX, MAX, MMAX, IFF, ITT	IGU =1: read GGC format cards only, IGU =2: read GGC and GURNET format cards, IGU>0: output the input cards of GURNET format only, IGU<0: output the input cards of GURNET and EXTERMINATOR-2 formats Number of energy groups. Number of materials of GGC format cards. Number of materials of GURNET format cards. Treatment for the absorption cross section for GURNET; IFF=0: absorption cross section, IFF=1: capture and fission cross sections. Treatment for the diffusion coefficient for GURNET; ITT=0: diffusion coefficient, ITT=1: transport cross section

Table B.1 (Continued)

Card	Format	Symbol	Contents
3	8I10	MAA(M), M=1, MAX	The corresponding material's identification number when the materials of GGC format are assigned to those of GURNET format.

Table B.1 (Continued)

If you don't have the data from GURNET, skip to card 5.

Card	Format	Symbol	Contents
4	I10, 7E10.4	DO ** I=1, IEAX ** IA(I), (XSEC(I, M), M=1, MMAX)	Material cross section data from GURNET; in order of $\nu \Sigma_f$, Σ_a (or Σ_f , Σ_c for IFF=1), D(or Σ_{tr} for ITT=1), and Σ_s - matrix for XSEC. Ordinarily, the punch-output cards from previous calculations are used.
5	20A4	DO * M=1, MAX (A(M, I), I=1, 20),	Data from GGC. The following data are repeated MAX times; Material description (ordinarily, the cards before each material data in GGC output cards are used)
	6E12.5	DO ** I=1, IEAX ** XSEC(M, I), -----	Interaction cross sections: in order of ν , Σ_f , Σ_c , Σ_{tr} , $\Sigma_{n,2n}$ and Σ_{any} (Σ_{any} =any cross section, ordinally blank) for XSEC, -----.

Table B.1 (Continued)

Card	Format	Symbol	Contents
5 (Cont.)	6E12,5	DO *** I=1, IEMAX *** XS(M,I,J), J=1, IEMAX * CONTINUE	Scattering transfer matrix: $\sum_s (E_I \rightarrow E_J)$, $E_J = E_I \sim E_{IEMAX}$, ordinarily, the output cards from previous calculations are used.

Table B.2 Setup input cards for SHRIMP3 code

....*....1....*....2....*....3....*....4....*....5....*....6....*....7....*....8

YNO	C.0/CORE	32
	W.0/PAGE	40
	T.0/TIME	1
	P.2/PCH	200
*GJOB		
*LIEDKP J0051.SHRIMP3		
SELECT RELBIN		
FIN		
*RUN		
*PUNCH		
*DATA		
GURNET+GGC TO GURNET***EXCHANGE 5.2 E.U.-002 FOR 20 E.U.-002		
2 9 1 7 0 0		
7		
16290.2870E-020.0 0.0 0.0 0.0 0.0 0.4719E-01		
16490.2097E-020.0 0.0 0.0 0.0 0.0 0.3362E-01		
16690.7809E-030.0 0.0 0.0 0.0 0.0 0.4995E-02		
16890.1060E-020.0 0.0 0.0 0.0 0.0 0.5486E-02		
17090.1402E-010.0 0.0 0.0 0.0 0.0 0.6628E-01		
17290.3997E-010.0 0.0 0.0 0.0 0.0 0.2170E 00		
17490.9588E-010.0 0.0 0.0 0.0 0.0 0.5634E 00		
17690.1672E 030.0 0.0 0.0 0.0 0.0 0.9341E 00		
17890.2911E 030.0 0.0 0.0 0.0 0.0 0.1977E 01		
158320.1738E-020.3209E-020.3241E-040.8122E-030.4636E-050.0 0.1835E-01		
158520.8097E-030.0 0.2093E-030.2446E-040.0 0.1500E-030.1361E-01		
158720.5913E-030.0 0.4639E-030.7741E-040.0 0.3300E-030.5066E-02		
158920.1673E-020.0 0.1060E-020.3143E-030.0 0.9200E-030.9107E-02		
159120.2508E-010.5993E-030.4357E-020.1175E-020.0 0.4230E-020.7340E 00		
159320.2554E-010.4139E-020.4619E-010.3032E-020.9021E-090.3730E-020.1161E 00		
159520.5911E-010.8019E-020.3842E-010.5454E-020.1603E-080.3440E-020.3039E 00		
159720.1001E 000.1299E-010.1432E 000.9218E-020.2746E-050.5460E-020.4867E 00		
159920.1773E 000.2470E-010.2724E 000.1756E-010.4840E-080.1020E-010.1023E 01		
129110.2222E 010.2769E 010.1955E 010.3141E 010.4297E 040.2770E 010.2387E 01		
129310.1742E 010.2141E 010.1753E 010.2545E 010.3859E 040.2470E 010.2024E 01		
129510.1340E 010.1717E 010.1810E 010.1940E 010.2664E 040.1770E 010.1427E 01		
129710.9258E 000.1206E 010.1230E 010.1319E 010.2227E 040.9510E 000.1021E 01		
129910.5886E 000.6642E 000.4823E 000.9265E 000.2438E 040.1160E 010.6120E 00		
130110.4814E 000.4846E 000.3635E 000.6780E 000.1711E 040.9650E 000.5295E 00		
130310.5311E 000.2739E 000.3472E 000.5375E 000.1707E 040.9660E 000.3004E 00		
130510.2249E 000.1976E 000.3279E 000.4370E 000.1695E 040.9610E 000.1933E 00		
130710.1126E 000.1057E 000.2335E 000.2846E 000.1654E 040.9500E 000.1192E 00		
20290.0 0.0 0.0 0.0 0.0 0.0		
24290.7355E-010.6670E-010.5658E-010.5369E-010.2491E-040.2360E-010.2972E-01		
28290.2051E-010.1620E-010.3677E-010.8734E-020.2464E-060.2790E-010.2854E-01		
32290.1831E-010.1431E-010.2157E-010.6300E-020.1685E-060.1470E-010.2621E-01		
36290.1675E-030.2053E-030.1418E-050.5682E-040.0 0.5820E-050.1431E-04		
40290.1301E-070.1601E-070.0 0.4403E-060.0 0.0 0.0		
44290.7558E-080.9300E-080.0 0.2558E-060.0 0.0 0.0		
48290.0 0.0 0.0 0.0 0.0 0.0		
52290.0 0.0 0.0 0.0 0.0 0.0		
20490.0 0.0 0.0 0.0 0.0 0.0		
24490.0 0.0 0.0 0.0 0.0 0.0		
28490.7052E-010.7341E-010.3892E-010.4463E-010.1725E-040.2240E-010.4477E-01		
32490.5391E-010.5654E-010.1458E-010.1740E-010.0 0.1560E-010.3415E-01		

Table B.2 (Continued)

.....*....1,...*....2....*....3....*....4....*....5....*....6....*....7....*....8					
36490.6795E-030.8185E-030.1077E-050.2353E-030.0				0.1900E-040.2608E-04	
40490.5288E-070.6382E-070.0	0.1833E-070.0			0.0	0.0
44490.3072E-070.3707E-070.0	0.1065E-070.0			0.0	0.0
48490.0	0.0	0.0	0.0	0.0	0.0
52490.0	0.0	0.0	0.0	0.0	0.0
20690.0	0.0	0.0	0.0	0.0	0.0
24690.0	0.0	0.0	0.0	0.0	0.0
28690.0	0.0	0.0	0.0	0.0	0.0
32690.1755E-000.2187E-000.2309E-010.9220E-010.2713E-040.1140E-010.3802E-01					
36690.2375E-020.2982E-020.2157E-070.8012E-030.0				0.1610E-050.2726E-04	
40690.1851E-060.2325E-060.0	0.6247E-070.0			0.0	0.0
44690.1075E-060.1350E-060.0	0.3628E-070.0			0.0	0.0
48690.0	0.0	0.0	0.0	0.0	0.0
52690.0	0.0	0.0	0.0	0.0	0.0
20890.0	0.0	0.0	0.0	0.0	0.0
24890.0	0.0	0.0	0.0	0.0	0.0
28890.0	0.0	0.0	0.0	0.0	0.0
32890.0	0.0	0.0	0.0	0.0	0.0
36890.1387E-000.1767E-000.1715E-020.5424E-010.9385E-060.1100E-020.3366E-02					
40890.1072E-040.1362E-040.0	0.3712E-050.0			0.0	0.1303E-09
44890.6229E-050.7912E-050.0	0.2156E-050.0			0.0	0.0
48890.0	0.0	0.0	0.0	0.0	0.0
52890.0	0.0	0.0	0.0	0.0	0.0
21090.0	0.0	0.0	0.0	0.0	0.0
25090.0	0.0	0.0	0.0	0.0	0.0
29090.0	0.0	0.0	0.0	0.0	0.0
33090.0	0.0	0.0	0.0	0.0	0.0
37090.0	0.0	0.0	0.0	0.0	0.0
41090.6883E-010.9485E-010.3646E-030.2905E-010.6397E-080.6240E-030.2472E-02					
45090.3952E-010.5418E-010.0	0.1407E-010.0			0.0	0.0
49090.0	0.0	0.0	0.0	0.0	0.0
53090.0	0.0	0.0	0.0	0.0	0.0
21290.0	0.0	0.0	0.0	0.0	0.0
25290.0	0.0	0.0	0.0	0.0	0.0
29290.0	0.0	0.0	0.0	0.0	0.0
33290.0	0.0	0.0	0.0	0.0	0.0
37290.0	0.0	0.0	0.0	0.0	0.4718E-03
41290.0	0.0	0.0	0.0	0.0	0.0
45290.4332E-000.5223E-000.1601E-010.1902E-000.2057E-040.0				0.2236E-01	
49290.1112E-000.1022E-000.0	0.2862E-010.0			0.0	0.4172E-07
53290.3006E-010.2799E-010.0	0.7853E-020.0			0.0	0.0
21490.0	0.0	0.0	0.0	0.0	0.0
25490.0	0.0	0.0	0.0	0.0	0.0
29490.0	0.0	0.0	0.0	0.0	0.0
33490.0	0.0	0.0	0.0	0.0	0.0
37490.0	0.0	0.0	0.0	0.0	0.0
41490.7906E-030.1300E-020.2807E-030.1260E-020.4776E-060.0				0.8656E-03	
45490.0	0.0	0.0	0.0	0.0	0.0
49490.3441E-000.7154E-000.8023E-010.2277E-000.2654E-040.0				0.4839E-01	
53490.1543E-000.1726E-000.0	0.4116E-010.2227E-070.0			0.1076E-03	
21690.0	0.0	0.0	0.0	0.0	0.0
25690.0	0.0	0.0	0.0	0.0	0.0
29690.0	0.0	0.0	0.0	0.0	0.0
33690.0	0.0	0.0	0.0	0.0	0.0
37690.0	0.0	0.0	0.0	0.0	0.0

Table B.2 (Continued)

...,*,...,1,...,*...,2,...,*...,3,...,*...,4,...,*...,5,...,*...,6,...,*...,7,...,*...,8						
41690.3337E-010	0.2812E-000.0	0.7935E-010.0	0.0	0.0	0.1732E-11	
42690.3022E-010	0.6624E-010.9113E-020.2766E-010.7263E-050.0	0.0	0.0	0.0	0.5288E-02	
44690.0	0.0	0.0	0.0	0.0	0.0	
23690.1867E-010	0.6062E-000.7047E-010.2145E-000.2135E-040.0	0.0	0.0	0.0	0.3299E-01	
21890.0	0.0	0.0	0.0	0.0	0.0	
25890.0	0.0	0.0	0.0	0.0	0.0	
29890.0	0.0	0.0	0.0	0.0	0.0	
33890.0	0.0	0.0	0.0	0.0	0.0	
37890.0	0.0	0.0	0.0	0.0	0.0	
41890.3657E-070	0.6361E-070.0	0.1710E-070.0	0.0	0.0	0.0	
45890.1564E-010	0.1322E-010.0	0.3535E-020.4970E-030.0	0.0	0.0	0.8149E-05	
49890.2225E-000	0.5225E-000.6044E-010.1E-2E-000.3345E-040.0	0.0	0.0	0.0	0.2357E-01	
1 53890.0	0.0	0.0	0.0	0.0	0.0	
1 UO2 20.0 FROM GdC-DIFFUSION						
3.03572E-00	1.77912E-02	2.87264E-03	1.39E41E-01	1.77973E-03	2.93008E-0220.	1X 1
2.56434E-00	1.25597E-02	1.03135E-03	1.64705E-01	0.0	4.48821E-0220.	2X 1
2.53076E-00	2.23663E-03	3.04372E-03	2.33350E-01	0.0	3.72615E-0220.	3X 1
2.44467E-00	6.46309E-03	7.65205E-03	3.28371E-01	0.0	3.35621E-0320.	4X 1
2.43000E-00	1.04891E-01	6.53377E-01	5.44701E-01	0.0	2.49047E-0320.	5X 1
2.43000E-00	3.43481E-01	6.21339E-02	5.29572E-01	0.0	2.23527E-0220.	6X 1
2.43000E-00	8.91804E-01	2.0E595E-01	1.10561E-00	0.0	4.83955E-0220.	7X 1
2.43000E-00	1.47642E-00	2.83673E-01	1.72435E-00	0.0	3.29877E-0220.	8X 1
2.43000E-00	3.1288E-00	6.01559E-01	2.79703E-00	0.0	20.	9X 1
1.84724E-01	2.93005E-02	2.71927E-02	2.49365E-02	1.36100E-05	0.0	20.
0.0	0.0	0.0	0.0	0.0	20.	1F 1
0.0	1.65962E-01	4.48821E-02	0.14205E-02	2.57716E-05	0.0	20.
0.0	0.0	0.0	0.0	0.0	20.	2F 1
0.0	0.0	3.03978E-01	0.72813E-02	2.31824E-05	0.0	20.
0.0	0.0	0.0	0.0	0.0	20.	3F 1
0.0	0.0	0.0	4.56827E-01	3.35621E-03	0.01010E-1020.	4F 1
0.0	0.0	0.0	0.0	0.0	20.	4F 2
0.0	0.0	0.0	0.0	7.52952E-01	2.49047E-0320.	5F 1
0.0	0.0	0.0	0.0	0.0	20.	5F 2
0.0	0.0	0.0	0.0	4.71771E-04	4.41688E-0120.	6F 1
2.23587E-02	4.17182E-08	0.0	0.0	0.0	20.	6F 2
0.0	0.0	0.0	0.0	0.0	8.65577E-0420.	7F 1
4.23007E-01	4.83935E-02	1.07611E-04	0.0	0.0	20.	7F 2
0.0	0.0	0.0	0.0	0.0	1.73213E-1220.	8F 1
5.26610E-03	4.38165E-01	3.29877E-02	0.0	0.0	20.	8F 2
0.0	0.0	0.0	0.0	0.0	0.0	20.
8.14893E-06	2.35654E-02	4.60400E-01	0.0	0.0	20.	9F 1
¥JE.MD						20.